

# COMUNE DI MONTORIO AL VOMANO

Provincia di TERAMO



## FUTURA

## LA SCUOLA PER L'ITALIA DI DOMANI



Finanziato  
dall'Unione europea  
NextGenerationEU



Ministero dell'Istruzione  
e del Merito



Italiadomani  
PIANO NAZIONALE  
DI RIPRESA E RESILIENZA



PROVINCIA  
DI TERAMO  
*Regione d'Orto al Monte Corno*

Oggetto

**PNRR M4-C1-I1.1, Decreto Ministeriale n.79 del 30/04/2024 - Nuova costruzione per ampliamento asilo nido comunale di via Palermo**

Data

Agosto 2024

Tavola

C\_03

Committente

Comune di Montorio al Vomano

Scala

-

Oggetto tavola

Relazione geotecnica

Progettista architettonico - D.L. - C.S.P. - C.S.E.

Arch. Guido Iampieri

R.U.P. - Responsabile Unico del Procedimento

Ing. Martina Crocetti

Comune di Montorio al Vomano

Via Poliseo de Angelis, 24, 64046 Montorio Al Vomano TE

Progettista impianti antincendio

Ing. Stefano Roccioletti

Collaboratori:

Progettazione strutturale

Ing. Stefano Moravi

Revisione n. --- del --.---.----

Progettazione impianti elettrici

Per. ind. P. Massimo Pelliccioni

☐ Progetto di fattibilità tec. ed economica

☒ Progetto esecutivo

☐ Perizia di variante

☐ As-built

**IGA**  
| architetto |

Arch. IAMPIERI GUIDO

Via Fonte Noce 36 | 64021  
Giulianova (TE) - Italia  
+39 340 9156816  
studio.iampieri@gmail.com  
P. IVA 01857740672

**EW**

**ENGINEERING  
WORKS**

Studio di ingegneria - Ingenieurbüro

Ing. Stefano Moravi | Ing. Andrea Simoni

Via Max Planck - Str. 15 | 39100 Bolzano  
Bozen (ITA) Tel. +39 0471 052 647  
www.e-w.it | info@e-w.it

**TERMOTECNICO  
STUDIO ING  
ROCCIOLETTI**

Via Ippolito Nievo 20 - Giulianova (TE)  
+39 320.0765972  
stefano.roccioletti@gmail.com  
P. IVA 01885760676

# **Relazione geotecnica**

**Relazione geotecnica sulle indagini, caratterizzazione e modellazione del volume significativo di terreno.**

## Sommario

1 Normativa di riferimento.....	4
2 Descrizione delle opere in sito.....	4
3 Problemi geotecnici e scelte tipologiche.....	10
Tipologia di fondazione .....	10
3.1 Elementi di fondazione.....	11
4 Programma delle indagini e delle prove geotecniche .....	12
4.1 Sondaggi del sito.....	12
5 Caratterizzazione geotecnica dei terreni in sito.....	13
5.1 Terreni.....	13
6 Modellazione del sottosuolo e metodi di analisi e di verifica .....	13
Modello di fondazione .....	13
7 Verifiche delle fondazioni.....	16
7.1 Verifiche piastre C.A. di fondazione .....	16
7.2 Pressioni terreno in SLU .....	19
7.3 Pressioni terreno in SLV/SLVf/SLUEcc.....	24
7.4 Pressioni terreno in SLE/SLD .....	30
7.5 Cedimenti fondazioni superficiali.....	35

# 1 Normativa di riferimento

NORME TECNICHE PER LE COSTRUZIONI NTC 2018  
Norme tecniche per le costruzioni D.M. 17 gennaio 2018.

NORME TECNICHE PER LE COSTRUZIONI NTC 2008  
Norme tecniche per le costruzioni D.M. 14 gennaio 2008.

CONSIGLIO SUPERIORE DEI LAVORI PUBBLICI  
Istruzioni per l'applicazione delle "Norme tecniche per le costruzioni" di cui al D.M. 14 gennaio 2008. Circolare 2 febbraio 2009.

CONSIGLIO SUPERIORE DEI LAVORI PUBBLICI  
Pericolosità sismica e Criteri generali per la classificazione sismica del territorio nazionale. Allegato al voto n. 36 del 27.07.2007

NORMA TECNICA UNI EN 1997-1:2005 (EUROCODICE 7 - PROGETTAZIONE GEOTECNICA)

Progettazione geotecnica - Parte 1: Regole generali.

EUROCODICE 8  
Indicazioni progettuali per la resistenza sismica delle strutture - Parte 5: Fondazioni, strutture di contenimento ed aspetti geotecnici.

D.M. 11/03/1988  
Norme tecniche riguardanti le indagini sui terreni e sulle rocce, la stabilità dei pendii naturali e delle scarpate, i criteri generali e le prescrizioni per la progettazione, l'esecuzione e il collaudo delle opere di sostegno delle terre e delle opere di fondazione (norma possibile se si opera in Zona sismica 4, attuali Classi I e II).

# 2 Descrizione delle opere in sito

Descrizione delle opere in sito: contiene la descrizione delle opere esistenti in sito e da edificare, la tipologia strutturale presente, la tipologia di intervento previsto, la localizzazione geografica e la pericolosità sismica di base.

La **struttura in oggetto** è stata analizzata secondo la norma D.M. 17-01-18 (N.T.C.), considerandola come tipo di costruzione 2 - Costruzioni con livelli di prestazioni ordinari. In particolare si è prevista, in accordo con il committente, una vita nominale dell'opera di Vn=50 anni per una classe d'uso III, e quindi una vita di riferimento di 75 anni (NTC18 e NTC08 §2.4.3).  
L'opera è edificata in località Teramo, Montorio Al Vomano; Latitudine ED50 42,5841° (42° 35' 3"); Longitudine ED50 13,6392° (13° 38' 21"); Altitudine s.l.m. 256,32 m. (coordinate esatte: 42,5841 13,6392).

## PERICOLOSITA' SISMICA DI BASE

La pericolosità sismica di base del sito di costruzione è definita in termini di accelerazione orizzontale massima attesa al suolo in condizioni ideali su sito di riferimento rigido e superficie topografica orizzontale. Le azioni di progetto si ricavano, ai sensi delle NTC, dalle accelerazioni ag e dalle relative forme spettrali. I tre parametri fondamentali (accelerazione ag, fattore di amplificazione Fo e periodo T\*C) si ricavano per ciascun nodo del del reticolo di riferimento in funzione del periodo di ritorno dell'azione sismica TR previsto, espresso in anni; quest'ultimo è noto una volta fissate la vita di riferimento Vr della costruzione e la probabilità di superamento attesa nell'arco della vita di riferimento. Le probabilità di superamento nel periodo di riferimento PVr cui riferirsi per individuare l'azione sismica agente in ciascuno degli stati limite considerati sono riportate nella tabella 3.2.I del §3.2.1 della norma; i valori di PVr forniti in tabella possono essere ridotti in funzione del grado di protezione che si vuole raggiungere.  
Nella presente progettazione si sono considerati i seguenti parametri sismici:

PVr SLD (%)	63	
Tr SLD	50	
Ag/g SLD	0.0834	
Fo SLD	2.412	
Tc* SLD	0.29	[s]
PVr SLV (%)	10	
Tr SLV	475	
Ag/g SLV	0.2041	
Fo SLV	2.505	
Tc* SLV	0.348	[s]

## Risposta sismica locale

Le condizioni stratigrafiche del volume di terreno interessato dall'opera e le condizioni topografiche concorrono a modificare l'azione sismica in superficie rispetto a quella attesa su un sito rigido con superficie orizzontale. Tali modifiche, in ampiezza, durata e contenuto in frequenza, sono il risultato della risposta sismica locale.

Gli effetti stratigrafici sono legati alla successione stratigrafica, alle proprietà meccaniche dei terreni, alla geometria del contatto tra il substrato rigido e i terreni sovrastanti ed alla geometria dei contatti tra gli strati di terreno. Gli effetti topografici sono invece legati alla configurazione topografica del piano campagna ed alla possibile focalizzazione delle onde sismiche in punti particolari (pendii, creste).

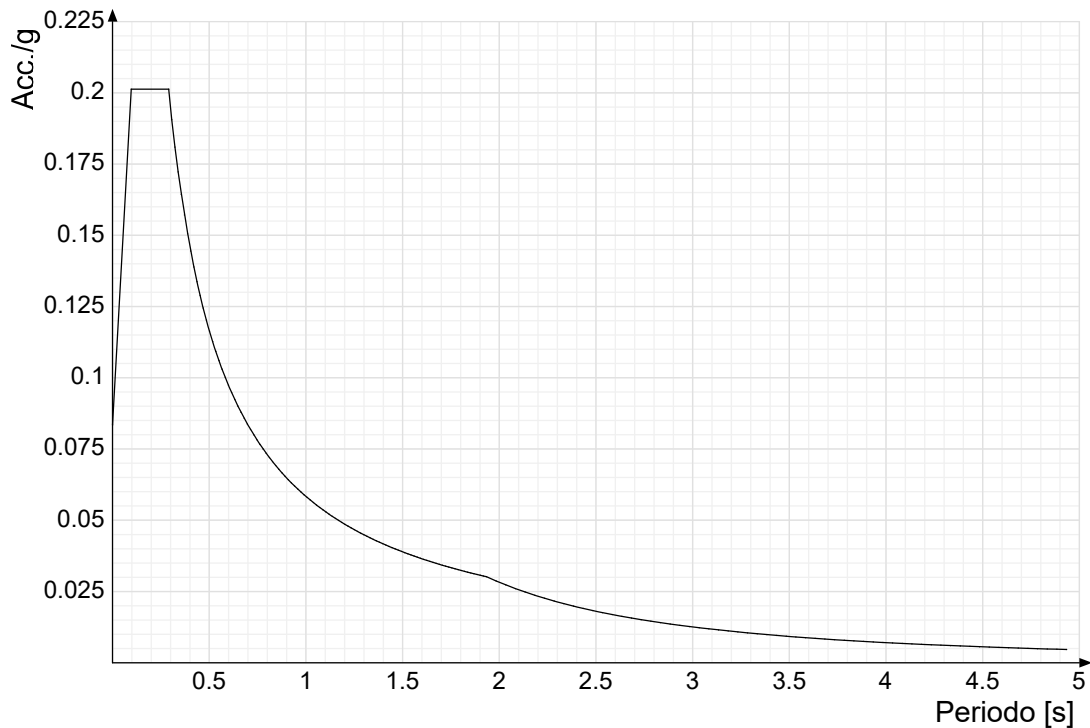
Nella presente progettazione l'effetto della risposta sismica locale è stato valutato individuando la categoria di sottosuolo di riferimento corrispondente alla situazione in sito e considerando le condizioni topografiche locali (NTC18 e NTC08 §3.2.2). Per la valutazione del coefficiente di amplificazione stratigrafica  $S_S$  la caratterizzazione geotecnica condotta nel volume significativo consente di identificare il sottosuolo prevalente nella categoria A - Ammassi rocciosi affioranti o terreni molto rigidi. Si riporta per completezza la corrispondente descrizione indicata nella norma (NTC18 e NTC08 Tab. 3.2.II).

**Categoria suolo A:** Ammassi rocciosi affioranti o terreni molto rigidi caratterizzati da valori di  $V_{s,30}$  superiori a 800 m/s, eventualmente comprendenti in superficie terreni di caratteristiche meccaniche più scadenti con spessore massimo pari a 3 m.

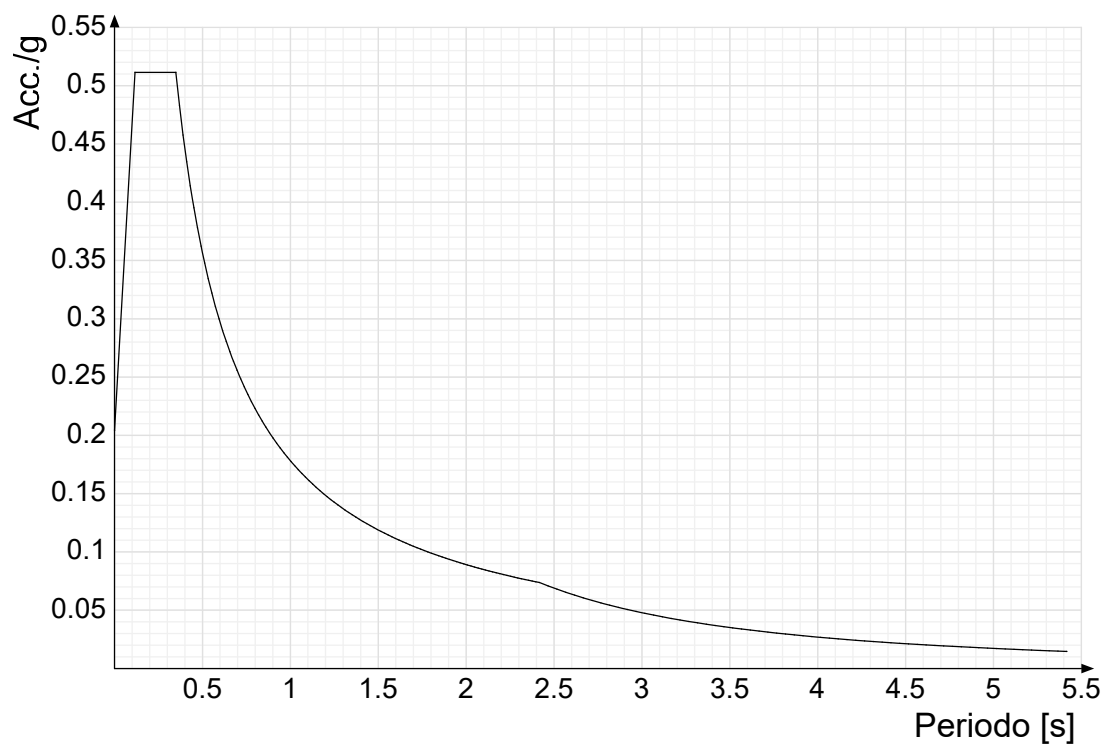
In base alle categorie scelte si sono infine adottati i seguenti coefficienti di amplificazione e spettrali:

Si riportano infine gli spettri di risposta elastici delle componenti orizzontali per gli stati limite considerati.

Viene mostrato lo spettro "Spettro di risposta elastico in accelerazione delle componenti orizzontali SLD § 3.2.3.2.1 [3.2.2]".



Viene mostrato lo spettro "Spettro di risposta elastico in accelerazione delle componenti orizzontali SLV § 3.2.3.2.1 [3.2.2]".



Parametri di analisi

Si è condotta una analisi di tipo Lineare dinamica su una costruzione di calcestruzzo/legno.

Le parti strutturali in c.a. sono inquadrabili nella tipologia Strutture a telaio  $q_0=3.0 \cdot \alpha_u/\alpha_1$ , con rapporto  $\alpha_u/\alpha_1$  corrispondente a Strutture a telaio di un piano  $\alpha_u/\alpha_1=(1.0+1.1)/2$ .

Si è considerata una classe di duttilità Non dissipativa, a cui corrispondono per la struttura in esame i seguenti fattori di struttura:

Fattore di comportamento per sisma SLD X	1
Fattore di comportamento per sisma SLD Y	1
Fattore di comportamento per sisma SLV X	1
Fattore di comportamento per sisma SLV Y	1

Altri parametri che influenzano l'azione sismica di progetto sono riassunti in questo prospetto:

Smorzamento viscoso (%)	5	
Rotazione del sisma	0	[deg]
Quota dello '0' sismico	0	[m]

Nell'analisi dinamica modale si sono analizzati 40 modi di vibrare.

Per tenere conto della variabilità spaziale del moto sismico, nonché di eventuali incertezze nella localizzazione delle masse, la normativa richiede di attribuire al centro di massa una eccentricità accidentale, in aggiunta alla eccentricità naturale della costruzione, mediante l'applicazione di carichi statici costituiti da momenti torcenti di valore pari alla risultante orizzontale della forza agente al piano, moltiplicata per l'eccentricità accidentale del baricentro delle masse rispetto alla sua posizione di calcolo.

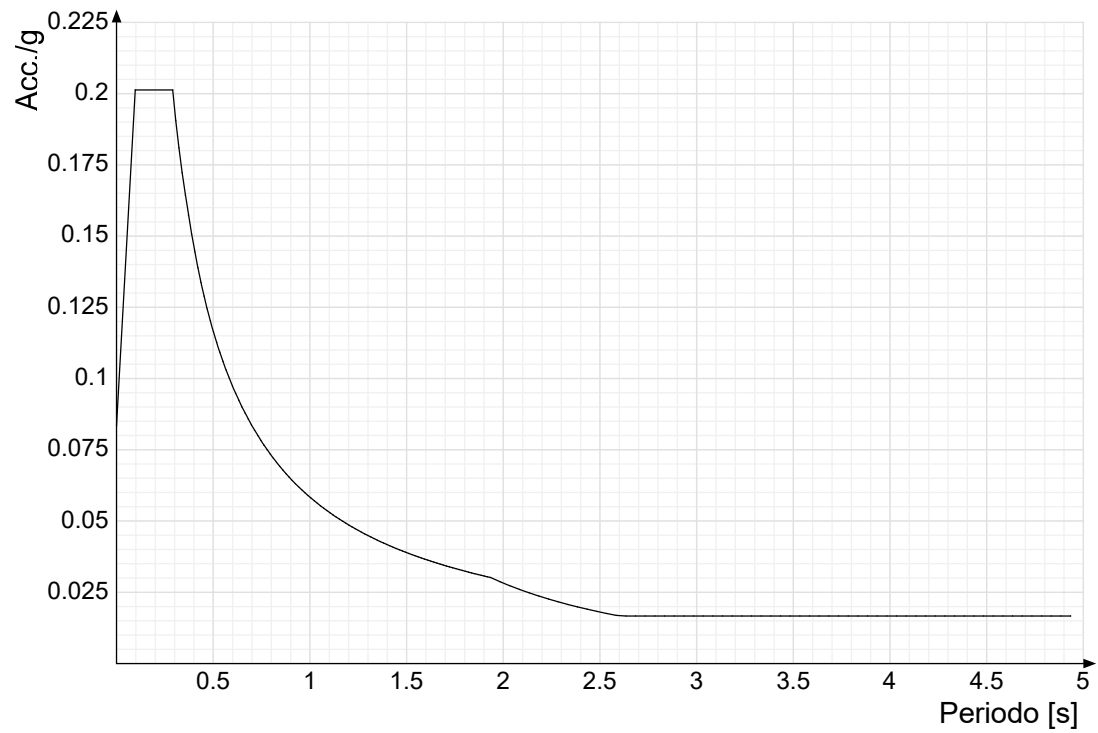
Nella struttura in oggetto si è applicata una eccentricità accidentale secondo il seguente prospetto:

Eccentricità X (per sisma Y) livello "Fondazione"	1.004	[m]
Eccentricità Y (per sisma X) livello "Fondazione"	0.615	[m]
Eccentricità X (per sisma Y) livello "Piano 1"	0	[m]
Eccentricità Y (per sisma X) livello "Piano 1"	0	[m]

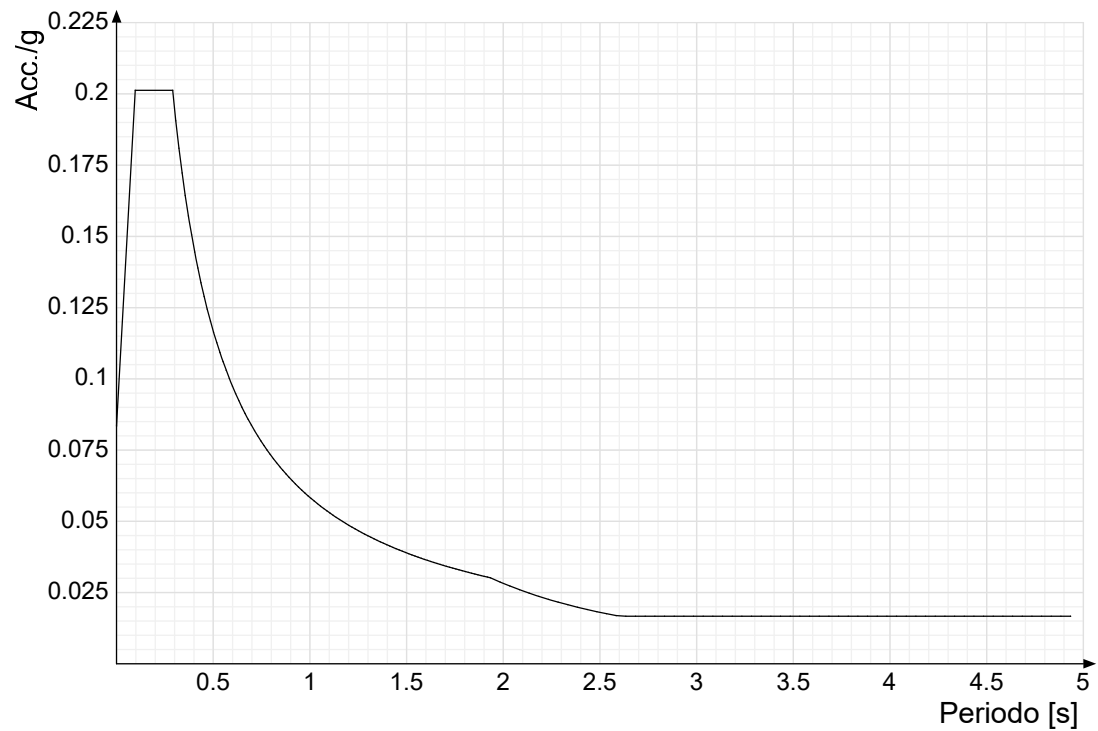
La torsione accidentale è stata applicata anche ai nodi della struttura appartenenti a piani flessibili, in aggiunta a quella sui piani dichiarati come infinitamente rigidi.

Si riportano infine gli spettri di risposta di progetto delle componenti orizzontali per gli stati limite considerati.

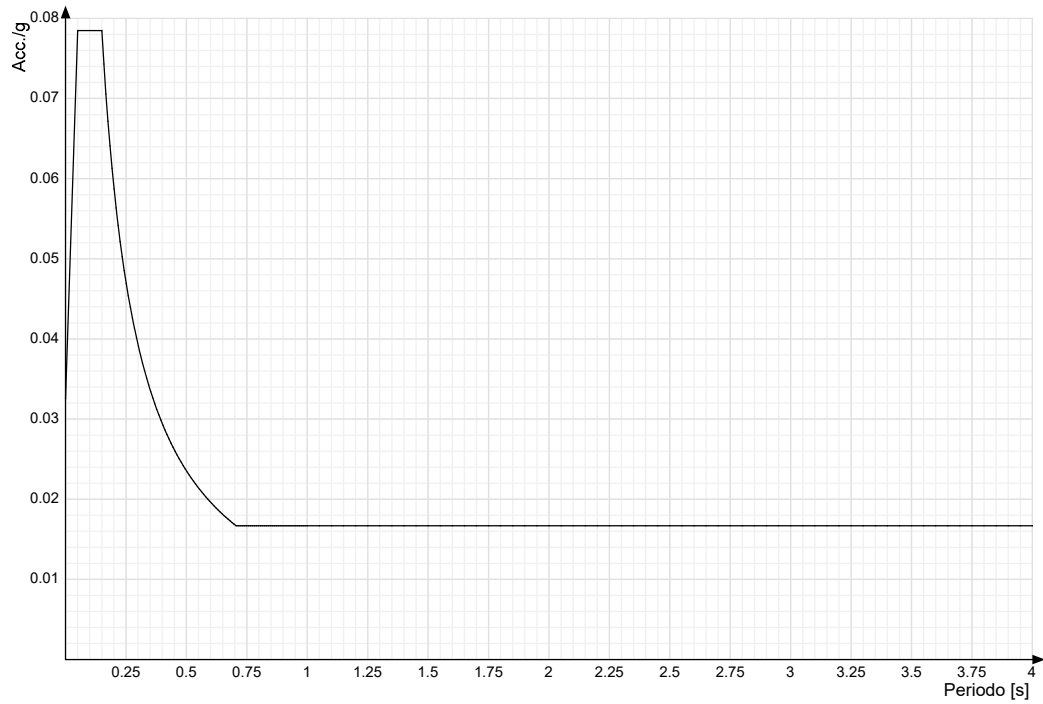
Viene mostrato lo spettro "Spettro di risposta di progetto in accelerazione della componente X SLD § 3.2.3.5".



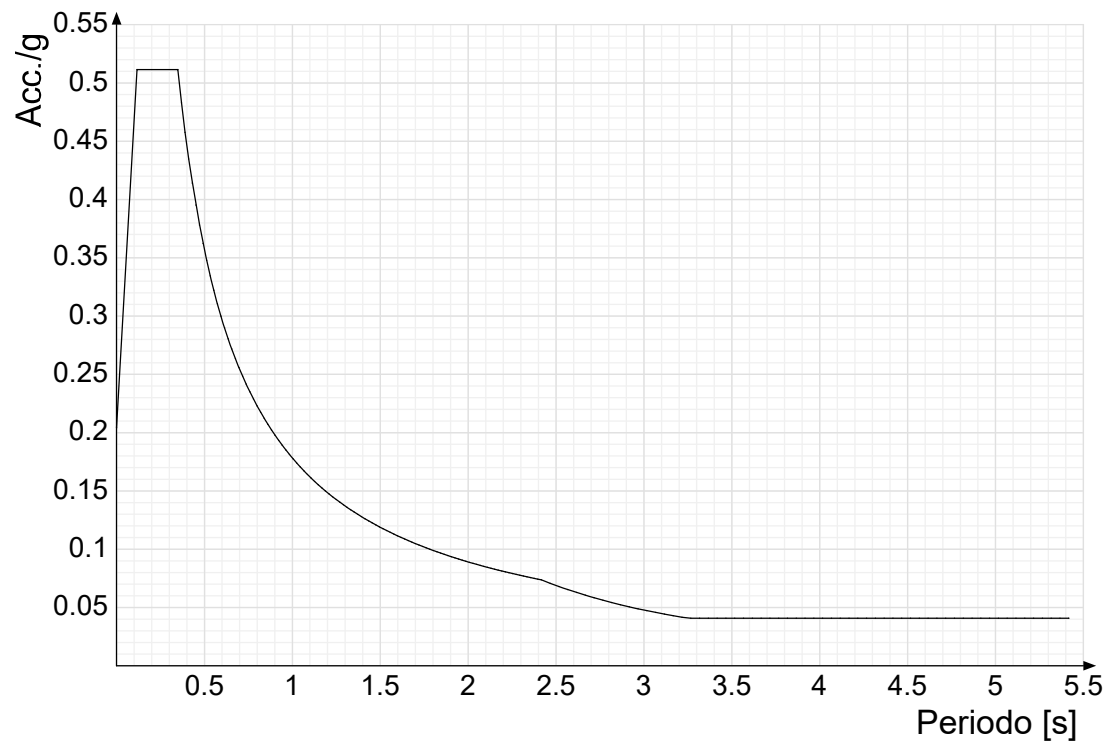
Viene mostrato lo spettro "Spettro di risposta di progetto in accelerazione della componente Y SLD § 3.2.3.5".



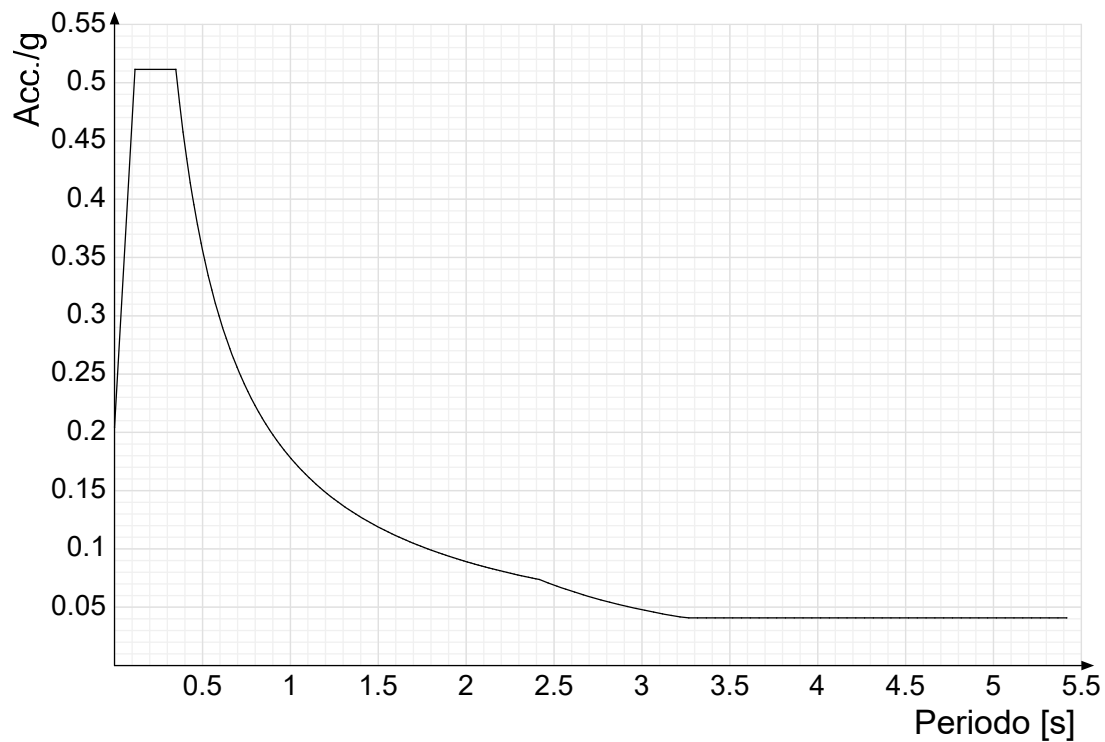
Viene mostrato lo spettro "Spettro di risposta di progetto in accelerazione della componente verticale SLD § 3.2.3.5".



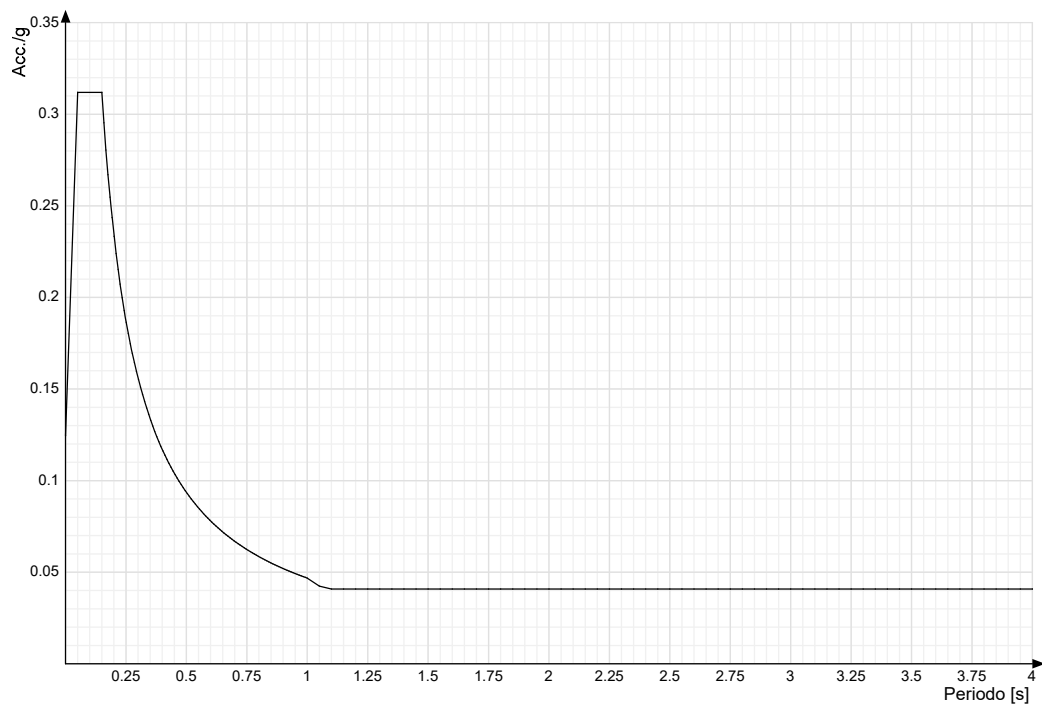
Viene mostrato lo spettro "Spettro di risposta di progetto in accelerazione della componente X SLV § 3.2.3.5".



Viene mostrato lo spettro "Spettro di risposta di progetto in accelerazione della componente Y SLV § 3.2.3.5".



Viene mostrato lo spettro "Spettro di risposta di progetto in accelerazione della componente verticale SLV § 3.2.3.5".



Nella presente progettazione si sono considerati i seguenti parametri geotecnici di verifica:

Coefficiente di sicurezza per carico limite (fondazioni superficiali)	2.3
Coefficiente di sicurezza per scorrimento (fondazioni superficiali)	1.1
Coefficiente di sicurezza portanza verticale pali infissi, punta	1.15
Coefficiente di sicurezza portanza verticale pali infissi, laterale compressione	1.15
Coefficiente di sicurezza portanza verticale pali infissi, laterale trazione	1.25
Coefficiente di sicurezza portanza verticale pali trivellati, punta	1.35
Coefficiente di sicurezza portanza verticale pali trivellati, laterale compressione	1.15
Coefficiente di sicurezza portanza verticale pali trivellati, laterale trazione	1.25
Coefficiente di sicurezza portanza verticale micropali, punta	1.35
Coefficiente di sicurezza portanza verticale micropali, laterale compressione	1.15
Coefficiente di sicurezza portanza verticale micropali, laterale trazione	1.25
Coefficiente di sicurezza portanza trasversale pali	1.3
Fattore di correlazione resistenza caratteristica dei pali in base alle verticali indagate	1.7
Coefficiente di sicurezza per ribaltamento (plinti superficiali)	1.15

# 3 Problemi geotecnici e scelte tipologiche

## Tipologia di fondazione

Nella modellazione si è considerata la presenza di fondazioni superficiali, schematizzando il suolo con un letto di molle elastiche di assegnata rigidezza. In direzione orizzontale si è considerata la struttura bloccata.

I valori di default dei parametri di modellazione del suolo, cioè quelli adottati dove non diversamente specificato, sono i seguenti:

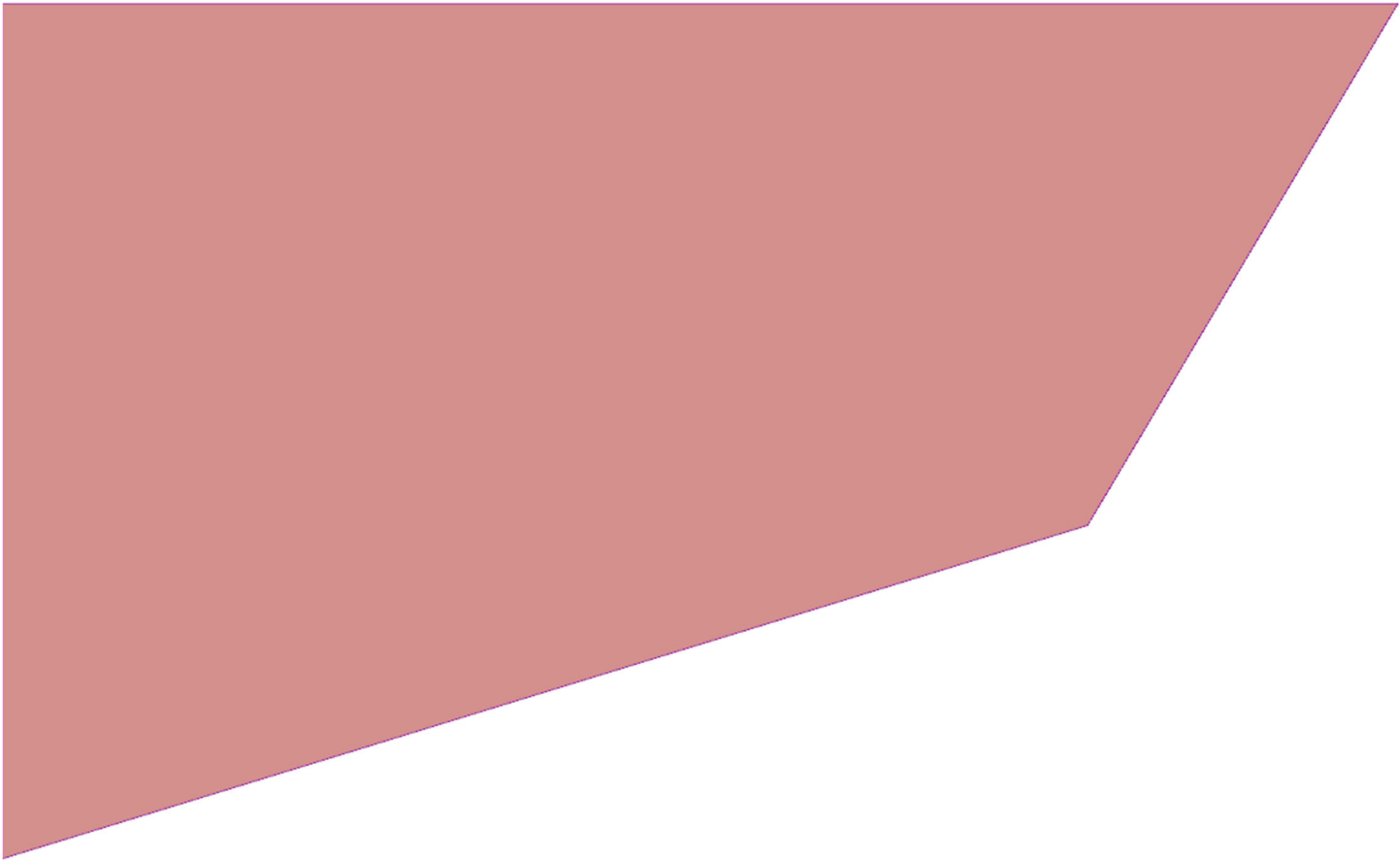
Coefficiente di sottofondo verticale per fondazioni superficiali (default)	30000	[ kN/m³ ]
K punta palo (default)	40000	[ kN/m³ ]
Pressione limite punta palo (default)	1000	[ kN/m² ]

Per elementi nei quali si sono valutati i parametri geotecnici in funzione della stratigrafia sottostante si sono adottate le seguenti formulazioni di letteratura:

Metodo di calcolo della K verticale	Vesic
Metodo di calcolo della capacità portante	Vesic
Metodo di calcolo della pressione limite punta palo	Vesic

La resistenza limite offerta dai pali in direzione orizzontale e verticale è funzione dell'attrito e della coesione che si può sviluppare all'interfaccia con il terreno. Oltre ai dati del suolo, descritti nelle seguenti stratigrafie, hanno influenza anche i seguenti parametri:

Coefficiente di sicurezza per carico limite (fondazioni superficiali)	2.3
Coefficiente di sicurezza per scorrimento (fondazioni superficiali)	1.1
Coefficiente di sicurezza portanza verticale pali infissi, punta	1.15
Coefficiente di sicurezza portanza verticale pali infissi, laterale compressione	1.15
Coefficiente di sicurezza portanza verticale pali infissi, laterale trazione	1.25
Coefficiente di sicurezza portanza verticale pali trivellati, punta	1.35
Coefficiente di sicurezza portanza verticale pali trivellati, laterale compressione	1.15
Coefficiente di sicurezza portanza verticale pali trivellati, laterale trazione	1.25
Coefficiente di sicurezza portanza verticale micropali, punta	1.35
Coefficiente di sicurezza portanza verticale micropali, laterale compressione	1.15
Coefficiente di sicurezza portanza verticale micropali, laterale trazione	1.25
Fattore di correlazione resistenza caratteristica dei pali in base alle verticali indagate	1.7



Rappresentazione in pianta di tutti gli elementi strutturali di fondazione.

### 3.1 Elementi di fondazione

#### 3.1.1 Fondazioni di piastre

**Descrizione breve:** descrizione breve usata nelle tabelle dei capitoli delle piastre di fondazione.

**Stratigrafia:** stratigrafia del terreno nel punto medio in pianta dell'elemento.

**Sondaggio:** è possibile indicare esplicitamente un sondaggio definito nelle preferenze oppure richiedere di estrapolare il sondaggio dalla definizione del sito espressa nelle preferenze.

**Estradosso:** distanza dalla quota superiore del sondaggio misurata in verticale con verso positivo verso l'alto. [m]

**Deformazione volumetrica:** valore della deformazione volumetrica impiegato nel calcolo della pressione limite a rottura con la formula di Vesic. Il valore è adimensionale. Accetta anche il valore di default espresso nelle preferenze.

**Angolo pendio:** angolo del pendio rispetto l'orizzontale; il valore deve essere positivo per opere in sommità di un pendio mentre deve essere negativo per opere al piede di un pendio. [deg]

**K verticale:** coefficiente di sottofondo verticale del letto di molle. [kN/m³]

**Limite compressione:** pressione limite di plasticizzazione a compressione del letto di molle. [kN/m²]

**Limite trazione:** pressione limite di plasticizzazione a trazione del letto di molle. [kN/m²]

Descrizione breve	Stratigrafia			Angolo pendio	K verticale	Limite compressione	Limite trazione
	Sondaggio	Estradosso	Deformazione volumetrica				
FS1	Sondaggio Montorio al Vomanoine	0		0	3	10	0,001

# 4 Programma delle indagini e delle prove geotecniche

## 4.1 Sondaggi del sito

Vengono elencati in modo sintetico tutti i sondaggi risultanti dalle verticali di indagine condotte in sito, con l'indicazione dei terreni incontrati, degli spessori e dell'eventuale falda acquifera.

Nome attribuito al sondaggio: Sondaggio Montorio al Vomanoine  
Coordinate planimetriche del sondaggio nel sistema globale scelto: 500, -100  
Quota della sommità del sondaggio (P.C.) nel sistema globale scelto: 0  
I valori sono espressi in m

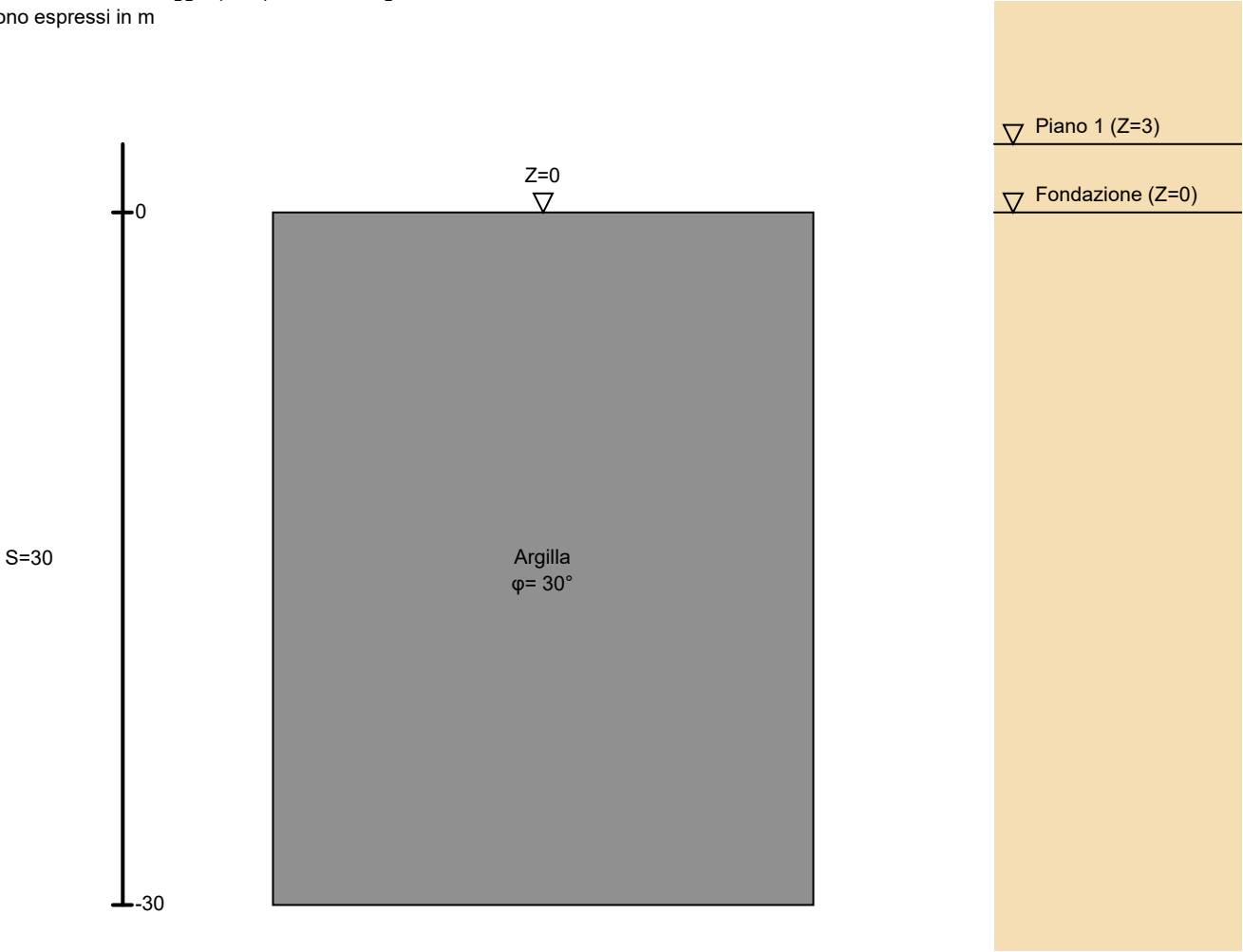


Immagine: Sondaggio Montorio al Vomanoine

### Stratigrafie

- Terreno:** terreno mediamente uniforme presente nello strato.
- Sp.:** spessore dello strato. [m]
- Liqf:** indica se considerare lo strato come liquefacibile nelle combinazioni sismiche. Con 'Da verifica' viene considerato quanto risulta dalla verifica condotta a fine calcolo solutore.
- Kor,i:** coefficiente K orizzontale al livello inferiore dello strato per modellazione palo. [kN/m<sup>3</sup>]
- Kor,s:** coefficiente K orizzontale al livello superiore dello strato per modellazione palo. [kN/m<sup>3</sup>]
- Kve,i:** coefficiente K verticale al livello inferiore dello strato per modellazione palo. [kN/m<sup>3</sup>]
- Kve,s:** coefficiente K verticale al livello superiore dello strato per modellazione palo. [kN/m<sup>3</sup>]
- Eel,s:** modulo elastico al livello superiore dello strato per calcolo cedimenti istantanei; 0 per non calcolarli. [kN/m<sup>2</sup>]
- Eel,i:** modulo elastico al livello inferiore dello strato per calcolo cedimenti istantanei; 0 per non calcolarli. [kN/m<sup>2</sup>]
- Eed,s:** modulo edometrico al livello superiore per calcolo cedimenti complessivi; 0 per non calcolarli. [kN/m<sup>2</sup>]
- Eed,i:** modulo edometrico al livello inferiore per calcolo cedimenti complessivi; 0 per non calcolarli. [kN/m<sup>2</sup>]
- CC,s:** coefficiente di compressione vergine CC al livello superiore per calcolo cedimenti di consolidazione; 0 per non calcolarli. Il valore è adimensionale.
- CC,i:** coefficiente di compressione vergine CC al livello inferiore per calcolo cedimenti di consolidazione; 0 per non calcolarli. Il valore è adimensionale.
- CR,s:** coefficiente di ricomprensione CR al livello superiore per calcolo cedimenti di consolidazione; 0 per non calcolarli. Il valore è adimensionale.
- CR,i:** coefficiente di ricomprensione CR al livello inferiore per calcolo cedimenti di consolidazione; 0 per non calcolarli. Il valore è adimensionale.
- E0,s:** indice dei vuoti E0 al livello superiore per calcolo cedimenti di consolidazione. Il valore è adimensionale.
- E0,i:** indice dei vuoti E0 al livello inferiore per calcolo cedimenti di consolidazione. Il valore è adimensionale.
- OCR,s:** indice di sovraconsolidazione OCR al livello superiore per calcolo cedimenti di consolidazione; 1 per terreno NC. Il valore è adimensionale.
- OCR,i:** indice di sovraconsolidazione OCR al livello inferiore per calcolo cedimenti di consolidazione; 1 per terreno NC. Il valore è adimensionale.

Terreno	Sp.	Liqf	Kor,i	Kor,s	Kve,i	Kve,s	Eel,s	Eel,i	Eed,s	Eed,i	CC,s	CC,i	CR,s	CR,i	E0,s	E0,i	OCR,s	OCR,i
Argilla	30	No	10000	10000	10000	10000	90000	90000	0	0	0	0	0	0	0	0	1	1

## 5 Caratterizzazione geotecnica dei terreni in sito

### 5.1 Terreni

**Descrizione:** descrizione o nome assegnato all'elemento.  
**Coesione:** coesione efficace del terreno. [kN/m²]  
**Coesione non drenata:** coesione non drenata (Cu) del terreno, per terreni eminentemente coesivi. [kN/m²]  
**Attrito interno:** angolo di attrito interno del terreno. [deg]  
**δ:** angolo di attrito all'interfaccia terreno-cls. [deg]  
**Coeff. α di adesione:** coeff. di adesione della coesione all'interfaccia terreno-cls, compreso tra 0 ed 1. Il valore è adimensionale.  
**Coeff. di spinta K0:** coefficiente di spinta a riposo del terreno. Il valore è adimensionale.  
**γ naturale:** peso specifico naturale del terreno in sito, assegnato alle zone non immerse. [kN/m³]  
**γ saturo:** peso specifico saturo del terreno in sito, assegnato alle zone immerse. [kN/m³]  
**E:** modulo elastico longitudinale del terreno. [kN/m²]  
**v:** coefficiente di Poisson del terreno. Il valore è adimensionale.  
**Rqd:** rock quality degree. Per roccia assume valori nell'intervallo (0;1]. Il valore convenzionale 0 indica che si tratta di un terreno sciolto. Il valore è adimensionale.  
**Permeabilità Kh:** permeabilità orizzontale. Permeabilità orizzontale del terreno. [m/s]  
**Permeabilità Kv:** permeabilità verticale. Permeabilità verticale del terreno. [m/s]

Descrizione	Coesione	Coesione non drenata	Attrito interno	δ	Coeff. α di adesione	Coeff. di spinta K0	γ naturale	γ saturo	E	v	Rqd	Permeabilità Kh	Permeabilità Kv
Argilla	0	0	30	25	1	0.5	18.1	19	90000	0.3	0	0.001	0.0001

## 6 Modellazione del sottosuolo e metodi di analisi e di verifica

### Modello di fondazione

Le travi di fondazione sono modellate tramite uno specifico elemento finito che gestisce il suolo elastico alla Winkler. Le fondazioni a plinto superficiale sono modellate con un numero elevato di molle verticali elastiche agenti su nodi collegati rigidamente al nodo centrale. Le fondazioni a platea sono modellate con l'inserimento di molle verticali elastiche agenti nei nodi delle mesh.

#### Verifica di scorrimento

La verifica di scorrimento della fondazione superficiale viene eseguita considerando le caratteristiche del terreno immediatamente sottostante al piano di posa della fondazione, ricavato in base alla stratigrafia associata all'elemento, e trascurando, a favore di sicurezza, l'eventuale spinta passiva laterale. Qualora l'elemento in verifica sia formato da parti non omogenee tra loro, ad esempio una travata in cui le singole travi di fondazione siano associate ad un differente sondaggio, verranno condotte verifiche geotecniche distinte sui singoli tratti.  
Lo scorrimento di una fondazione avviene nel momento in cui le componenti delle forze parallele al piano di contatto tra fondazione e terreno vincono l'attrito e la coesione terreno-fondazione e, qualora fosse presente, la spinta passiva laterale.  
Il coefficiente di sicurezza a scorrimento si ottiene dal rapporto tra le forze stabilizzanti di progetto (Rd) e quelle instabilizzanti (Ed):

$$Rd = (N \cdot Tan(\varphi) + c_a \cdot B \cdot L + \alpha \cdot S_p) / \gamma_{Rs}$$
$$|Ed = \sqrt{T_x^2 + T_y^2}$$

dove:  
N = risultante delle forze normali al piano di scorrimento;  
Tx, Ty = componenti delle forze tangenziali al piano di scorrimento;  
tan(phi) = coefficiente di attrito terreno-fondazione;  
ca = aderenza alla base, pari alla coesione del terreno di fondazione o ad una sua frazione;  
B, L = dimensioni della fondazione;  
alpha = fattore di riduzione della spinta passiva;  
Sp = spinta passiva dell'eventuale terreno laterale;  
gamma rs= fattore di sicurezza parziale per lo scorrimento;

Le normative prevedono che il fattore di sicurezza a scorrimento  $FS = R_d / E_d$  sia non minore di un prefissato limite.

### Verifica di capacità portante

La verifica di capacità portante della fondazione superficiale viene eseguita mediante formulazioni di letteratura geotecnica considerando le caratteristiche dei terreni sottostanti al piano di posa della fondazione, ricavati in base alla stratigrafia associata all'elemento.

Qualora l'elemento in verifica sia formato da parti non omogenee tra loro, ad esempio una travata in cui le singole travi di fondazione siano associate ad un differente sondaggio, verranno condotte verifiche geotecniche distinte sui singoli tratti.

La verifica viene fatta raffrontando la portanza di progetto ( $R_d$ ) con la sollecitazione di progetto ( $E_d$ ); la prima deriva dalla portanza calcolata con metodi della letteratura geotecnica, ridotta da opportuni fattori di sicurezza parziali; la seconda viene valutata ricavando la risultante della sollecitazione scaricata al suolo con una integrazione delle pressioni nel tratto di calcolo. Le normative prevedono che il fattore di sicurezza alla capacità portante, espresso come rapporto tra il carico ultimo di progetto della fondazione ( $R_d$ ) ed il carico agente ( $E_d$ ), sia non minore di un prefissato limite.

La portanza di una fondazione rappresenta il carico ultimo trasmissibile al suolo prima di arrivare alla rottura del terreno. Le formule di calcolo presenti in letteratura sono nate per la fondazione nastriforme indefinita ma aggiungono una serie di termini correttivi per considerare le effettive condizioni al contorno della fondazione, esprimendo la capacità portante ultima in termini di pressione limite agente su di una fondazione equivalente soggetta a carico centrato.

La determinazione della capacità portante ai fini della verifica è stata condotta secondo il metodo di Vesic, che viene descritto nei paragrafi successivi.

### Metodo di Vesic

La capacità portante valutata attraverso la formula di Vesic risulta, nel caso generale:

$$Q_{lim} = c \cdot N_c \cdot s_c \cdot d_c \cdot i_c \cdot b_c \cdot g_c + q \cdot N_q \cdot s_q \cdot d_q \cdot i_q \cdot b_q \cdot g_q + \frac{1}{2} \gamma' \cdot B \cdot N_\gamma \cdot s_\gamma \cdot d_\gamma \cdot i_\gamma \cdot b_\gamma \cdot g_\gamma$$

Nel caso di terreno eminentemente coesivo ( $\phi = 0$ ) tale relazione diventa:

$$Q_{lim} = (2 + \pi) \cdot c_u \cdot (1 + s'_c + d'_c - i'_c - b'_c - g'_c) + q$$

dove:

$\gamma$	= peso di volume efficace dello strato di fondazione;
B	= larghezza efficace della fondazione ( $B = B_f - 2e$ );
L	= lunghezza efficace della fondazione ( $L = L_f - 2e$ );
c	= coesione dello strato di fondazione;
$c_u$	= coesione non drenata dello strato di fondazione;
q	= sovraccarico del terreno sovrastante il piano di fondazione;
$N_c, N_q, N_\gamma$	= fattori di capacità portante;
$s_c, s_q, s_\gamma$	= fattori di forma della fondazione;
$d_c, d_q, d_\gamma$	= fattori di profondità del piano di posa della fondazione;
$i_c, i_q, i_\gamma$	= fattori di inclinazione del carico;
$b_c, b_q, b_\gamma$	= fattori di inclinazione della base della fondazione;
$g_c, g_q, g_\gamma$	= fattori di inclinazione del piano campagna;

Nel caso di piano di campagna inclinato ( $\beta > 0$ ) e  $\phi = 0$ , Vesic propone l'aggiunta, nella formula sopra definita, del termine  $0.5 \cdot \gamma \cdot B \cdot N_\gamma$  con  $N_\gamma = -2 \cdot \tan \beta$

Per la teoria di Vesic i coefficienti sopra definiti assumono le espressioni che seguono:

$$N_c = (N_q - 1) \cdot \operatorname{ctg} \phi; \quad N_q = \operatorname{tg}^2 \left( 45^\circ + \frac{\phi}{2} \right) \cdot e^{(\pi \cdot \operatorname{tg} \phi)}; \quad N_\gamma = 2 \cdot (N_q + 1) \cdot \operatorname{tg} \phi$$

$$s_c = 1 + \frac{B}{L} \cdot \frac{N_q}{N_c}; \quad s'_c = 0.2 \cdot \frac{B}{L}; \quad s_q = 1 + \frac{B}{L} \cdot \operatorname{tg} \phi; \quad s_\gamma = 1 - 0.4 \cdot \frac{B}{L}$$

$$d_c = 1 + 0.4 \cdot k; \quad d'_c = 0.4 \cdot k; \quad d_q = 1 + 2 \cdot k \cdot \operatorname{tg} \phi \cdot (1 - \sin \phi)^2; \quad d_\gamma = 1$$

$$i_c = i_q - \frac{1 - i_q}{N_q - 1}; \quad i'_c = \frac{m \cdot H}{B \cdot L \cdot c_a \cdot N_c}; \quad i_q = \left( 1 - \frac{H}{V + B \cdot L \cdot c_a \cdot \operatorname{ctg} \phi} \right)^m;$$

$$i_\gamma = \left( 1 - \frac{H}{V + B \cdot L \cdot c_a \cdot \operatorname{ctg} \phi} \right)^{m+1}$$

$$g_c = 1 - \frac{\beta^\circ}{147^\circ}; \quad g'_c = \frac{\beta^\circ}{147^\circ}; \quad g_q = (1 - \operatorname{tg} \beta)^2; \quad g_\gamma = g_q$$

$$b_c = 1 - \frac{\eta^\circ}{147^\circ}; \quad b'_c = \frac{\eta^\circ}{147^\circ}; \quad b_q = (1 - \eta \cdot \operatorname{tg} \phi)^2; \quad b_\gamma = b_q$$

$$k = \frac{D}{B_f} \quad \left( \text{se } \frac{D}{B_f} \leq 1 \right); \quad k = \operatorname{arctg} \left( \frac{D}{B_f} \right) \quad \left( \text{se } \frac{D}{B_f} > 1 \right); \quad m = \frac{2 + \frac{B}{L}}{1 + \frac{B}{L}}$$

nelle quali si sono considerati i seguenti dati:

phi = angolo di attrito dello strato di fondazione;

ca = aderenza alla base della fondazione;

nu = inclinazione del piano di posa della fondazione sull'orizzontale (nu = 0 se orizzontale);

beta = inclinazione del pendio;

H = componente orizzontale del carico trasmesso sul piano di posa della fondazione;

V = componente verticale del carico trasmesso sul piano di posa della fondazione;

D = profondità del piano di posa della fondazione dal piano campagna;

### Influenza degli strati sulla capacità portante

Le formulazioni utilizzate per la portanza prevedono la presenza di uno stesso terreno nella zona interessata dalla potenziale rottura. In prima approssimazione lo spessore di tale zona è pari a:

$$H = \frac{1}{2} \cdot B \cdot \operatorname{Tan}(45^\circ + \phi / 2)$$

In presenza di stratificazioni di terreni diversi all'interno di tale zona, il calcolo diventa più complesso; non esiste una metodologia univoca per questi casi, differenti autori hanno proposto soluzioni diverse a seconda dei casi che si possono presentare. In prima approssimazione, nel caso di stratificazioni, viene trovata una media delle caratteristiche dei terreni, pesata sullo spessore degli strati interessati. Nel caso in cui il primo strato incontrato sia coesivo viene anche verificato che la compressione media agente sulla fondazione non superi la tensione limite di espulsione, circostanza che provocherebbe il rifluimento del terreno da sotto la fondazione, rendendo impossibile la portanza.

La tensione limite di espulsione q<sub>ult</sub> per terreno coesivo viene calcolata come:

$$q_{ult} = 4c + q$$

dove c è la coesione e q è il sovraccarico agente sul piano di posa.

### Influenza del sisma sulla capacità portante

La capacità portante nelle combinazioni sismiche viene valutata mediante l'estensione di procedure classiche al caso di azione sismica.

L'**effetto inerziale** prodotto dalla struttura in elevazione sulla fondazione può essere considerato tenendo conto dell'effetto dell'inclinazione (rapporto tra forze T parallele al piano di posa e carico normale N) e dell'eccentricità (rapporto tra momento M e carico normale N) delle azioni in fondazione, e produce variazioni di tutti i coefficienti di capacità portante del carico limite, oltre alla riduzione dell'area efficace.

L'**effetto cinematico** si manifesta per effetto dell'inerzia delle masse del suolo sotto la fondazione come una riduzione della resistenza teorica calcolata in condizioni statiche; tale riduzione è in funzione del coefficiente sismico orizzontale kh, cioè dell'accelerazione normalizzata massima attesa al suolo, e delle caratteristiche del suolo. L'effetto è più marcato su terreni granulari, mentre nei suoli coesivi è poco rilevante.

Per tener conto nella determinazione del carico limite di tali effetti inerziali vengono introdotti nelle combinazioni sismiche anche i fattori correttivi e (earthquake), valutati secondo **Paolucci e Pecker**:

$$e_q = \left(1 - \frac{k_h}{tg\phi}\right)^{0.35}; \quad e_c = 1 - 0.32 \cdot k_h; \quad e_\gamma = e_q$$

## 7 Verifiche delle fondazioni

### 7.1 Verifiche piastre C.A. di fondazione

Le unità di misura elencate nel capitolo sono in [m, kN, deg] ove non espressamente specificato.

**Nodo:** indice del nodo di verifica.

**Dir.:** direzione della sezione di verifica.

**B:** base della sezione rettangolare di verifica. [m]

**H:** altezza della sezione rettangolare di verifica. [m]

**A. sup.:** area barre armatura superiori. [m<sup>2</sup>]

**C. sup.:** distanza media delle barre superiori dal bordo superiore della sezione. [m]

**A. inf.:** area barre armatura inferiori. [m<sup>2</sup>]

**C. inf.:** distanza media delle barre inferiori dal bordo inferiore della sezione. [m]

**Comb.:** combinazione di verifica.

**M:** momento flettente. [kN\*m]

**N:** sforzo normale. [kN]

**Mu:** momento flettente ultimo. [kN\*m]

**Nu:** sforzo normale ultimo. [kN]

**c.s.:** coefficiente di sicurezza.

**Verifica:** stato di verifica.

**σc:** tensione nel calcestruzzo. [kN/m<sup>2</sup>]

**σlim:** tensione limite. [kN/m<sup>2</sup>]

**Es/Ec:** coefficiente di omogenizzazione.

**σf:** tensione nell'acciaio d'armatura. [kN/m<sup>2</sup>]

**Comb.:** combinazione.

**Fh:** componente orizzontale del carico. [kN]

**Fv:** componente verticale del carico. [kN]

**Cnd:** resistenza valutata a breve o lungo termine (BT - LT).

**Ad:** adesione di progetto. [kN/m<sup>2</sup>]

**Phi:** angolo di attrito di progetto. [deg]

**RPI:** resistenza passiva laterale unitaria di progetto. [kN/m<sup>2</sup>]

**γR:** coefficiente parziale sulla resistenza di progetto.

**Rd:** resistenza alla traslazione di progetto. [kN]

**Ed:** azione di progetto. [kN]

**Rd/Ed:** coefficiente di sicurezza allo scorrimento.

**ID:** indice della verifica di capacità portante.

**Fx:** componente lungo x del carico. [kN]

**Fy:** componente lungo y del carico. [kN]

**Fz:** componente verticale del carico. [kN]

**Mx:** componente lungo x del momento. [kN\*m]

**My:** componente lungo y del momento. [kN\*m]

**ix:** inclinazione del carico in x. [deg]

**iy:** inclinazione del carico in y. [deg]

**ex:** eccentricità del carico in x. [m]

**ey:** eccentricità del carico in y. [m]

**B\*:** larghezza efficace. [m]

**L\*:** lunghezza efficace. [m]

**Cnd:** resistenza valutata per condizione a breve o lungo termine (BT - LT).

**C:** coesione di progetto. [kN/m<sup>2</sup>]

**Qs:** sovraccarico laterale da piano di posa. [kN/m<sup>2</sup>]

**Rd:** resistenza alla rottura del complesso di progetto. [kN]

**Ed:** azione di progetto (sforzo normale al piano di posa). [kN]

**Rd/Ed:** coefficiente di sicurezza alla capacità portante.

**N:**

**Nq:** fattore di capacità portante per il termine di sovraccarico.

**Nc:** fattore di capacità portante per il termine coesivo.

**Ng:** fattore di capacità portante per il termine attritivo.

**S:**

**Sq:** fattore correttivo di capacità portante per forma (shape), per il termine di sovraccarico.

**Sc:** fattore correttivo di capacità portante per forma (shape), per il termine coesivo.

**Sg:** fattore correttivo di capacità portante per forma (shape), per il termine attritivo.

**D:**

**Dq:** fattore correttivo di capacità portante per approfondimento (deep), per il termine di sovraccarico.

**Dc:** fattore correttivo di capacità portante per approfondimento (deep), per il termine coesivo.

**Dg:** fattore correttivo di capacità portante per approfondimento (deep), per il termine attritivo.

**I:**

*Iq*: fattore correttivo di capacità portante per inclinazione del carico, per il termine di sovraccarico.

*lc*: fattore correttivo di capacità portante per inclinazione del carico, per il termine coesivo.

*Ig*: fattore correttivo di capacità portante per inclinazione del carico, per il termine attritivo.

*B*:

*Bq*: fattore correttivo di capacità portante per inclinazione della base, per il termine di sovraccarico.

*Bc*: fattore correttivo di capacità portante per inclinazione della base, per il termine coesivo.

*Bg*: fattore correttivo di capacità portante per inclinazione della base, per il termine attritivo.

*G*:

*Gq*: fattore correttivo di capacità portante per inclinazione del pendio, per il termine di sovraccarico.

*Gc*: fattore correttivo di capacità portante per inclinazione del pendio, per il termine coesivo.

*Gg*: fattore correttivo di capacità portante per inclinazione del pendio, per il termine attritivo.

*P*:

*Pq*: fattore correttivo di capacità portante per punzonamento, per il termine di sovraccarico.

*Pc*: fattore correttivo di capacità portante per punzonamento, per il termine coesivo.

*Pg*: fattore correttivo di capacità portante per punzonamento, per il termine attritivo.

*E*:

*Eq*: fattore correttivo di capacità portante per sisma (earthquake), per il termine di sovraccarico.

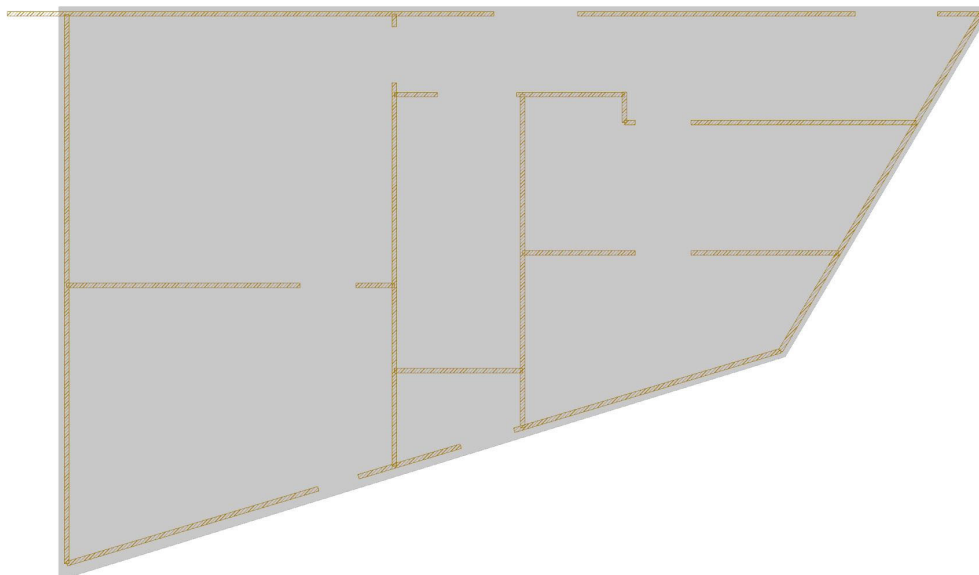
*Ec*: fattore correttivo di capacità portante per sisma (earthquake), per il termine coesivo.

*Eg*: fattore correttivo di capacità portante per sisma (earthquake), per il termine attritivo.

## Platea S0.1

Verifiche condotte secondo D.M. 17-01-18 (N.T.C.)

Geometria



### Caratteristiche dei materiali

Acciaio: B450C Fyk 450000

Calcestruzzo: C25/30\_1 Rck 30000

### Sistema di riferimento e direzioni di armatura

Le coordinate citate nel seguito sono espresse in un sistema di riferimento cartesiano con origine in (5.278; -12.011; 0), direzione dell'asse X = (0.01; 0; 0), direzione dell'asse Y = (0; 0.01; 0).

Le direzioni X/Y di armatura e le sezioni X/Y di verifica sono individuate dagli assi del sistema di riferimento.

### Verifiche nei nodi

#### Verifiche SLU flessione nei nodi

La struttura è stata dichiarata come non dissipativa pertanto la verifica a pressoflessione, per le combinazioni SLV, viene eseguita calcolando i momenti resistenti in campo sostanzialmente elastico secondo D.M. 17-01-2018 §7.4.1

Nodo	Dir.	B	H	A. sup.	C. sup.	A. inf.	C. inf.	Comb.	M	N	Mu	Nu	c.s.	Verifica
491	X	1	0.25	0.000524	0.045	0.000524	0.045	SLU 136	-14.1021	0	-43.1717	0	3.0614	Si
489	X	1	0.25	0.000524	0.045	0.000524	0.045	SLU 136	-13.3391	0	-43.1717	0	3.2365	Si
484	X	1	0.25	0.000524	0.045	0.000524	0.045	SLU 135	-13.0846	0	-43.1717	0	3.2994	Si
492	X	1	0.25	0.000524	0.045	0.000524	0.045	SLU 137	-12.7562	0	-43.1717	0	3.3844	Si
483	X	1	0.25	0.000524	0.045	0.000524	0.045	SLU 136	-12.7347	0	-43.1717	0	3.3901	Si

#### Verifiche SLD Resistenza flessione nei nodi

La struttura è stata dichiarata come non dissipativa pertanto la verifica a pressoflessione viene eseguita calcolando i momenti resistenti in campo sostanzialmente elastico secondo D.M. 17-01-2018 §7.4.1

Nodo	Dir.	B	H	A. sup.	C. sup.	A. inf.	C. inf.	Comb.	M	N	Mu	Nu	c.s.	Verifica
491	X	1	0.25	0.000524	0.045	0.000524	0.045	SLD 7	-8.9687	0	-37.5164	0	4.183	Si
489	X	1	0.25	0.000524	0.045	0.000524	0.045	SLD 7	-8.5529	0	-37.5164	0	4.3864	Si
488	X	1	0.25	0.000524	0.045	0.000524	0.045	SLD 9	-8.5284	0	-37.5164	0	4.399	Si
56	X	1	0.25	0.000524	0.045	0.000524	0.045	SLD 5	-8.2235	0	-37.5164	0	4.5621	Si
486	X	1	0.25	0.000524	0.045	0.000524	0.045	SLD 7	-8.1877	0	-37.5164	0	4.582	Si

#### Verifiche SLE tensione calcestruzzo nei nodi

Nodo	Dir.	B	H	A. sup.	C. sup.	A. inf.	C. inf.	Comb.	M	N	σc	σlim	Es/Ec	Verifica
491	X	1	0.25	0.000524	0.045	0.000524	0.045	SLE QP 2	-8.4271	0	-751	11205	15	Si

Nodo	Dir.	B	H	A. sup.	C. sup.	A. inf.	C. inf.	Comb.	M	N	σc	σlim	Es/Ec	Verifica
489	X	1	0.25	0.000524	0.045	0.000524	0.045	SLE QP 2	-7.976	0	-711	11205	15	Si
484	X	1	0.25	0.000524	0.045	0.000524	0.045	SLE QP 2	-7.8951	0	-704	11205	15	Si
492	X	1	0.25	0.000524	0.045	0.000524	0.045	SLE QP 2	-7.6718	0	-684	11205	15	Si
491	X	1	0.25	0.000524	0.045	0.000524	0.045	SLE RA 25	-10.1454	0	-904	14940	15	Si

Verifiche SLE tensione acciaio nei nodi

Nodo	Dir.	B	H	A. sup.	C. sup.	A. inf.	C. inf.	Comb.	M	N	σf	σlim	Es/Ec	Verifica
491	X	1	0.25	0.000524	0.045	0.000524	0.045	SLE RA 25	-10.1454	0	8680	360000	15	Si
489	X	1	0.25	0.000524	0.045	0.000524	0.045	SLE RA 25	-9.5972	0	8211	360000	15	Si
484	X	1	0.25	0.000524	0.045	0.000524	0.045	SLE RA 24	-9.4382	0	8075	360000	15	Si
25	Y	1	0.25	0.000524	0.035	0.000524	0.035	SLE RA 24	-8.4165	0	7949	360000	15	Si
492	X	1	0.25	0.000524	0.045	0.000524	0.045	SLE RA 26	-9.1983	0	7870	360000	15	Si

Verifiche SLE fessurazione nei nodi

La piastra non presenta nodi con apertura delle fessure.

Verifiche geotecniche

Dati geometrici dell'impronta di calcolo

Forma dell'impronta di calcolo: rettangolare di area equivalente

Area di ingombro esterno minore: 171.4

Angolo di rotazione corrispondente all'ingombro minore: 0

Rapporto di forma trovato (area ingombro esterno/area fondazione): 1.44

Centro impronta, nel sistema globale: 15.3; -5.9; -0.3

Lato minore B dell'impronta: 10.2

Lato maggiore L dell'impronta: 16.7

Area dell'impronta rettangolare di calcolo: 171.4

Verifica di scorrimento sul piano di posa

Coefficiente di sicurezza minimo per scorrimento 3.96

Comb.	Fh	Fv	Cnd	Ad	Phi	RPI	yR	Rd	Ed	Rd/Ed	Verifica
SLU 2	31.25	-2596.6	LT	0	25	0	1.1	1100.74	31.25	35.22	Si
SLV 1	311.3	-2911.34	LT	0	25	0	1.1	1234.17	311.3	3.96	Si

Verifiche geotecniche di capacità portante sul piano di posa

Profondità massima del bulbo di rottura considerato: 8.87 m

Peso specifico efficace del terreno di progetto γs: 1810 daN/m3

Accelerazione normalizzata massima attesa al suolo Amax per verifiche in SLD: 0.025

Accelerazione normalizzata massima attesa al suolo Amax per verifiche in SLV: 0.061

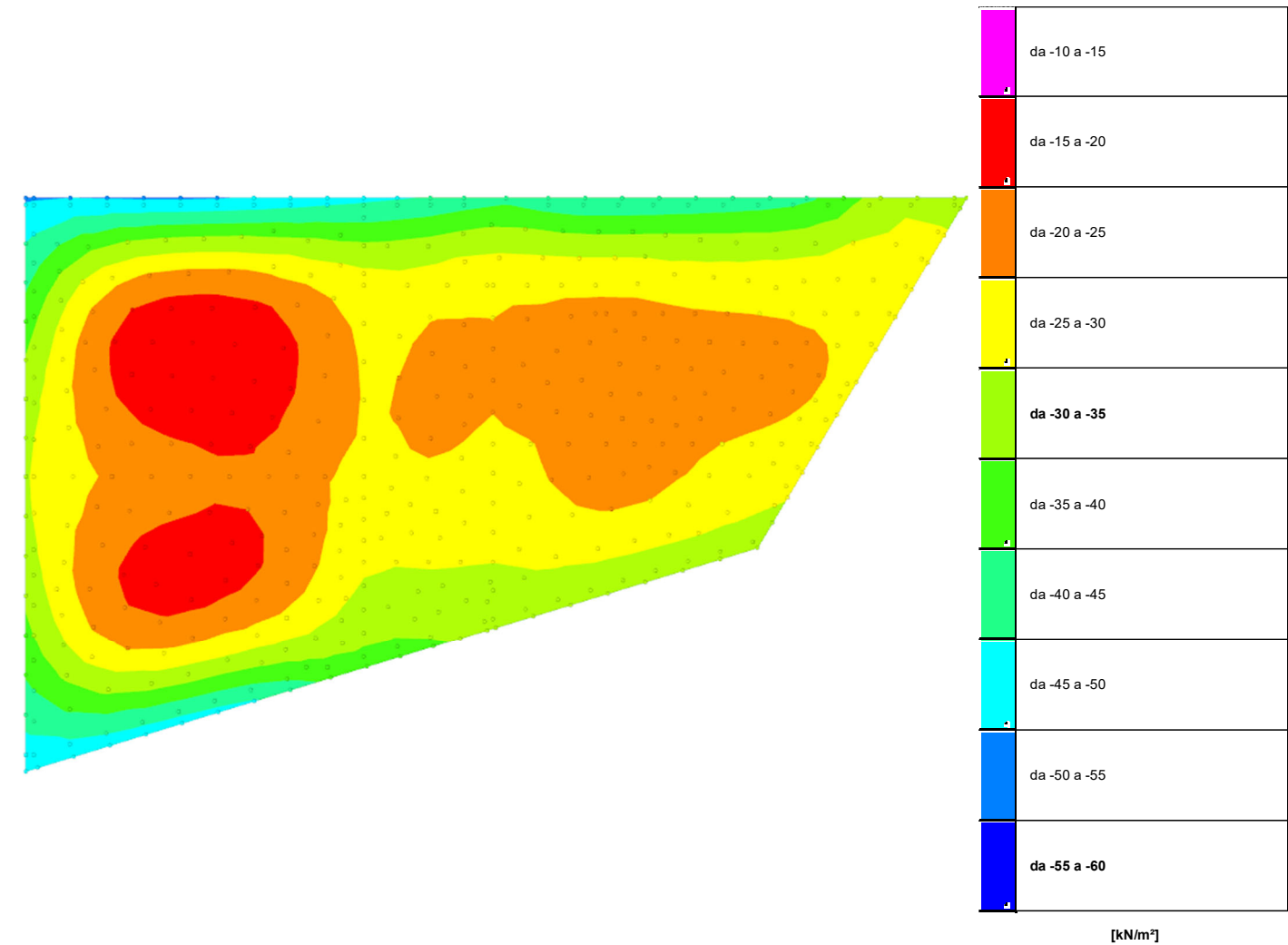
Coefficiente di sicurezza minimo per portanza 10.13

ID	Comb.	Fx	Fy	Fz	Mx	My	ix	iy	ex	ey	B'	L'	Cnd	C	Phi	Qs	yR	Rd	Ed	Rd/Ed	Verifica
1	SLU 146	0	18.18	-4702.3	-6680.981	-8957.7961	0	0	-1.9	-1.42	7.4	12.92	LT	0	30	0	2.3	47652.02	4702.3	10.13	Si
2	SLV 7	-90.09	238.31	-2930.38	-4921.7148	-5877.4546	-2	5	-2.01	-1.68	6.89	12.72	LT	0	30	0	2.3	31594.83	2930.38	10.78	Si
3	SLD 7	-37.88	100.3	-2932.15	-4436.0561	-5718.1013	-1	2	-1.95	-1.51	7.22	12.83	LT	0	30	0	2.3	40834.19	2932.15	13.93	Si

Verifiche geotecniche di capacità portante - Fattori utilizzati nel calcolo di Rd

ID	N			S			D			I			B			G			P			E		
	Nq	Nc	Ng	Sq	Sc	Sg	Dq	Dc	Dg	Iq	Ic	Ig	Bq	Bc	Bg	Gq	Gc	Gg	Pq	Pc	Pg	Eq	Ec	Eg
1	18	30	22	1.33	1.35	0.77	1	1	1	0.99	0.99	0.99	1	1	1	1	1	1	1	1	1	1	1	1
2	18	30	22	1.31	1.33	0.78	1	1	1	0.86	0.86	0.79	1	1	1	1	1	1	1	1	1	0.96	0.98	0.96
3	18	30	22	1.32	1.34	0.77	1	1	1	0.94	0.94	0.91	1	1	1	1	1	1	1	1	1	0.98	0.99	0.98

7.2 Pressioni terreno in SLU



Rappresentazione in pianta delle massime compressioni sul terreno in famiglia SLU.

**Nodo:** Nodo che interagisce col terreno.  
**Ind.:** indice del nodo.  
**Pressione minima:** situazione in cui si verifica la pressione minima nel nodo.  
**Cont.:** nome breve della condizione o combinazione di carico a cui si riferisce la pressione minima.  
**uz:** spostamento massimo verticale del nodo. [m]  
**Valore:** pressione minima sul terreno del nodo. [kN/m²]  
**Pressione massima:** situazione in cui si verifica la pressione massima nel nodo.  
**Cont.:** nome breve della condizione o combinazione di carico a cui si riferisce la pressione massima.  
**uz:** spostamento minimo verticale del nodo. [m]  
**Valore:** pressione massima sul terreno del nodo. [kN/m²]

Compressione estrema massima -50.685 al nodo di indice 605, di coordinate x = 8.58, y = 0.29, z = -0.13, nel contesto SLU 146.  
Spostamento estremo minimo -0.0016895 al nodo di indice 605, di coordinate x = 8.58, y = 0.29, z = -0.13, nel contesto SLU 146.  
Spostamento estremo massimo -0.0002815 al nodo di indice 387, di coordinate x = 8.84, y = -2.82, z = -0.13, nel contesto SLU 13.

Nodo		Pressione minima			Pressione massima		
Ind.	Cont.	uz	Valore	Cont.	uz	Valore	
2	SLU 135	-0.001639	-49.17	SLU 3	-0.0008789	-26.366	
3	SLU 135	-0.0016268	-48.805	SLU 3	-0.0008727	-26.181	
4	SLU 145	-0.0016017	-48.051	SLU 3	-0.0008583	-25.75	
5	SLU 135	-0.0015779	-47.338	SLU 3	-0.0008489	-25.466	
6	SLU 135	-0.0015763	-47.289	SLU 3	-0.0008479	-25.436	
10	SLU 145	-0.0015934	-47.803	SLU 3	-0.0008527	-25.582	
12	SLU 145	-0.0015282	-45.845	SLU 3	-0.0008212	-24.635	
13	SLU 145	-0.00159	-47.699	SLU 3	-0.0008498	-25.494	
15	SLU 145	-0.0014925	-44.775	SLU 3	-0.0008009	-24.027	
16	SLU 145	-0.0015786	-47.358	SLU 3	-0.0008426	-25.277	
18	SLU 145	-0.0014691	-44.074	SLU 3	-0.0007873	-23.618	
20	SLU 145	-0.0014454	-43.363	SLU 3	-0.0007825	-23.475	
21	SLU 135	-0.0014397	-43.192	SLU 3	-0.0007803	-23.41	
22	SLU 145	-0.0015553	-46.658	SLU 3	-0.000829	-24.87	
24	SLU 145	-0.0014486	-43.458	SLU 3	-0.0007751	-23.253	
25	SLU 145	-0.0013113	-39.338	SLU 3	-0.0007099	-21.297	
26	SLU 145	-0.0015118	-45.355	SLU 3	-0.0008046	-24.139	
27	SLU 145	-0.0014261	-42.783	SLU 3	-0.000762	-22.859	
30	SLU 145	-0.0013336	-40.008	SLU 3	-0.0007264	-21.791	
31	SLU 145	-0.0013924	-41.773	SLU 3	-0.0007428	-22.284	
33	SLU 145	-0.0014197	-42.592	SLU 3	-0.0007532	-22.596	
34	SLU 145	-0.0011306	-33.918	SLU 3	-0.0006128	-18.384	

## Relazione geotecnica

Nodo Ind.	Pressione minima			Pressione massima		
	Cont.	uz	Valore	Cont.	uz	Valore
35	SLU 145	-0.0010981	-32.942	SLU 3	-0.0005933	-17.798
36	SLU 145	-0.001322	-39.661	SLU 3	-0.0007031	-21.093
38	SLU 145	-0.0012848	-38.543	SLU 3	-0.0006764	-20.292
39	SLU 145	-0.0011296	-33.887	SLU 3	-0.0006165	-18.495
40	SLU 135	-0.0013185	-39.556	SLU 5	-0.000719	-21.569
41	SLU 145	-0.0010798	-32.394	SLU 3	-0.0005823	-17.469
42	SLU 145	-0.0012213	-36.639	SLU 3	-0.0006449	-19.348
44	SLU 145	-0.0012153	-36.459	SLU 3	-0.0006452	-19.356
45	SLU 145	-0.0012371	-37.114	SLU 3	-0.0006486	-19.458
46	SLU 145	-0.0011334	-34.001	SLU 3	-0.0006075	-18.224
47	SLU 135	-0.0012354	-37.061	SLU 5	-0.0006756	-20.269
49	SLU 145	-0.0010312	-30.936	SLU 3	-0.0005558	-16.674
50	SLU 145	-0.0009461	-28.383	SLU 3	-0.0005181	-15.543
54	SLU 145	-0.0011987	-35.961	SLU 3	-0.0006305	-18.916
55	SLU 145	-0.001222	-36.66	SLU 3	-0.0006399	-19.198
56	SLU 145	-0.000858	-25.74	SLU 3	-0.0004672	-14.015
57	SLU 145	-0.0010625	-31.876	SLU 3	-0.000569	-17.07
58	SLU 145	-0.000827	-24.809	SLU 3	-0.0004528	-13.585
60	SLU 145	-0.0011927	-35.78	SLU 3	-0.0006267	-18.802
61	SLU 145	-0.0011881	-35.642	SLU 3	-0.0006215	-18.645
62	SLU 145	-0.0010167	-30.502	SLU 5	-0.0005582	-16.747
63	SLU 145	-0.0011163	-33.489	SLU 3	-0.0005917	-17.752
64	SLU 145	-0.0011488	-34.464	SLU 3	-0.0005995	-17.984
65	SLU 145	-0.0007885	-23.656	SLU 3	-0.0004301	-12.903
66	SLU 145	-0.0010373	-31.119	SLU 3	-0.0005538	-16.614
67	SLU 145	-0.001162	-34.859	SLU 3	-0.0006099	-18.298
69	SLU 135	-0.0012159	-36.477	SLU 5	-0.0006641	-19.922
71	SLU 135	-0.0011651	-34.954	SLU 5	-0.0006382	-19.145
72	SLU 145	-0.0008942	-26.826	SLU 3	-0.0004836	-14.507
73	SLU 145	-0.0011242	-33.727	SLU 3	-0.0005958	-17.875
75	SLU 145	-0.0011338	-34.015	SLU 3	-0.0005898	-17.694
76	SLU 145	-0.0011345	-34.034	SLU 3	-0.0005897	-17.692
77	SLU 145	-0.0008176	-24.528	SLU 5	-0.0004509	-13.527
78	SLU 145	-0.0006811	-20.433	SLU 3	-0.0003752	-11.256
80	SLU 145	-0.0011131	-33.394	SLU 3	-0.0005811	-17.432
81	SLU 145	-0.0010338	-31.015	SLU 3	-0.0005521	-16.564
82	SLU 145	-0.0007328	-21.985	SLU 3	-0.0004007	-12.021
83	SLU 145	-0.0011108	-33.324	SLU 3	-0.0005088	-17.64
86	SLU 145	-0.0011133	-33.398	SLU 3	-0.0005807	-17.422
87	SLU 145	-0.0008645	-25.934	SLU 3	-0.0004674	-14.022
88	SLU 145	-0.0011472	-34.417	SLU 3	-0.0005963	-17.889
89	SLU 147	-0.0009423	-28.269	SLU 5	-0.0005186	-15.558
90	SLU 145	-0.001087	-32.609	SLU 3	-0.0005745	-17.235
91	SLU 145	-0.0010626	-31.879	SLU 3	-0.0005676	-17.029
94	SLU 145	-0.0011191	-33.572	SLU 3	-0.0005836	-17.509
95	SLU 145	-0.0006741	-20.222	SLU 5	-0.0003735	-11.206
96	SLU 145	-0.0010792	-32.377	SLU 3	-0.0005754	-17.263
98	SLU 137	-0.0010986	-32.959	SLU 5	-0.0006021	-18.063
99	SLU 145	-0.0011556	-34.667	SLU 3	-0.0006009	-18.028
100	SLU 145	-0.0010735	-32.206	SLU 3	-0.000564	-16.919
101	SLU 145	-0.0010618	-31.853	SLU 3	-0.0005603	-16.809
102	SLU 145	-0.0008995	-26.986	SLU 3	-0.0004858	-14.574
103	SLU 145	-0.0007179	-21.536	SLU 3	-0.0003929	-11.786
104	SLU 145	-0.0006207	-18.62	SLU 3	-0.0003434	-10.302
105	SLU 145	-0.0011202	-33.607	SLU 3	-0.0005847	-17.54
107	SLU 145	-0.0009899	-29.696	SLU 3	-0.0005321	-15.963
108	SLU 137	-0.001132	-33.96	SLU 5	-0.0006185	-18.554
109	SLU 145	-0.0011578	-34.734	SLU 3	-0.000602	-18.061
110	SLU 145	-0.0010426	-31.278	SLU 3	-0.0005567	-16.701
112	SLU 145	-0.0010535	-31.605	SLU 3	-0.0005552	-16.655
113	SLU 145	-0.0011187	-33.56	SLU 3	-0.000584	-17.521
115	SLU 147	-0.0009295	-27.884	SLU 5	-0.0005119	-15.357
116	SLU 147	-0.0007609	-22.828	SLU 5	-0.0004208	-12.625
118	SLU 145	-0.0010134	-30.401	SLU 3	-0.0005456	-16.367
119	SLU 145	-0.0010288	-30.865	SLU 3	-0.0005481	-16.444
120	SLU 146	-0.0006005	-18.016	SLU 2	-0.0003343	-10.028
121	SLU 145	-0.0007522	-22.566	SLU 3	-0.0004112	-12.336
122	SLU 145	-0.0011549	-34.647	SLU 3	-0.0006001	-18.004
123	SLU 145	-0.0010351	-31.054	SLU 3	-0.0005474	-16.423
124	SLU 145	-0.001116	-33.48	SLU 3	-0.0005825	-17.475
126	SLU 148	-0.0006178	-18.535	SLU 3	-0.0003421	-10.262
127	SLU 145	-0.0010256	-30.767	SLU 3	-0.0005417	-16.25
128	SLU 145	-0.0009323	-27.968	SLU 3	-0.000505	-15.149
130	SLU 137	-0.0010479	-31.438	SLU 5	-0.0005744	-17.232
131	SLU 147	-0.0006477	-19.432	SLU 5	-0.00036	-10.8
133	SLU 145	-0.001112	-33.36	SLU 3	-0.00058	-17.399
134	SLU 145	-0.0011456	-34.367	SLU 3	-0.0005946	-17.837
135	SLU 145	-0.0008184	-24.551	SLU 3	-0.0004469	-13.408
136	SLU 148	-0.0006553	-19.658	SLU 3	-0.0003621	-10.862
137	SLU 147	-0.0008688	-26.063	SLU 5	-0.0004795	-14.385
138	SLU 145	-0.0009723	-29.17	SLU 3	-0.0005273	-15.82
142	SLU 145	-0.0009907	-29.721	SLU 3	-0.0005353	-16.058
145	SLU 145	-0.0009864	-29.593	SLU 3	-0.0005306	-15.919
146	SLU 145	-0.0009913	-29.738	SLU 3	-0.0005304	-15.912
150	SLU 145	-0.0009976	-29.927	SLU 3	-0.0005312	-15.936
152	SLU 145	-0.0011053	-33.16	SLU 3	-0.0005759	-17.276
153	SLU 145	-0.0011299	-33.896	SLU 3	-0.0005857	-17.57
154	SLU 145	-0.0009561	-28.684	SLU 3	-0.000509	-15.27
155	SLU 137	-0.0010673	-32.02	SLU 5	-0.0005831	-17.492
156	SLU 148	-0.0005964	-17.893	SLU 2	-0.0003321	-9.962
158	SLU 145	-0.0010965	-32.895	SLU 3	-0.0005707	-17.12
159	SLU 145	-0.0008907	-26.722	SLU 3	-0.0004862	-14.586
160	SLU 145	-0.0007157	-21.471	SLU 3	-0.0003947	-11.841
161	SLU 137	-0.0010172	-30.515	SLU 5	-0.0005575	-16.724
163	SLU 145	-0.0009548	-28.643	SLU 3	-0.0005105	-15.314
164	SLU 145	-0.00094	-28.2	SLU 3	-0.0005006	-15.019
165	SLU 145	-0.0011161	-33.484	SLU 3	-0.0005781	-17.343
166	SLU 146	-0.0006367	-19.102	SLU 2	-0.0003552	-10.656

## Relazione geotecnica

Nodo Ind.	Pressione minima			Pressione massima		
	Cont.	uz	Valore	Cont.	uz	Valore
167	SLU 147	-0.0007279	-21.838	SLU 5	-0.0004042	-12.127
168	SLU 148	-0.0006213	-18.638	SLU 4	-0.0003449	-10.346
172	SLU 145	-0.0010897	-32.69	SLU 3	-0.0005667	-17.002
173	SLU 145	-0.0009407	-28.222	SLU 3	-0.0005006	-15.017
174	SLU 145	-0.0009379	-28.138	SLU 3	-0.0005116	-15.347
176	SLU 145	-0.0009469	-28.407	SLU 3	-0.0005158	-15.473
177	SLU 145	-0.0009398	-28.194	SLU 3	-0.0005083	-15.249
178	SLU 148	-0.0006616	-19.849	SLU 4	-0.0003666	-10.997
179	SLU 145	-0.0009596	-28.787	SLU 3	-0.0005091	-15.274
180	SLU 145	-0.0007949	-23.847	SLU 3	-0.0004375	-13.124
181	SLU 145	-0.0009897	-29.692	SLU 3	-0.0005229	-15.686
182	SLU 145	-0.0009312	-27.936	SLU 3	-0.0005063	-15.189
184	SLU 145	-0.0009431	-28.293	SLU 3	-0.000508	-15.239
185	SLU 147	-0.0008639	-25.918	SLU 5	-0.0004776	-14.327
186	SLU 145	-0.0008707	-26.12	SLU 3	-0.0004781	-14.344
187	SLU 145	-0.0009208	-27.625	SLU 3	-0.000499	-14.969
188	SLU 145	-0.0010443	-31.329	SLU 3	-0.0005474	-16.421
189	SLU 145	-0.000909	-27.27	SLU 3	-0.0004984	-14.952
191	SLU 145	-0.0008844	-26.531	SLU 3	-0.0004795	-14.384
192	SLU 137	-0.001026	-30.78	SLU 5	-0.0005602	-16.806
193	SLU 145	-0.0008432	-25.295	SLU 3	-0.0004578	-13.733
194	SLU 145	-0.0009064	-27.191	SLU 3	-0.0004966	-14.897
196	SLU 137	-0.0009934	-29.802	SLU 5	-0.000544	-16.321
197	SLU 146	-0.0006824	-20.471	SLU 2	-0.0003815	-11.444
198	SLU 145	-0.0009557	-28.672	SLU 3	-0.0005085	-15.256
199	SLU 148	-0.0007179	-21.538	SLU 4	-0.0003976	-11.929
200	SLU 148	-0.0006597	-19.791	SLU 4	-0.0003677	-11.031
201	SLU 145	-0.0008909	-26.728	SLU 3	-0.0004861	-14.583
202	SLU 147	-0.0007335	-22.005	SLU 5	-0.0004093	-12.279
203	SLU 148	-0.0006668	-20.004	SLU 4	-0.0003701	-11.103
204	SLU 145	-0.0008291	-24.872	SLU 3	-0.0004502	-13.506
205	SLU 147	-0.0008019	-24.057	SLU 5	-0.0004454	-13.361
207	SLU 145	-0.0009978	-29.934	SLU 3	-0.0005283	-15.848
208	SLU 145	-0.0008834	-26.501	SLU 3	-0.0004756	-14.268
209	SLU 145	-0.0008841	-26.522	SLU 3	-0.0004845	-14.534
210	SLU 148	-0.0008049	-24.148	SLU 3	-0.0004452	-13.356
211	SLU 145	-0.0008995	-26.985	SLU 3	-0.0004901	-14.702
213	SLU 145	-0.0008335	-25.005	SLU 3	-0.0004525	-13.576
214	SLU 145	-0.0008668	-26.004	SLU 3	-0.0004783	-14.348
215	SLU 145	-0.0008858	-26.574	SLU 3	-0.0004881	-14.644
217	SLU 145	-0.000992	-29.759	SLU 3	-0.0005264	-15.793
218	SLU 145	-0.0008738	-26.213	SLU 3	-0.0004787	-14.362
219	SLU 145	-0.0008714	-26.141	SLU 3	-0.0004804	-14.411
220	SLU 145	-0.0009638	-28.914	SLU 3	-0.0005151	-15.454
222	SLU 145	-0.000863	-25.889	SLU 3	-0.0004739	-14.218
223	SLU 145	-0.0008305	-24.915	SLU 3	-0.0004572	-13.716
224	SLU 145	-0.0008475	-25.424	SLU 3	-0.0004673	-14.019
225	SLU 145	-0.0008032	-24.096	SLU 3	-0.0004425	-13.276
226	SLU 137	-0.001012	-30.36	SLU 5	-0.0005521	-16.564
230	SLU 137	-0.000988	-29.641	SLU 5	-0.0005406	-16.219
231	SLU 147	-0.0008829	-26.486	SLU 5	-0.0004885	-14.654
234	SLU 147	-0.0008068	-24.205	SLU 5	-0.0004492	-13.477
235	SLU 147	-0.0007524	-22.572	SLU 5	-0.0004213	-12.64
237	SLU 148	-0.0007136	-21.408	SLU 4	-0.0003991	-11.974
240	SLU 148	-0.0006878	-20.634	SLU 4	-0.0003827	-11.482
241	SLU 148	-0.0006968	-20.904	SLU 4	-0.0003862	-11.587
243	SLU 148	-0.0007508	-22.523	SLU 4	-0.0004162	-12.485
246	SLU 148	-0.0008222	-24.666	SLU 4	-0.0004559	-13.678
250	SLU 148	-0.000868	-26.041	SLU 3	-0.0004805	-14.416
251	SLU 145	-0.0009016	-27.049	SLU 3	-0.0004881	-14.643
252	SLU 145	-0.0008575	-25.725	SLU 3	-0.0004674	-14.022
253	SLU 145	-0.000792	-23.76	SLU 3	-0.0004362	-13.085
255	SLU 145	-0.0008703	-26.108	SLU 3	-0.0004794	-14.382
256	SLU 145	-0.0008198	-24.594	SLU 3	-0.0004494	-13.483
257	SLU 145	-0.0009505	-28.515	SLU 3	-0.000511	-15.329
259	SLU 145	-0.0009355	-28.065	SLU 3	-0.0005047	-15.14
260	SLU 145	-0.0007951	-23.853	SLU 3	-0.000438	-13.139
261	SLU 145	-0.0009051	-27.153	SLU 3	-0.0004911	-14.733
262	SLU 145	-0.0008416	-25.247	SLU 3	-0.0004662	-13.987
263	SLU 148	-0.0008431	-25.294	SLU 2	-0.0004674	-14.023
264	SLU 148	-0.000716	-21.479	SLU 4	-0.000397	-11.911
265	SLU 145	-0.0009184	-27.553	SLU 3	-0.0004991	-14.973
266	SLU 148	-0.000658	-19.741	SLU 4	-0.0003654	-10.963
267	SLU 147	-0.0007995	-23.985	SLU 5	-0.000444	-13.321
268	SLU 148	-0.0006547	-19.642	SLU 4	-0.000365	-10.951
271	SLU 147	-0.0008503	-25.508	SLU 5	-0.0004727	-14.182
273	SLU 145	-0.0008359	-25.078	SLU 3	-0.0004654	-13.962
276	SLU 145	-0.0008106	-24.319	SLU 3	-0.0004512	-13.535
278	SLU 145	-0.0007844	-23.531	SLU 3	-0.0004361	-13.083
280	SLU 145	-0.0007738	-23.214	SLU 3	-0.0004296	-12.888
282	SLU 145	-0.0007871	-23.612	SLU 3	-0.0004361	-13.084
284	SLU 145	-0.0008112	-24.336	SLU 3	-0.0004484	-13.452
285	SLU 145	-0.0008336	-25.008	SLU 3	-0.0004595	-13.784
287	SLU 145	-0.0008546	-25.639	SLU 3	-0.0004694	-14.083
289	SLU 145	-0.000878	-26.339	SLU 3	-0.0004802	-14.407
291	SLU 145	-0.0009059	-27.176	SLU 3	-0.0004934	-14.801
294	SLU 147	-0.0007299	-21.896	SLU 5	-0.0004076	-12.227
295	SLU 148	-0.0006806	-20.417	SLU 4	-0.0003812	-11.436
297	SLU 137	-0.0010003	-30.009	SLU 5	-0.0005471	-16.414
298	SLU 146	-0.0008193	-24.58	SLU 2	-0.000454	-13.62
300	SLU 146	-0.0008476	-25.427	SLU 2	-0.0004676	-14.029
301	SLU 137	-0.0010338	-31.015	SLU 5	-0.0005636	-16.909
302	SLU 147	-0.0008634	-25.901	SLU 5	-0.0004765	-14.296
303	SLU 145	-0.0007705	-23.116	SLU 3	-0.0004286	-12.859
304	SLU 146	-0.0008241	-24.723	SLU 2	-0.0004566	-13.698
305	SLU 146	-0.0007565	-22.694	SLU 2	-0.0004175	-12.525
306	SLU 145	-0.0007501	-22.503	SLU 3	-0.0004184	-12.552
308	SLU 145	-0.0008823	-26.47	SLU 3	-0.0004835	-14.505

Relazione geotecnica

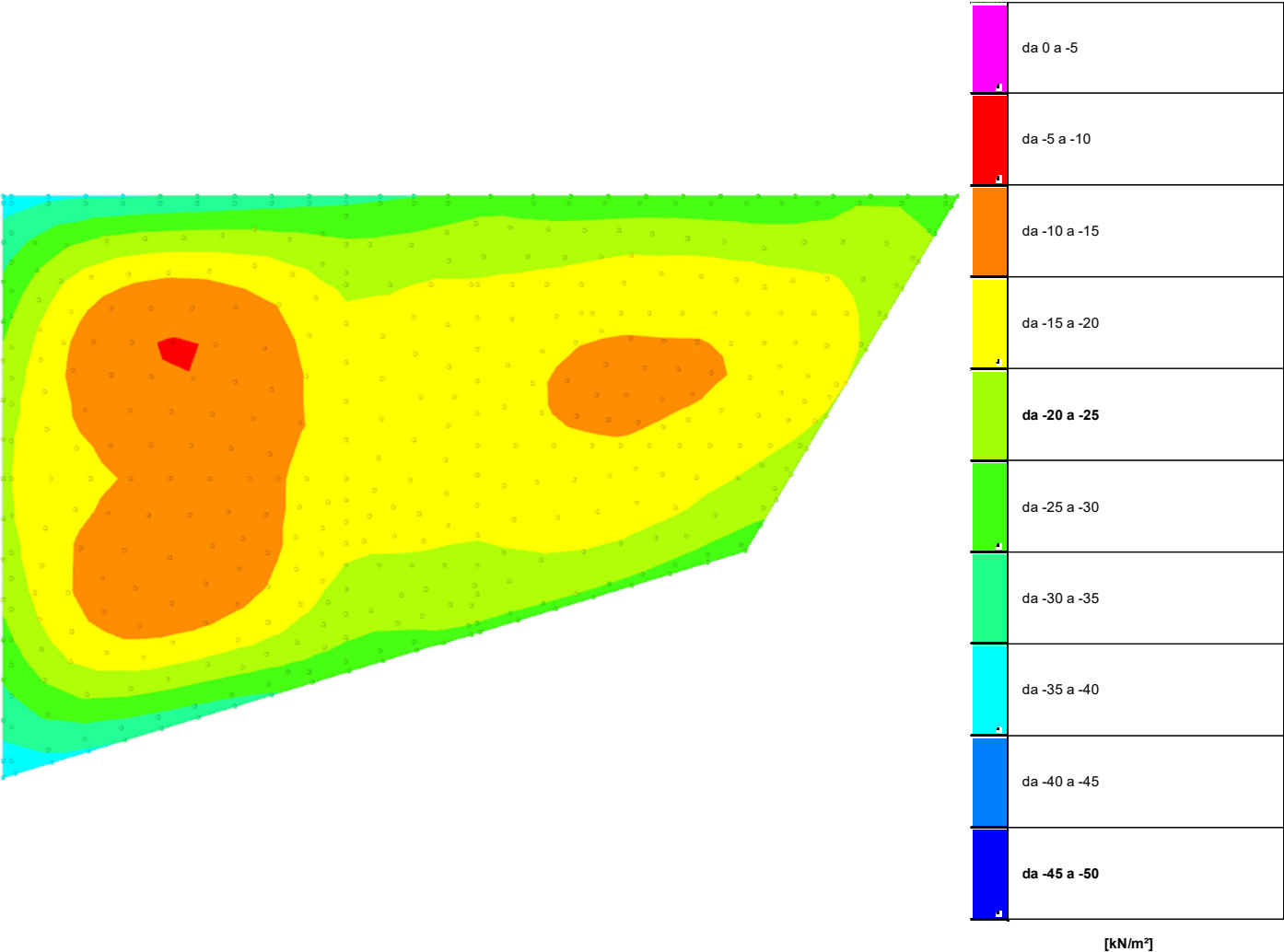
Nodo Ind.	Pressione minima			Pressione massima		
	Cont.	uz	Valore	Cont.	uz	Valore
309	SLU 145	-0.0008482	-25.445	SLU 3	-0.0004669	-14.006
310	SLU 145	-0.0007762	-23.285	SLU 3	-0.0004317	-12.952
311	SLU 145	-0.0007458	-22.373	SLU 3	-0.0004169	-12.507
312	SLU 146	-0.0008308	-24.923	SLU 2	-0.0004565	-13.694
313	SLU 148	-0.0006419	-19.257	SLU 4	-0.0003563	-10.689
314	SLU 146	-0.0007579	-22.737	SLU 2	-0.0004234	-12.702
315	SLU 145	-0.0008891	-26.674	SLU 4	-0.0004868	-14.603
316	SLU 145	-0.0008116	-24.348	SLU 3	-0.0004493	-13.48
317	SLU 148	-0.000589	-17.67	SLU 4	-0.0003276	-9.828
319	SLU 146	-0.000832	-24.961	SLU 2	-0.0004606	-13.819
320	SLU 146	-0.0007821	-23.463	SLU 2	-0.0004355	-13.064
321	SLU 148	-0.0005833	-17.498	SLU 4	-0.0003255	-9.765
322	SLU 145	-0.0006175	-18.525	SLU 3	-0.0003453	-10.359
323	SLU 145	-0.000779	-23.37	SLU 3	-0.0004335	-13.004
324	SLU 147	-0.0007122	-21.365	SLU 5	-0.0003956	-11.868
325	SLU 146	-0.0008127	-24.38	SLU 2	-0.0004502	-13.505
326	SLU 137	-0.0010326	-30.977	SLU 5	-0.0005645	-16.934
328	SLU 145	-0.00084	-25.201	SLU 4	-0.0004626	-13.878
329	SLU 146	-0.0008406	-25.219	SLU 2	-0.0004595	-13.786
331	SLU 137	-0.0010834	-32.503	SLU 5	-0.0005901	-17.704
332	SLU 147	-0.0007319	-21.956	SLU 3	-0.0004097	-12.29
333	SLU 146	-0.0008093	-24.279	SLU 2	-0.0004435	-13.305
334	SLU 145	-0.00087	-26.1	SLU 4	-0.0004773	-14.319
336	SLU 146	-0.0008192	-24.577	SLU 2	-0.0004503	-13.508
337	SLU 146	-0.0007214	-21.641	SLU 2	-0.0004022	-12.067
338	SLU 146	-0.0007166	-21.498	SLU 2	-0.0004006	-12.018
339	SLU 145	-0.0007428	-22.284	SLU 3	-0.0004155	-12.466
340	SLU 148	-0.0008019	-24.057	SLU 4	-0.0004439	-13.316
341	SLU 147	-0.0008595	-25.786	SLU 5	-0.0004729	-14.188
342	SLU 146	-0.0006506	-19.517	SLU 2	-0.0003588	-10.763
343	SLU 145	-0.0008679	-26.037	SLU 4	-0.0004763	-14.29
345	SLU 146	-0.0007634	-22.901	SLU 2	-0.0004213	-12.64
346	SLU 145	-0.0008778	-26.333	SLU 4	-0.0004811	-14.434
347	SLU 148	-0.0005651	-16.952	SLU 2	-0.0003138	-9.414
348	SLU 146	-0.0008217	-24.651	SLU 2	-0.0004502	-13.507
350	SLU 146	-0.0007277	-21.831	SLU 2	-0.0004033	-12.098
351	SLU 148	-0.0005217	-15.65	SLU 4	-0.0002904	-8.711
352	SLU 146	-0.0008327	-24.982	SLU 2	-0.0004525	-13.576
353	SLU 147	-0.0010684	-32.053	SLU 5	-0.0005833	-17.499
355	SLU 148	-0.0007653	-22.958	SLU 4	-0.0004261	-12.783
356	SLU 145	-0.0005299	-15.898	SLU 3	-0.0002953	-8.859
357	SLU 146	-0.0007476	-22.428	SLU 2	-0.0004082	-12.245
358	SLU 148	-0.000822	-24.661	SLU 4	-0.0004536	-13.607
359	SLU 147	-0.000593	-17.791	SLU 5	-0.0003303	-9.908
360	SLU 148	-0.000744	-22.321	SLU 4	-0.0004163	-12.488
361	SLU 147	-0.0007187	-21.561	SLU 5	-0.000397	-11.91
362	SLU 146	-0.0007296	-21.887	SLU 2	-0.0004077	-12.232
363	SLU 146	-0.0007152	-21.456	SLU 2	-0.0003988	-11.964
364	SLU 146	-0.0008138	-24.413	SLU 2	-0.0004428	-13.283
365	SLU 148	-0.0007885	-23.656	SLU 4	-0.0004372	-13.116
366	SLU 146	-0.0007899	-23.696	SLU 2	-0.0004319	-12.957
367	SLU 146	-0.0007099	-21.296	SLU 2	-0.000394	-11.819
368	SLU 146	-0.0008471	-25.412	SLU 2	-0.0004582	-13.746
370	SLU 137	-0.0011544	-34.631	SLU 5	-0.000628	-18.841
371	SLU 147	-0.0009017	-27.052	SLU 5	-0.0004941	-14.823
372	SLU 146	-0.0008129	-24.386	SLU 2	-0.0004394	-13.181
373	SLU 146	-0.0007489	-22.466	SLU 2	-0.0004097	-12.292
374	SLU 148	-0.0008819	-26.458	SLU 4	-0.0004825	-14.474
376	SLU 146	-0.0008217	-24.652	SLU 2	-0.0004452	-13.357
377	SLU 146	-0.0006184	-18.553	SLU 2	-0.0003391	-10.172
379	SLU 147	-0.001126	-33.781	SLU 5	-0.0006129	-18.387
380	SLU 148	-0.0008428	-25.283	SLU 4	-0.0004638	-13.914
381	SLU 146	-0.0005269	-15.806	SLU 2	-0.0002923	-8.768
382	SLU 148	-0.0008773	-26.319	SLU 4	-0.0004802	-14.407
384	SLU 146	-0.0007769	-23.307	SLU 2	-0.000433	-12.99
385	SLU 148	-0.0008146	-24.438	SLU 4	-0.0004504	-13.511
386	SLU 148	-0.0007929	-23.787	SLU 4	-0.0004404	-13.211
387	SLU 143	-0.0005086	-15.259	SLU 13	-0.0002815	-8.446
388	SLU 146	-0.0007334	-22.002	SLU 2	-0.0004027	-12.082
389	SLU 147	-0.0007833	-23.498	SLU 5	-0.0004303	-12.908
390	SLU 145	-0.0005458	-16.374	SLU 3	-0.0003034	-9.103
391	SLU 146	-0.000767	-23.01	SLU 2	-0.0004269	-12.808
392	SLU 147	-0.0006467	-19.401	SLU 5	-0.0003574	-10.722
393	SLU 146	-0.0007542	-22.627	SLU 2	-0.000419	-12.571
394	SLU 146	-0.0007406	-22.219	SLU 2	-0.00041	-12.3
395	SLU 146	-0.0008475	-25.424	SLU 2	-0.0004548	-13.643
396	SLU 146	-0.0007654	-22.963	SLU 2	-0.0004132	-12.395
397	SLU 146	-0.0007466	-22.397	SLU 2	-0.0004105	-12.316
398	SLU 146	-0.0009593	-28.778	SLU 5	-0.0005234	-15.702
399	SLU 146	-0.0008234	-24.703	SLU 2	-0.0004417	-13.251
400	SLU 146	-0.0008679	-26.037	SLU 2	-0.0004639	-13.918
402	SLU 146	-0.0012483	-37.45	SLU 5	-0.0006764	-20.291
403	SLU 146	-0.0008048	-24.143	SLU 2	-0.000433	-12.989
405	SLU 146	-0.0008348	-25.044	SLU 2	-0.0004471	-13.414
406	SLU 146	-0.0008365	-25.095	SLU 2	-0.000447	-13.409
407	SLU 148	-0.0008954	-26.862	SLU 4	-0.0004878	-14.635
408	SLU 146	-0.0012009	-36.028	SLU 5	-0.000651	-19.53
410	SLU 146	-0.0007824	-23.471	SLU 2	-0.0004239	-12.716
411	SLU 146	-0.0007856	-23.568	SLU 2	-0.0004277	-12.831
416	SLU 146	-0.0007844	-23.533	SLU 2	-0.0004281	-12.842
418	SLU 146	-0.0007861	-23.584	SLU 2	-0.0004314	-12.943
420	SLU 146	-0.0008035	-24.106	SLU 2	-0.0004429	-13.288
422	SLU 146	-0.0008211	-24.633	SLU 2	-0.0004538	-13.613
423	SLU 146	-0.0008299	-24.896	SLU 2	-0.0004591	-13.772
426	SLU 146	-0.0008359	-25.077	SLU 2	-0.0004627	-13.88
427	SLU 148	-0.0008443	-25.329	SLU 4	-0.000466	-13.981
430	SLU 148	-0.0008567	-25.702	SLU 4	-0.0004711	-14.132
432	SLU 148	-0.000873	-26.189	SLU 4	-0.000478	-14.34

Relazione geotecnica

Nodo Ind.	Pressione minima			Pressione massima		
	Cont.	uz	Valore	Cont.	uz	Valore
433	SLU 148	-0.0008927	-26.781	SLU 4	-0.0004867	-14.6
437	SLU 146	-0.0008103	-24.308	SLU 5	-0.0004433	-13.299
438	SLU 146	-0.0006627	-19.882	SLU 2	-0.0003647	-10.94
439	SLU 146	-0.0005957	-17.872	SLU 2	-0.0003285	-9.855
440	SLU 146	-0.0005856	-17.569	SLU 2	-0.0003224	-9.671
441	SLU 146	-0.0006287	-18.86	SLU 2	-0.0003436	-10.307
442	SLU 146	-0.0007235	-21.704	SLU 2	-0.0003907	-11.721
443	SLU 146	-0.0010499	-31.497	SLU 5	-0.00057	-17.1
444	SLU 146	-0.0008399	-25.196	SLU 2	-0.0004481	-13.443
445	SLU 146	-0.0012781	-38.343	SLU 5	-0.0006903	-20.708
447	SLU 148	-0.0009159	-27.478	SLU 4	-0.0004969	-14.906
448	SLU 146	-0.0008908	-26.724	SLU 2	-0.0004889	-14.666
449	SLU 148	-0.0009145	-27.435	SLU 4	-0.0004963	-14.889
452	SLU 146	-0.0009287	-27.86	SLU 2	-0.0004913	-14.738
456	SLU 146	-0.0009219	-27.656	SLU 2	-0.0004883	-14.648
457	SLU 146	-0.0008875	-26.626	SLU 2	-0.000471	-14.131
460	SLU 146	-0.0008743	-26.228	SLU 2	-0.0004638	-13.913
462	SLU 146	-0.0008735	-26.206	SLU 2	-0.0004634	-13.903
465	SLU 146	-0.0008703	-26.11	SLU 2	-0.0004633	-13.898
466	SLU 146	-0.0008681	-26.043	SLU 2	-0.0004643	-13.929
468	SLU 146	-0.0008665	-25.995	SLU 2	-0.0004666	-13.997
471	SLU 146	-0.0008748	-26.245	SLU 2	-0.0004752	-14.256
475	SLU 146	-0.0013623	-40.87	SLU 5	-0.0007341	-22.023
476	SLU 146	-0.000993	-29.791	SLU 2	-0.0005383	-16.149
477	SLU 148	-0.0009057	-27.171	SLU 4	-0.000495	-14.85
478	SLU 146	-0.0009104	-27.313	SLU 2	-0.0004982	-14.945
479	SLU 148	-0.0009019	-27.057	SLU 4	-0.0004907	-14.72
480	SLU 148	-0.000904	-27.12	SLU 4	-0.0004927	-14.781
481	SLU 146	-0.0008858	-26.573	SLU 2	-0.0004809	-14.426
482	SLU 146	-0.000919	-27.571	SLU 2	-0.0005018	-15.055
483	SLU 146	-0.0008115	-24.344	SLU 2	-0.000441	-13.229
484	SLU 146	-0.0008803	-26.41	SLU 2	-0.0004704	-14.112
485	SLU 146	-0.0009224	-27.671	SLU 2	-0.0005017	-15.052
486	SLU 146	-0.0007852	-23.555	SLU 2	-0.0004264	-12.793
488	SLU 146	-0.0009679	-29.037	SLU 2	-0.0005113	-15.34
489	SLU 146	-0.0008016	-24.047	SLU 2	-0.000434	-13.02
490	SLU 146	-0.0011834	-35.503	SLU 2	-0.0006382	-19.147
491	SLU 146	-0.0008776	-26.328	SLU 2	-0.0004716	-14.149
492	SLU 146	-0.0009886	-29.658	SLU 2	-0.0005241	-15.723
494	SLU 146	-0.0013814	-41.441	SLU 2	-0.000742	-22.259
495	SLU 146	-0.0009471	-28.412	SLU 2	-0.0005084	-15.251
496	SLU 146	-0.000966	-28.979	SLU 2	-0.0005113	-15.339
498	SLU 146	-0.0009477	-28.432	SLU 2	-0.0005083	-15.25
499	SLU 146	-0.0009927	-29.78	SLU 2	-0.0005292	-15.875
500	SLU 146	-0.00097	-29.101	SLU 2	-0.0005136	-15.407
501	SLU 146	-0.0009828	-29.484	SLU 2	-0.0005219	-15.656
502	SLU 146	-0.0009965	-29.894	SLU 2	-0.000534	-16.02
503	SLU 146	-0.0010052	-30.157	SLU 2	-0.0005409	-16.226
504	SLU 146	-0.0010438	-31.315	SLU 2	-0.0005634	-16.903
505	SLU 146	-0.0012046	-36.139	SLU 2	-0.0006466	-19.399
506	SLU 146	-0.0010912	-32.736	SLU 2	-0.000577	-17.31
507	SLU 146	-0.0011298	-33.894	SLU 2	-0.0005969	-17.908
508	SLU 146	-0.0011373	-34.119	SLU 2	-0.0006012	-18.037
510	SLU 146	-0.0009559	-28.678	SLU 2	-0.0005112	-15.335
511	SLU 146	-0.0013487	-40.461	SLU 2	-0.0007224	-21.671
512	SLU 148	-0.0010484	-31.452	SLU 4	-0.0005642	-16.927
513	SLU 146	-0.0014958	-44.873	SLU 2	-0.0007997	-23.991
514	SLU 146	-0.0010925	-32.774	SLU 2	-0.0005875	-17.626
515	SLU 146	-0.0009975	-29.925	SLU 2	-0.0005361	-16.082
516	SLU 146	-0.0011561	-34.684	SLU 2	-0.0006203	-18.61
517	SLU 146	-0.001139	-34.17	SLU 2	-0.0006056	-18.169
518	SLU 146	-0.0011338	-34.013	SLU 2	-0.0006081	-18.242
519	SLU 146	-0.0011161	-33.484	SLU 2	-0.0005989	-17.967
520	SLU 146	-0.0011319	-33.956	SLU 2	-0.0006064	-18.192
521	SLU 146	-0.0011565	-34.694	SLU 2	-0.0006182	-18.545
522	SLU 146	-0.0009892	-29.676	SLU 2	-0.0005228	-15.683
523	SLU 146	-0.0011525	-34.574	SLU 2	-0.0006161	-18.483
524	SLU 146	-0.0012129	-36.387	SLU 2	-0.0006423	-19.27
526	SLU 146	-0.0015024	-45.071	SLU 2	-0.0008019	-24.057
527	SLU 146	-0.0011416	-34.248	SLU 2	-0.0006036	-18.108
528	SLU 146	-0.0009898	-29.695	SLU 2	-0.0005226	-15.677
530	SLU 146	-0.0011842	-35.527	SLU 2	-0.0006308	-18.924
531	SLU 146	-0.0011894	-35.681	SLU 2	-0.0006318	-18.954
532	SLU 146	-0.0012254	-36.762	SLU 2	-0.0006527	-19.581
533	SLU 146	-0.0011789	-35.367	SLU 2	-0.0006248	-18.743
534	SLU 146	-0.001157	-34.711	SLU 2	-0.0006123	-18.368
535	SLU 146	-0.0011795	-35.386	SLU 2	-0.0006237	-18.71
536	SLU 146	-0.0013742	-41.226	SLU 2	-0.0007263	-21.788
538	SLU 146	-0.0010375	-31.124	SLU 2	-0.0005401	-16.203
543	SLU 146	-0.0016551	-49.652	SLU 2	-0.0008777	-26.331
546	SLU 146	-0.0016447	-49.342	SLU 2	-0.0008724	-26.172
549	SLU 146	-0.0016092	-48.277	SLU 2	-0.0008542	-25.625
550	SLU 146	-0.0015986	-47.958	SLU 2	-0.0008489	-25.466
553	SLU 146	-0.0015975	-47.924	SLU 2	-0.0008485	-25.455
554	SLU 146	-0.0015937	-47.812	SLU 2	-0.0008465	-25.394
556	SLU 146	-0.0015824	-47.471	SLU 2	-0.0008401	-25.202
558	SLU 146	-0.001562	-46.859	SLU 2	-0.0008285	-24.854
560	SLU 146	-0.0015348	-46.044	SLU 2	-0.0008129	-24.386
562	SLU 146	-0.0015051	-45.153	SLU 2	-0.0007957	-23.871
564	SLU 146	-0.0014812	-44.436	SLU 2	-0.0007819	-23.457
569	SLU 146	-0.0014551	-43.653	SLU 2	-0.0007678	-23.034
570	SLU 146	-0.0014265	-42.795	SLU 2	-0.0007529	-22.587
572	SLU 146	-0.0013778	-41.335	SLU 2	-0.0007276	-21.827
574	SLU 146	-0.0013968	-41.904	SLU 2	-0.0007377	-22.13
577	SLU 146	-0.0014329	-42.986	SLU 2	-0.0007569	-22.707
579	SLU 146	-0.0014332	-42.997	SLU 2	-0.0007576	-22.727
580	SLU 146	-0.0014222	-42.665	SLU 2	-0.0007522	-22.566
583	SLU 146	-0.0014082	-42.247	SLU 2	-0.0007451	-22.354

Nodo Ind.	Pressione minima			Pressione massima		
	Cont.	uz	Valore	Cont.	uz	Valore
584	SLU 146	-0.0013921	-41.762	SLU 2	-0.0007368	-22.103
586	SLU 146	-0.0013737	-41.211	SLU 2	-0.0007272	-21.817
589	SLU 146	-0.0013435	-40.306	SLU 2	-0.0007115	-21.346
590	SLU 146	-0.0012679	-38.038	SLU 2	-0.0006714	-20.141
593	SLU 146	-0.0011054	-33.161	SLU 2	-0.0005823	-17.47
594	SLU 146	-0.0010216	-30.648	SLU 2	-0.0005333	-15.999
599	SLU 146	-0.0010377	-31.132	SLU 2	-0.0005395	-16.186
600	SLU 146	-0.0016891	-50.673	SLU 2	-0.0008945	-26.834
601	SLU 146	-0.0016813	-50.44	SLU 2	-0.0008906	-26.717
602	SLU 146	-0.0016669	-50.006	SLU 2	-0.0008834	-26.501
603	SLU 146	-0.001676	-50.281	SLU 2	-0.0008886	-26.658
604	SLU 146	-0.0016877	-50.63	SLU 2	-0.0008951	-26.852
605	SLU 146	-0.0016895	-50.685	SLU 2	-0.0008961	-26.882
606	SLU 146	-0.0016782	-50.345	SLU 2	-0.0008897	-26.692
607	SLU 146	-0.0016533	-49.6	SLU 2	-0.0008759	-26.277
608	SLU 146	-0.0016175	-48.526	SLU 2	-0.0008559	-25.676
609	SLU 146	-0.0015757	-47.272	SLU 2	-0.0008324	-24.973
610	SLU 146	-0.0015393	-46.178	SLU 2	-0.0008121	-24.362
611	SLU 146	-0.0015146	-45.438	SLU 2	-0.0007988	-23.965
612	SLU 146	-0.001487	-44.611	SLU 2	-0.0007845	-23.536
613	SLU 146	-0.0014365	-43.096	SLU 2	-0.0007583	-22.749
614	SLU 146	-0.0013872	-41.617	SLU 2	-0.0007325	-21.974
615	SLU 146	-0.0014593	-43.779	SLU 2	-0.0007701	-23.104
616	SLU 146	-0.0015	-44.999	SLU 2	-0.0007916	-23.747
617	SLU 146	-0.0014978	-44.934	SLU 2	-0.0007906	-23.718
618	SLU 146	-0.0014833	-44.5	SLU 2	-0.0007831	-23.494
619	SLU 146	-0.0014653	-43.96	SLU 2	-0.0007737	-23.211
620	SLU 146	-0.0014448	-43.345	SLU 2	-0.0007629	-22.886
621	SLU 146	-0.001421	-42.631	SLU 2	-0.0007505	-22.514
622	SLU 146	-0.0013707	-41.122	SLU 4	-0.0007239	-21.718
623	SLU 146	-0.0012444	-37.332	SLU 2	-0.0006563	-19.688
624	SLU 146	-0.0010935	-32.806	SLU 2	-0.0005728	-17.183
625	SLU 146	-0.0010307	-30.92	SLU 2	-0.0005355	-16.065
626	SLU 146	-0.0010464	-31.393	SLU 2	-0.0005422	-16.265
627	SLU 146	-0.0010551	-31.653	SLU 2	-0.0005461	-16.384

7.3 Pressioni terreno in SLV/SLVf/SLUEcc



Rappresentazione in pianta delle massime compressioni sul terreno in famiglie SLV/SLVf/SLUEcc.  
**Nodo:** Nodo che interagisce col terreno.  
**Ind.:** indice del nodo.

**Pressione minima:** situazione in cui si verifica la pressione minima nel nodo.

**Cont.:** nome breve della condizione o combinazione di carico a cui si riferisce la pressione minima.

**uz:** spostamento massimo verticale del nodo. [m]

**Valore:** pressione minima sul terreno del nodo. [kN/m²]

**Pressione massima:** situazione in cui si verifica la pressione massima nel nodo.

**Cont.:** nome breve della condizione o combinazione di carico a cui si riferisce la pressione massima.

**uz:** spostamento minimo verticale del nodo. [m]

**Valore:** pressione massima sul terreno del nodo. [kN/m²]

Compressione estrema massima -38.712 al nodo di indice 2, di coordinate x = 5.28, y = -12.01, z = -0.13, nel contesto SLV 1.

Spostamento estremo minimo -0.0012904 al nodo di indice 2, di coordinate x = 5.28, y = -12.01, z = -0.13, nel contesto SLV 1.

Spostamento estremo massimo -0.0003183 al nodo di indice 387, di coordinate x = 8.84, y = -2.82, z = -0.13, nel contesto SLV 7.

Nodo Ind.	Cont.	Pressione minima		Pressione massima	
		uz	Valore	uz	Valore
2	SLV 1	-0.0012904	-38.712	-0.000725	-21.751
3	SLV 1	-0.001269	-38.071	-0.0007325	-21.975
4	SLV 5	-0.0012136	-36.409	-0.0007562	-22.686
5	SLV 1	-0.0012347	-37.04	-0.0007091	-21.273
6	SLV 1	-0.0012269	-36.808	-0.0007151	-21.454
10	SLV 5	-0.0011855	-35.564	-0.0007728	-23.183
12	SLV 1	-0.0011523	-34.57	-0.0007299	-21.897
13	SLV 5	-0.0011625	-34.874	-0.0007902	-23.706
15	SLV 5	-0.0011033	-33.098	-0.0007339	-22.018
16	SLV 5	-0.0011369	-34.108	-0.0008007	-24.022
18	SLV 5	-0.0010675	-32.025	-0.0007398	-22.194
20	SLV 1	-0.0011073	-33.218	-0.0006797	-20.391
21	SLV 1	-0.0011044	-33.133	-0.0006759	-20.278
22	SLV 5	-0.0011057	-33.171	-0.0008025	-24.076
24	SLV 5	-0.001037	-31.111	-0.000744	-22.319
25	SLV 1	-0.0009711	-29.134	-0.0006511	-19.532
26	SLV 9	-0.0010671	-32.014	-0.0007872	-23.617
27	SLV 5	-0.0010081	-30.244	-0.0007444	-22.331
30	SLV 1	-0.0010041	-30.122	-0.0006502	-19.505
31	SLV 9	-0.0009779	-29.337	-0.0007326	-21.978
33	SLV 9	-0.0010128	-30.384	-0.0007283	-21.85
34	SLV 5	-0.0008064	-24.193	-0.0005943	-17.829
35	SLV 5	-0.0007717	-23.151	-0.0005869	-17.606
36	SLV 9	-0.000938	-28.141	-0.0006857	-20.57
38	SLV 9	-0.0009504	-28.511	-0.0006251	-18.753
39	SLV 1	-0.0008212	-24.637	-0.0005829	-17.488
40	SLV 1	-0.0009868	-29.605	-0.0006493	-19.478
41	SLV 5	-0.0007495	-22.484	-0.0005854	-17.563
42	SLV 9	-0.0008972	-26.917	-0.0006025	-18.076
44	SLV 9	-0.0008735	-26.205	-0.0006205	-18.615
45	SLV 9	-0.0009301	-27.903	-0.0005863	-17.589
46	SLV 9	-0.0007876	-23.629	-0.0006098	-18.294
47	SLV 1	-0.0009127	-27.38	-0.000625	-18.75
49	SLV 9	-0.0007075	-21.224	-0.0005676	-17.029
50	SLV 1	-0.0006645	-19.934	-0.0005151	-15.454
54	SLV 9	-0.0008941	-26.823	-0.0005771	-17.314
55	SLV 9	-0.0009199	-27.598	-0.0005772	-17.315
56	SLV 5	-0.0005825	-17.475	-0.000485	-14.549
57	SLV 9	-0.0007444	-22.331	-0.0005669	-17.006
58	SLV 5	-0.0005614	-16.843	-0.0004707	-14.12
60	SLV 9	-0.0008907	-26.72	-0.0005725	-17.174
61	SLV 9	-0.0008945	-26.834	-0.0005608	-16.824
62	SLV 1	-0.0007265	-21.794	-0.000543	-16.291
63	SLV 9	-0.0008158	-24.473	-0.0005583	-16.75
64	SLV 9	-0.0008648	-25.943	-0.0005422	-16.267
65	SLV 5	-0.000526	-15.78	-0.0004566	-13.698
66	SLV 9	-0.0007403	-22.209	-0.0005399	-16.196
67	SLV 9	-0.0008679	-26.036	-0.0005574	-16.723
69	SLV 1	-0.000886	-26.58	-0.0006273	-18.819
71	SLV 1	-0.0008465	-25.394	-0.0006073	-18.22
72	SLV 9	-0.0006088	-18.265	-0.0005002	-15.007
73	SLV 9	-0.000823	-24.689	-0.0005608	-16.825
75	SLV 9	-0.0008561	-25.682	-0.0005319	-15.958
76	SLV 9	-0.000857	-25.709	-0.0005315	-15.946
77	SLV 1	-0.000561	-16.829	-0.0004638	-13.915
78	SLV 5	-0.000445	-13.35	-0.000409	-12.271
80	SLV 9	-0.0008343	-25.03	-0.0005303	-15.908
81	SLV 9	-0.0007412	-22.236	-0.0005353	-16.058
82	SLV 9	-0.0004841	-14.523	-0.0004308	-12.924
83	SLV 9	-0.0008135	-24.406	-0.0005534	-16.601
86	SLV 9	-0.000835	-25.05	-0.0005295	-15.885
87	SLV 9	-0.0005935	-17.805	-0.0004796	-14.388
88	SLV 9	-0.0008625	-25.874	-0.0005402	-16.207
89	SLV 1	-0.0006611	-19.834	-0.0005198	-15.594
90	SLV 9	-0.0007963	-23.89	-0.0005412	-16.237
91	SLV 9	-0.0007623	-22.868	-0.0005495	-16.485
94	SLV 9	-0.0008362	-25.087	-0.0005344	-16.031
95	SLV 1	-0.000443	-13.289	-0.0004054	-12.162
96	SLV 9	-0.0007773	-23.32	-0.0005541	-16.622
98	SLV 1	-0.000782	-23.46	-0.0005913	-17.739
99	SLV 9	-0.0008662	-25.986	-0.0005454	-16.363
100	SLV 9	-0.0007931	-23.792	-0.0005264	-15.791
101	SLV 9	-0.0007778	-23.335	-0.000529	-15.87
102	SLV 9	-0.0006247	-18.742	-0.0004914	-14.741
103	SLV 9	-0.0004756	-14.267	-0.0004214	-12.643
104	SLV 9	-0.0003977	-11.93	-0.000383	-11.49
105	SLV 9	-0.000834	-25.02	-0.0005372	-16.116
107	SLV 9	-0.0006981	-20.942	-0.0005271	-15.812
108	SLV 1	-0.000803	-24.091	-0.0006086	-18.257
109	SLV 9	-0.0008705	-26.116	-0.0005428	-16.285
110	SLV 9	-0.0007459	-22.378	-0.0005416	-16.249
112	SLV 9	-0.0007724	-23.171	-0.0005241	-15.724
113	SLV 9	-0.0008332	-24.997	-0.0005353	-16.06

## Relazione geotecnica

Nodo		Pressione minima		Pressione massima		
Ind.	Cont.	uz	Valore	Cont.	uz	Valore
115	SLV 1	-0.0006448	-19.344	SLV 15	-0.0005223	-15.668
116	SLV 1	-0.0005117	-15.352	SLV 15	-0.0004462	-13.385
118	SLV 9	-0.0007123	-21.369	SLV 7	-0.0005422	-16.267
119	SLV 9	-0.000738	-22.14	SLV 7	-0.0005323	-15.969
120	SLV 3	-0.0003826	-11.477	SLV 13	-0.0003757	-11.271
121	SLV 9	-0.0005034	-15.101	SLV 7	-0.0004358	-13.073
122	SLV 9	-0.0008764	-26.293	SLV 7	-0.0005328	-15.985
123	SLV 9	-0.0007529	-22.588	SLV 7	-0.0005227	-15.682
124	SLV 9	-0.0008355	-25.064	SLV 7	-0.0005293	-15.878
126	SLV 13	-0.0003977	-11.932	SLV 3	-0.0003794	-11.382
127	SLV 9	-0.0007461	-22.384	SLV 7	-0.0005169	-15.507
128	SLV 9	-0.0006442	-19.327	SLV 7	-0.000513	-15.391
130	SLV 1	-0.0007319	-21.958	SLV 15	-0.0005798	-17.393
131	SLV 3	-0.0004206	-12.619	SLV 13	-0.0003973	-11.919
133	SLV 13	-0.0008426	-25.279	SLV 3	-0.0005168	-15.504
134	SLV 13	-0.0008939	-26.818	SLV 3	-0.0005036	-15.108
135	SLV 9	-0.0005518	-16.553	SLV 7	-0.0004685	-14.055
136	SLV 9	-0.0004252	-12.755	SLV 7	-0.0003978	-11.934
137	SLV 1	-0.0005909	-17.728	SLV 15	-0.0005026	-15.077
138	SLV 9	-0.00067	-20.101	SLV 7	-0.0005369	-16.107
142	SLV 9	-0.000688	-20.639	SLV 7	-0.0005404	-16.213
145	SLV 9	-0.0006908	-20.724	SLV 7	-0.0005313	-15.938
146	SLV 9	-0.0007022	-21.067	SLV 7	-0.0005244	-15.731
150	SLV 9	-0.0007139	-21.418	SLV 7	-0.0005189	-15.566
152	SLV 13	-0.0008602	-25.806	SLV 3	-0.0004908	-14.725
153	SLV 13	-0.0009121	-27.363	SLV 3	-0.0004663	-13.99
154	SLV 9	-0.000683	-20.49	SLV 7	-0.0004982	-14.945
155	SLV 1	-0.0007396	-22.187	SLV 15	-0.0005935	-17.805
156	SLV 15	-0.0003834	-11.501	SLV 1	-0.0003703	-11.11
158	SLV 13	-0.0008784	-26.351	SLV 3	-0.000462	-13.859
159	SLV 9	-0.0006024	-18.072	SLV 7	-0.0005066	-15.197
160	SLV 9	-0.0004693	-14.08	SLV 7	-0.0004278	-12.833
161	SLV 1	-0.0007008	-21.023	SLV 15	-0.0005735	-17.204
163	SLV 9	-0.0006761	-20.283	SLV 7	-0.0005059	-15.177
164	SLV 9	-0.0006726	-20.177	SLV 7	-0.0004883	-14.649
165	SLV 13	-0.0009293	-27.879	SLV 3	-0.0004329	-12.988
166	SLV 7	-0.0004104	-12.313	SLV 9	-0.0003949	-11.848
167	SLV 3	-0.0004788	-14.363	SLV 13	-0.0004405	-13.215
168	SLV 15	-0.0004012	-12.036	SLV 1	-0.0003818	-11.453
172	SLV 13	-0.0008964	-26.892	SLV 3	-0.0004036	-13.08
173	SLV 9	-0.0006785	-20.356	SLV 7	-0.0004826	-14.478
174	SLV 9	-0.0006351	-19.054	SLV 7	-0.0005316	-15.947
176	SLV 9	-0.0006426	-19.279	SLV 7	-0.0005347	-16.041
177	SLV 9	-0.0006475	-19.426	SLV 7	-0.0005197	-15.59
178	SLV 13	-0.0004292	-12.875	SLV 3	-0.0004027	-12.08
179	SLV 13	-0.0007098	-21.293	SLV 3	-0.0004731	-14.194
180	SLV 9	-0.0005248	-15.745	SLV 7	-0.0004691	-14.074
181	SLV 13	-0.0007549	-22.648	SLV 3	-0.0004063	-13.891
182	SLV 9	-0.0006331	-18.994	SLV 7	-0.0005248	-15.743
184	SLV 9	-0.000657	-19.711	SLV 7	-0.0005137	-15.412
185	SLV 1	-0.0005798	-17.395	SLV 15	-0.0005094	-15.281
186	SLV 9	-0.0005777	-17.332	SLV 7	-0.0005086	-15.258
187	SLV 9	-0.0006314	-18.942	SLV 7	-0.0005138	-15.415
188	SLV 13	-0.000851	-25.531	SLV 3	-0.0004308	-12.925
189	SLV 9	-0.000605	-18.149	SLV 7	-0.0005028	-15.839
191	SLV 9	-0.0006062	-18.186	SLV 7	-0.000495	-14.85
192	SLV 1	-0.0006987	-20.96	SLV 15	-0.0005841	-17.524
193	SLV 9	-0.0005765	-17.295	SLV 7	-0.0004742	-14.225
194	SLV 9	-0.000603	-18.089	SLV 7	-0.0005266	-15.798
196	SLV 1	-0.0006746	-20.237	SLV 15	-0.0005705	-17.114
197	SLV 3	-0.0004397	-13.19	SLV 13	-0.0004235	-12.705
198	SLV 13	-0.0007321	-21.964	SLV 3	-0.0004483	-13.45
199	SLV 13	-0.0004669	-14.007	SLV 3	-0.0004343	-13.03
200	SLV 15	-0.000427	-12.809	SLV 1	-0.0004006	-12.181
201	SLV 9	-0.0005986	-17.958	SLV 7	-0.0005116	-15.347
202	SLV 3	-0.0004768	-14.303	SLV 13	-0.0004507	-13.522
203	SLV 13	-0.0004336	-13.009	SLV 3	-0.0004061	-12.182
204	SLV 9	-0.0005689	-17.068	SLV 7	-0.0004642	-13.925
205	SLV 3	-0.0005289	-15.866	SLV 13	-0.0004838	-14.514
207	SLV 13	-0.000793	-23.79	SLV 3	-0.0004373	-13.119
208	SLV 13	-0.0006401	-19.204	SLV 3	-0.0004565	-13.696
209	SLV 9	-0.0005862	-17.586	SLV 7	-0.0005164	-15.491
210	SLV 9	-0.0005231	-15.693	SLV 7	-0.0004848	-14.543
211	SLV 9	-0.0006095	-18.284	SLV 7	-0.0005121	-15.363
213	SLV 13	-0.000579	-17.369	SLV 3	-0.0004596	-13.788
214	SLV 9	-0.0005658	-16.975	SLV 7	-0.0005174	-15.521
215	SLV 9	-0.0005796	-17.387	SLV 7	-0.0005265	-15.795
217	SLV 13	-0.0007872	-23.616	SLV 3	-0.0004372	-13.117
218	SLV 5	-0.0005817	-17.45	SLV 11	-0.0005096	-15.288
219	SLV 1	-0.0005685	-17.054	SLV 15	-0.0005201	-15.603
220	SLV 13	-0.0007514	-22.542	SLV 3	-0.0004419	-13.258
222	SLV 9	-0.0005738	-17.213	SLV 7	-0.0005061	-15.182
223	SLV 9	-0.0005491	-16.472	SLV 7	-0.0004916	-14.747
224	SLV 1	-0.0005552	-16.656	SLV 15	-0.0005047	-15.141
225	SLV 9	-0.0005327	-15.98	SLV 7	-0.0004744	-14.232
226	SLV 3	-0.000684	-20.521	SLV 13	-0.0005816	-17.448
230	SLV 3	-0.0006668	-20.005	SLV 13	-0.0005713	-17.139
231	SLV 3	-0.0005883	-17.65	SLV 13	-0.0005252	-15.755
234	SLV 3	-0.0005287	-15.86	SLV 13	-0.0004906	-14.718
235	SLV 3	-0.0004869	-14.608	SLV 13	-0.0004648	-13.944
237	SLV 3	-0.0004608	-13.825	SLV 13	-0.0004411	-13.233
240	SLV 13	-0.0004476	-13.427	SLV 3	-0.0004198	-12.594
241	SLV 13	-0.0004548	-13.644	SLV 3	-0.0004214	-12.642
243	SLV 13	-0.0004869	-14.607	SLV 3	-0.0004552	-13.657
246	SLV 1	-0.0005318	-15.954	SLV 15	-0.0004981	-14.944
250	SLV 1	-0.0005634	-16.903	SLV 15	-0.0005022	-15.659
251	SLV 13	-0.0006687	-20.062	SLV 3	-0.0004536	-13.609
252	SLV 13	-0.0006103	-18.308	SLV 3	-0.0004603	-13.809

## Relazione geotecnica

Nodo		Pressione minima			Pressione massima		
Ind.	Cont.	uz	Valore	Cont.	uz	Valore	
253	SLV 9	-0.0005276	-15.827	SLV 7	-0.0004655	-13.966	
255	SLV 1	-0.0005762	-17.286	SLV 15	-0.0005135	-15.404	
256	SLV 13	-0.0005638	-16.914	SLV 3	-0.0004623	-13.87	
257	SLV 13	-0.0007371	-22.112	SLV 3	-0.0004426	-13.278	
259	SLV 13	-0.0007179	-21.536	SLV 3	-0.0004449	-13.348	
260	SLV 13	-0.000534	-16.02	SLV 3	-0.0004632	-13.897	
261	SLV 13	-0.0006763	-20.29	SLV 3	-0.0004515	-13.544	
262	SLV 1	-0.0005556	-16.667	SLV 15	-0.0004997	-14.991	
263	SLV 3	-0.0005476	-16.427	SLV 13	-0.0005078	-15.235	
264	SLV 15	-0.0004641	-13.923	SLV 1	-0.0004354	-13.062	
265	SLV 13	-0.0007017	-21.051	SLV 3	-0.0004431	-13.294	
266	SLV 15	-0.0004276	-12.827	SLV 1	-0.0004017	-12.05	
267	SLV 3	-0.0005251	-15.753	SLV 13	-0.0004842	-14.527	
268	SLV 13	-0.0004231	-12.694	SLV 3	-0.000404	-12.121	
271	SLV 1	-0.0005629	-16.886	SLV 15	-0.000505	-15.15	
273	SLV 1	-0.0005428	-16.285	SLV 15	-0.0005086	-15.258	
276	SLV 9	-0.0005238	-15.715	SLV 7	-0.0004964	-14.891	
278	SLV 13	-0.0005129	-15.386	SLV 3	-0.0004745	-14.235	
280	SLV 13	-0.0005086	-15.257	SLV 3	-0.0004654	-13.961	
282	SLV 13	-0.0005234	-15.703	SLV 3	-0.0004666	-13.997	
284	SLV 13	-0.0005503	-16.509	SLV 3	-0.0004689	-14.066	
285	SLV 13	-0.0005802	-17.405	SLV 3	-0.0004657	-13.972	
287	SLV 13	-0.0006118	-18.355	SLV 3	-0.0004587	-13.761	
289	SLV 13	-0.0006469	-19.408	SLV 3	-0.0004508	-13.523	
291	SLV 13	-0.0006863	-20.588	SLV 3	-0.0004441	-13.322	
294	SLV 3	-0.0004727	-14.182	SLV 13	-0.0004504	-13.511	
295	SLV 1	-0.0004376	-13.128	SLV 15	-0.0004238	-12.715	
297	SLV 3	-0.0006743	-20.229	SLV 13	-0.0005784	-17.351	
298	SLV 3	-0.0005378	-16.135	SLV 13	-0.0004893	-14.678	
300	SLV 3	-0.0005502	-16.506	SLV 13	-0.0005096	-15.288	
301	SLV 3	-0.0006979	-20.938	SLV 13	-0.0005935	-17.804	
302	SLV 3	-0.0005743	-17.23	SLV 13	-0.0005126	-15.379	
303	SLV 13	-0.0005092	-15.277	SLV 3	-0.0004619	-13.856	
304	SLV 3	-0.0005471	-16.414	SLV 13	-0.0004872	-14.615	
305	SLV 7	-0.0004927	-14.782	SLV 9	-0.0004554	-13.662	
306	SLV 13	-0.0004888	-14.665	SLV 3	-0.0004577	-13.73	
308	SLV 13	-0.0006637	-19.911	SLV 3	-0.0004398	-13.193	
309	SLV 13	-0.0006211	-18.634	SLV 3	-0.0004421	-13.262	
310	SLV 13	-0.0005181	-15.542	SLV 3	-0.0004601	-13.804	
311	SLV 13	-0.000482	-14.461	SLV 3	-0.0004596	-13.787	
312	SLV 7	-0.0005493	-16.478	SLV 9	-0.000489	-14.671	
313	SLV 15	-0.000415	-12.449	SLV 1	-0.0003934	-11.802	
314	SLV 15	-0.0004861	-14.582	SLV 1	-0.0004705	-14.114	
315	SLV 13	-0.0006735	-20.204	SLV 3	-0.0004038	-13.14	
316	SLV 13	-0.0005742	-17.226	SLV 3	-0.0004461	-13.383	
317	SLV 13	-0.0003797	-11.392	SLV 3	-0.0003645	-10.934	
319	SLV 7	-0.0005545	-16.636	SLV 9	-0.0004905	-14.715	
320	SLV 7	-0.000506	-15.179	SLV 9	-0.0004797	-14.39	
321	SLV 9	-0.0003752	-11.255	SLV 7	-0.0003634	-10.903	
322	SLV 1	-0.0003958	-11.873	SLV 15	-0.0003865	-11.595	
323	SLV 13	-0.0005292	-15.877	SLV 3	-0.0004526	-13.579	
324	SLV 3	-0.0004636	-13.909	SLV 13	-0.0004356	-13.069	
325	SLV 7	-0.0005397	-16.192	SLV 9	-0.0004821	-14.464	
326	SLV 3	-0.0007	-21	SLV 13	-0.0005914	-17.743	
328	SLV 13	-0.0006164	-18.491	SLV 3	-0.0004374	-13.122	
329	SLV 7	-0.0005638	-16.915	SLV 9	-0.0004849	-14.548	
331	SLV 3	-0.0007364	-22.091	SLV 13	-0.0006144	-18.433	
332	SLV 13	-0.0004747	-14.241	SLV 3	-0.0004505	-13.514	
333	SLV 7	-0.0005487	-16.462	SLV 9	-0.0004638	-13.915	
334	SLV 13	-0.0006534	-19.602	SLV 3	-0.0004358	-13.075	
336	SLV 7	-0.0005564	-16.692	SLV 9	-0.0004703	-14.108	
337	SLV 11	-0.0004657	-13.97	SLV 5	-0.0004457	-13.371	
338	SLV 11	-0.0004608	-13.825	SLV 5	-0.0004452	-13.357	
339	SLV 13	-0.0004863	-14.588	SLV 3	-0.0004524	-13.573	
340	SLV 13	-0.0005705	-17.114	SLV 3	-0.0004384	-13.151	
341	SLV 3	-0.0005739	-17.216	SLV 13	-0.0005052	-15.156	
342	SLV 7	-0.000427	-12.809	SLV 9	-0.0003906	-11.719	
343	SLV 13	-0.0006526	-19.579	SLV 3	-0.0004344	-13.032	
345	SLV 7	-0.0005133	-15.4	SLV 9	-0.0004475	-13.424	
346	SLV 13	-0.0006659	-19.976	SLV 3	-0.0004328	-12.984	
347	SLV 15	-0.0003634	-10.901	SLV 1	-0.0003503	-10.509	
348	SLV 7	-0.0005664	-16.993	SLV 9	-0.0004633	-13.9	
350	SLV 7	-0.0004819	-14.457	SLV 9	-0.0004361	-13.084	
351	SLV 13	-0.0003353	-10.059	SLV 3	-0.0003255	-9.766	
352	SLV 7	-0.0005745	-17.236	SLV 9	-0.0004636	-13.908	
353	SLV 3	-0.0007298	-21.894	SLV 13	-0.000604	-18.119	
355	SLV 13	-0.0005202	-15.607	SLV 3	-0.0004452	-13.356	
356	SLV 9	-0.0003422	-10.266	SLV 7	-0.0003296	-9.889	
357	SLV 7	-0.000506	-15.179	SLV 9	-0.0004283	-12.85	
358	SLV 13	-0.0005959	-17.878	SLV 3	-0.0004365	-13.096	
359	SLV 1	-0.0003801	-11.402	SLV 15	-0.0003702	-11.105	
360	SLV 13	-0.0004855	-14.566	SLV 3	-0.0004549	-13.647	
361	SLV 3	-0.000472	-14.159	SLV 13	-0.0004322	-12.967	
362	SLV 15	-0.0004699	-14.098	SLV 1	-0.0004524	-13.571	
363	SLV 7	-0.0004667	-14	SLV 9	-0.0004374	-13.123	
364	SLV 7	-0.000571	-17.131	SLV 9	-0.0004464	-13.392	
365	SLV 13	-0.000551	-16.529	SLV 3	-0.0004418	-13.253	
366	SLV 7	-0.0005502	-16.507	SLV 9	-0.0004408	-13.225	
367	SLV 7	-0.0004702	-14.105	SLV 9	-0.0004264	-12.792	
368	SLV 7	-0.0005912	-17.736	SLV 9	-0.0004627	-13.881	
370	SLV 3	-0.0007961	-23.882	SLV 13	-0.0006401	-19.203	
371	SLV 3	-0.0006087	-18.261	SLV 13	-0.000519	-15.569	
372	SLV 7	-0.0005776	-17.328	SLV 9	-0.0004036	-13.08	
373	SLV 7	-0.0005222	-15.665	SLV 9	-0.0004194	-12.581	
374	SLV 13	-0.0006758	-20.274	SLV 3	-0.0004267	-12.801	
376	SLV 7	-0.0005882	-17.646	SLV 9	-0.0004039	-13.169	
377	SLV 7	-0.0004145	-12.434	SLV 9	-0.0003621	-10.862	
379	SLV 3	-0.0007779	-23.336	SLV 13	-0.0006228	-18.683	

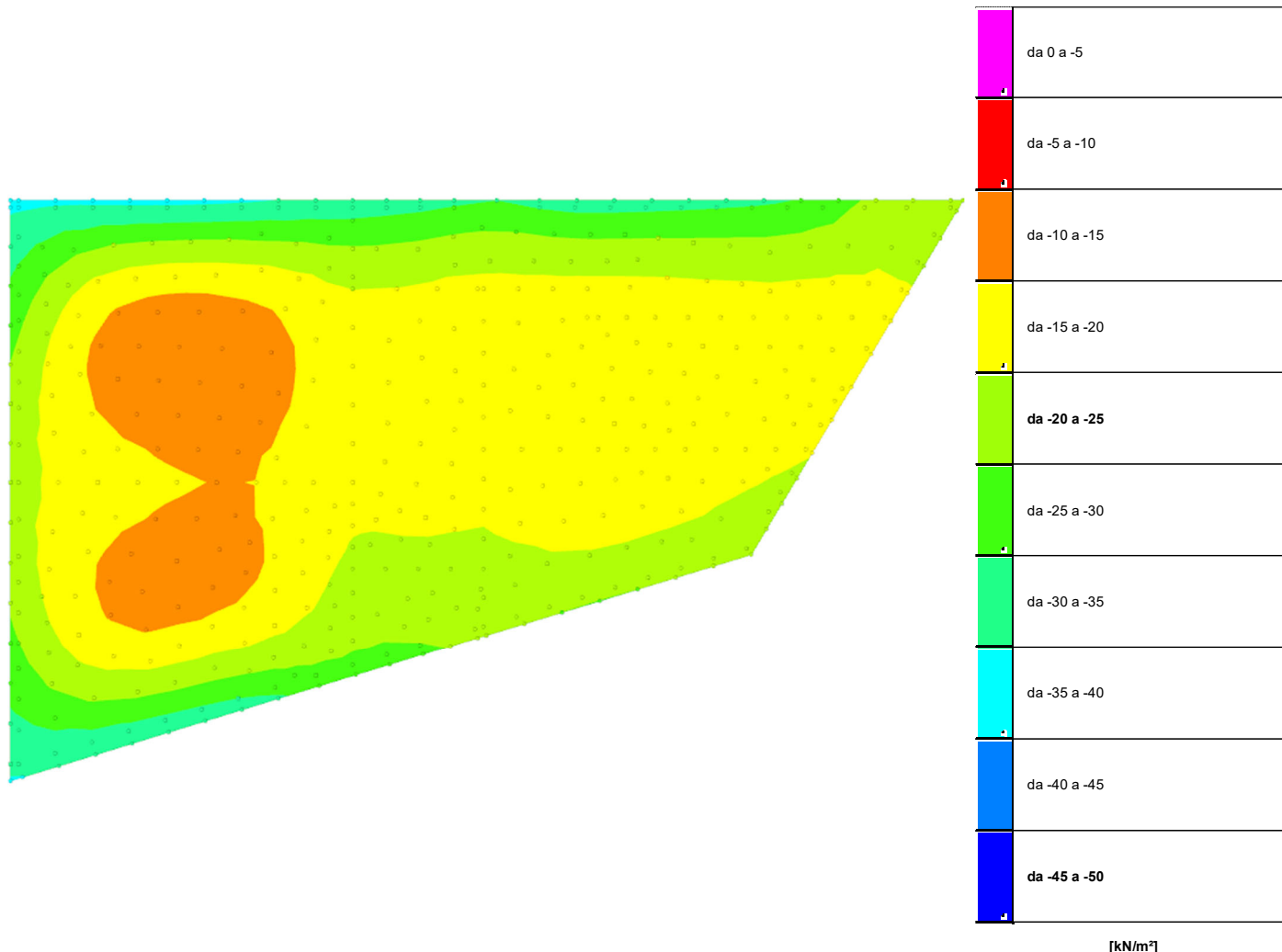
Relazione geotecnica

Nodo Ind.	Pressione minima			Pressione massima		
	Cont.	uz	Valore	Cont.	uz	Valore
380	SLV 13	-0.0006176	-18.527	SLV 3	-0.0004389	-13.168
381	SLV 11	-0.0003385	-10.154	SLV 5	-0.0003275	-9.825
382	SLV 13	-0.0006668	-20.039	SLV 3	-0.0004289	-12.867
384	SLV 15	-0.0005102	-15.306	SLV 1	-0.0004694	-14.082
385	SLV 13	-0.0005755	-17.266	SLV 3	-0.0004479	-13.437
386	SLV 15	-0.0005404	-16.211	SLV 1	-0.0004579	-13.737
387	SLV 9	-0.0003248	-9.744	SLV 7	-0.0003183	-9.549
388	SLV 7	-0.0005047	-15.142	SLV 9	-0.0004187	-12.561
389	SLV 3	-0.0005227	-15.68	SLV 13	-0.0004582	-13.745
390	SLV 1	-0.0003473	-10.418	SLV 15	-0.0003426	-10.277
391	SLV 11	-0.0004945	-14.834	SLV 5	-0.0004728	-14.185
392	SLV 3	-0.000421	-12.629	SLV 13	-0.0003925	-11.776
393	SLV 7	-0.0004956	-14.869	SLV 9	-0.0004555	-13.666
394	SLV 7	-0.0004947	-14.841	SLV 9	-0.0004389	-13.168
395	SLV 7	-0.0006113	-18.339	SLV 9	-0.0004418	-13.253
396	SLV 7	-0.0005401	-16.202	SLV 9	-0.0004132	-12.396
397	SLV 7	-0.0005088	-15.263	SLV 9	-0.0004308	-12.923
398	SLV 3	-0.0006559	-19.677	SLV 13	-0.0005386	-16.157
399	SLV 7	-0.0006043	-18.128	SLV 9	-0.0004214	-12.642
400	SLV 7	-0.0006319	-18.956	SLV 9	-0.0004443	-13.33
402	SLV 3	-0.0008755	-26.264	SLV 13	-0.0006703	-20.109
403	SLV 7	-0.0005906	-17.717	SLV 9	-0.0004149	-12.448
405	SLV 7	-0.0006186	-18.559	SLV 9	-0.0004215	-12.644
406	SLV 7	-0.0006135	-18.406	SLV 9	-0.0004256	-12.769
407	SLV 13	-0.0007008	-21.025	SLV 3	-0.0004155	-12.464
408	SLV 3	-0.0008406	-25.217	SLV 13	-0.0006467	-19.401
410	SLV 7	-0.0005601	-16.802	SLV 9	-0.0004199	-12.596
411	SLV 7	-0.0005504	-16.511	SLV 9	-0.0004343	-13.029
416	SLV 7	-0.0005436	-16.309	SLV 9	-0.0004399	-13.198
418	SLV 7	-0.000532	-15.959	SLV 9	-0.0004545	-13.635
420	SLV 7	-0.000535	-16.05	SLV 9	-0.0004735	-14.206
422	SLV 7	-0.0005355	-16.064	SLV 9	-0.0004952	-14.855
423	SLV 15	-0.0005368	-16.104	SLV 1	-0.0005046	-15.138
426	SLV 15	-0.0005593	-16.778	SLV 1	-0.0004893	-14.679
427	SLV 15	-0.0005855	-17.565	SLV 1	-0.0004724	-14.172
430	SLV 15	-0.0006161	-18.482	SLV 1	-0.0004557	-13.671
432	SLV 15	-0.0006517	-19.551	SLV 1	-0.0004386	-13.157
433	SLV 15	-0.0006934	-20.803	SLV 1	-0.0004196	-12.587
437	SLV 3	-0.0005451	-16.354	SLV 13	-0.0004652	-13.957
438	SLV 3	-0.000433	-12.99	SLV 13	-0.0003971	-11.913
439	SLV 7	-0.0003822	-11.465	SLV 9	-0.0003659	-10.978
440	SLV 7	-0.000378	-11.341	SLV 9	-0.0003573	-10.72
441	SLV 7	-0.0004183	-12.55	SLV 9	-0.0003687	-11.06
442	SLV 7	-0.0005042	-15.125	SLV 9	-0.0003967	-11.9
443	SLV 3	-0.0007284	-21.852	SLV 13	-0.0005724	-17.172
444	SLV 7	-0.0006109	-18.327	SLV 9	-0.0004295	-12.884
445	SLV 3	-0.0009054	-27.163	SLV 13	-0.0006715	-20.144
447	SLV 15	-0.0007345	-22.036	SLV 1	-0.0004038	-12.115
448	SLV 15	-0.0006061	-18.183	SLV 1	-0.0005036	-15.109
449	SLV 15	-0.0007275	-21.824	SLV 1	-0.000409	-12.27
452	SLV 7	-0.0006921	-20.762	SLV 9	-0.000454	-13.621
456	SLV 7	-0.0006802	-20.406	SLV 9	-0.000458	-13.741
457	SLV 7	-0.0006548	-19.644	SLV 9	-0.0004433	-13.299
460	SLV 7	-0.0006555	-19.664	SLV 9	-0.0004283	-12.848
462	SLV 7	-0.0006555	-19.665	SLV 9	-0.0004276	-12.827
465	SLV 7	-0.0006446	-19.338	SLV 9	-0.0004357	-13.07
466	SLV 7	-0.0006295	-18.885	SLV 9	-0.0004489	-13.466
468	SLV 7	-0.0006109	-18.328	SLV 9	-0.0004667	-14
471	SLV 7	-0.0005882	-17.645	SLV 9	-0.0005001	-15.004
475	SLV 3	-0.0009731	-29.194	SLV 13	-0.0007044	-21.133
476	SLV 3	-0.0006847	-20.541	SLV 13	-0.0005441	-16.323
477	SLV 15	-0.0006335	-19.006	SLV 1	-0.0004921	-14.763
478	SLV 15	-0.0006032	-18.095	SLV 1	-0.0005287	-15.861
479	SLV 15	-0.0006848	-20.543	SLV 1	-0.0004359	-13.076
480	SLV 15	-0.000656	-19.679	SLV 1	-0.0004668	-14.004
481	SLV 3	-0.0005991	-17.974	SLV 13	-0.0004986	-14.959
482	SLV 11	-0.0005941	-17.822	SLV 5	-0.0005475	-16.424
483	SLV 7	-0.0005339	-16.17	SLV 9	-0.0004679	-14.037
484	SLV 7	-0.0006215	-18.644	SLV 9	-0.0004661	-13.983
485	SLV 7	-0.0006021	-18.062	SLV 9	-0.0005421	-16.264
486	SLV 7	-0.0005188	-15.564	SLV 9	-0.0004556	-13.668
488	SLV 7	-0.0007159	-21.476	SLV 9	-0.0004763	-14.288
489	SLV 7	-0.0005336	-16.009	SLV 9	-0.00046	-13.799
490	SLV 3	-0.0008338	-25.014	SLV 13	-0.0006247	-18.742
491	SLV 7	-0.0005986	-17.959	SLV 9	-0.0004857	-14.571
492	SLV 7	-0.0007123	-21.37	SLV 9	-0.0005041	-15.124
494	SLV 3	-0.0009922	-29.766	SLV 13	-0.0007049	-21.147
495	SLV 15	-0.0007819	-23.457	SLV 1	-0.0003894	-11.682
496	SLV 7	-0.0007012	-21.036	SLV 9	-0.0004887	-14.662
498	SLV 15	-0.0007761	-23.282	SLV 1	-0.0003954	-11.863
499	SLV 7	-0.0006887	-20.661	SLV 9	-0.0005334	-16.002
500	SLV 7	-0.0007014	-21.043	SLV 9	-0.0004933	-14.798
501	SLV 7	-0.0006971	-20.914	SLV 9	-0.0005129	-15.387
502	SLV 7	-0.0006727	-20.181	SLV 9	-0.0005544	-16.633
503	SLV 7	-0.0006627	-19.882	SLV 9	-0.0005751	-17.254
504	SLV 15	-0.0007126	-21.378	SLV 1	-0.00057	-17.1
505	SLV 3	-0.0008426	-25.277	SLV 13	-0.0006376	-19.128
506	SLV 7	-0.0007751	-23.252	SLV 9	-0.0005625	-16.876
507	SLV 7	-0.0008025	-24.075	SLV 9	-0.0005814	-17.441
508	SLV 7	-0.0008056	-24.169	SLV 9	-0.0005874	-17.621
510	SLV 15	-0.0007541	-22.623	SLV 1	-0.0004244	-12.731
511	SLV 3	-0.0009638	-28.914	SLV 13	-0.0006905	-20.716
512	SLV 15	-0.0007416	-22.249	SLV 1	-0.0005448	-16.343
513	SLV 3	-0.0010889	-32.666	SLV 13	-0.0007433	-22.298
514	SLV 15	-0.0007242	-21.727	SLV 1	-0.0006145	-18.436
515	SLV 15	-0.0007359	-22.077	SLV 1	-0.0004906	-14.717
516	SLV 7	-0.0007933	-23.8	SLV 9	-0.0006269	-18.806
517	SLV 7	-0.0007857	-23.57	SLV 9	-0.0006102	-18.306

Relazione geotecnica

Nodo Ind.	Pressione minima			Pressione massima		
	Cont.	uz	Valore	Cont.	uz	Valore
518	SLV 7	-0.0007702	-23.105	SLV 9	-0.0006222	-18.665
519	SLV 15	-0.0007241	-21.723	SLV 1	-0.000642	-19.259
520	SLV 7	-0.0007647	-22.942	SLV 9	-0.0006246	-18.738
521	SLV 7	-0.0007821	-23.463	SLV 9	-0.000636	-19.079
522	SLV 15	-0.0008402	-25.207	SLV 1	-0.0003755	-11.265
523	SLV 11	-0.0007455	-22.366	SLV 5	-0.0006621	-19.863
524	SLV 7	-0.0008426	-25.277	SLV 9	-0.0006407	-19.22
526	SLV 3	-0.0010937	-32.812	SLV 13	-0.0007447	-22.341
527	SLV 7	-0.0007984	-23.953	SLV 9	-0.0005979	-17.936
528	SLV 15	-0.0008356	-25.067	SLV 1	-0.0003804	-11.413
530	SLV 7	-0.0007717	-23.152	SLV 9	-0.0006723	-20.17
531	SLV 7	-0.0007854	-23.563	SLV 9	-0.0006644	-19.933
532	SLV 7	-0.0008331	-24.992	SLV 9	-0.0006667	-20.002
533	SLV 7	-0.0007911	-23.733	SLV 9	-0.0006464	-19.391
534	SLV 7	-0.0007875	-23.625	SLV 9	-0.0006246	-18.738
535	SLV 7	-0.0008092	-24.276	SLV 9	-0.0006304	-18.912
536	SLV 7	-0.000941	-28.23	SLV 9	-0.0007332	-21.996
538	SLV 15	-0.000906	-27.179	SLV 1	-0.0003612	-10.835
543	SLV 3	-0.0012262	-36.785	SLV 13	-0.0007914	-23.741
546	SLV 3	-0.0012122	-36.366	SLV 13	-0.0007929	-23.788
549	SLV 3	-0.0011573	-34.718	SLV 13	-0.0008048	-24.144
550	SLV 7	-0.001126	-33.779	SLV 9	-0.0008229	-24.686
553	SLV 7	-0.0011106	-33.317	SLV 9	-0.0008366	-25.097
554	SLV 7	-0.0010963	-32.888	SLV 9	-0.0008459	-25.377
556	SLV 7	-0.0010799	-32.397	SLV 9	-0.0008479	-25.437
558	SLV 7	-0.0010607	-31.822	SLV 9	-0.0008416	-25.247
560	SLV 7	-0.0010404	-31.212	SLV 9	-0.000828	-24.839
562	SLV 7	-0.0010215	-30.645	SLV 9	-0.0008096	-24.289
564	SLV 7	-0.0010073	-30.22	SLV 9	-0.0007935	-23.805
569	SLV 11	-0.0009903	-29.71	SLV 5	-0.0007779	-23.338
570	SLV 11	-0.0009709	-29.127	SLV 5	-0.0007623	-22.869
572	SLV 11	-0.0009342	-28.027	SLV 5	-0.00074	-22.2
574	SLV 7	-0.0009103	-27.308	SLV 9	-0.0007803	-23.409
577	SLV 7	-0.0009232	-27.695	SLV 9	-0.0008091	-24.274
579	SLV 7	-0.0009171	-27.513	SLV 9	-0.0008153	-24.458
580	SLV 11	-0.0009099	-27.296	SLV 5	-0.0008092	-24.275
583	SLV 15	-0.000915	-27.449	SLV 1	-0.0007873	-23.618
584	SLV 15	-0.0009243	-27.73	SLV 1	-0.0007585	-22.755
586	SLV 15	-0.0009346	-28.039	SLV 1	-0.0007262	-21.785
589	SLV 15	-0.0009386	-28.157	SLV 1	-0.0006863	-20.59
590	SLV 15	-0.0009115	-27.344	SLV 1	-0.0006244	-18.731
593	SLV 15	-0.0008394	-25.183	SLV 1	-0.0005061	-15.183
594	SLV 15	-0.000842	-25.259	SLV 1	-0.0004062	-12.186
599	SLV 15	-0.000902	-27.061	SLV 1	-0.0003649	-10.948
600	SLV 3	-0.0012544	-37.633	SLV 13	-0.0008029	-24.086
601	SLV 3	-0.0012421	-37.264	SLV 13	-0.0008058	-24.175
602	SLV 3	-0.0012011	-36.034	SLV 13	-0.0008291	-24.874
603	SLV 7	-0.0011835	-35.505	SLV 9	-0.0008575	-25.725
604	SLV 7	-0.001176	-35.281	SLV 9	-0.0008787	-26.362
605	SLV 7	-0.0011645	-34.935	SLV 9	-0.000892	-26.761
606	SLV 7	-0.0011469	-34.407	SLV 9	-0.0008953	-26.86
607	SLV 7	-0.0011231	-33.693	SLV 9	-0.0008882	-26.647
608	SLV 7	-0.0010949	-32.846	SLV 9	-0.000872	-26.161
609	SLV 7	-0.0010662	-31.985	SLV 9	-0.0008489	-25.467
610	SLV 7	-0.0010434	-31.303	SLV 9	-0.0008261	-24.783
611	SLV 11	-0.0010256	-30.768	SLV 5	-0.0008128	-24.385
612	SLV 11	-0.0010065	-30.194	SLV 5	-0.000798	-23.94
613	SLV 11	-0.000968	-29.041	SLV 5	-0.0007751	-23.254
614	SLV 7	-0.0009109	-27.328	SLV 9	-0.0007703	-23.108
615	SLV 7	-0.0009437	-28.312	SLV 9	-0.0008195	-24.585
616	SLV 7	-0.0009596	-28.789	SLV 9	-0.0008505	-25.514
617	SLV 7	-0.0009537	-28.611	SLV 9	-0.0008533	-25.6
618	SLV 15	-0.0009487	-28.46	SLV 1	-0.0008408	-25.225
619	SLV 15	-0.0009574	-28.722	SLV 1	-0.0008104	-24.311
620	SLV 15	-0.0009671	-29.012	SLV 1	-0.000776	-23.279
621	SLV 15	-0.0009766	-29.298	SLV 1	-0.0007379	-22.138
622	SLV 15	-0.0009688	-29.063	SLV 1	-0.0006862	-20.585
623	SLV 15	-0.0009098	-27.293	SLV 1	-0.0005969	-17.906
624	SLV 15	-0.0008501	-25.503	SLV 1	-0.0004803	-14.408
625	SLV 15	-0.0008616	-25.847	SLV 1	-0.0003959	-11.878
626	SLV 15	-0.0009124	-27.372	SLV 1	-0.0003635	-10.904
627	SLV 15	-0.000931	-27.93	SLV 1	-0.0003547	-10.64

## 7.4 Pressioni terreno in SLE/SLD



Rappresentazione in pianta delle massime compressioni sul terreno in famiglie SLE/SLD.

**Nodo:** Nodo che interagisce col terreno.

**Ind.:** indice del nodo.

**Pressione minima:** situazione in cui si verifica la pressione minima nel nodo.

**Cont.:** nome breve della condizione o combinazione di carico a cui si riferisce la pressione minima.

**uz:** spostamento massimo verticale del nodo. [m]

**Valore:** pressione minima sul terreno del nodo. [kN/m²]

**Pressione massima:** situazione in cui si verifica la pressione massima nel nodo.

**Cont.:** nome breve della condizione o combinazione di carico a cui si riferisce la pressione massima.

**uz:** spostamento minimo verticale del nodo. [m]

**Valore:** pressione massima sul terreno del nodo. [kN/m²]

Compressione estrema massima -36.442 al nodo di indice 605, di coordinate x = 8.58, y = 0.29, z = -0.13, nel contesto SLE rara 35.

Spostamento estremo minimo -0.0012147 al nodo di indice 605, di coordinate x = 8.58, y = 0.29, z = -0.13, nel contesto SLE rara 35.

Spostamento estremo massimo -0.0003016 al nodo di indice 387, di coordinate x = 8.84, y = -2.82, z = -0.13, nel contesto SLE rara 13.

Nodo Ind.	Pressione minima			Pressione massima		
	Cont.	uz	Valore	Cont.	uz	Valore
2	SLE RA 24	-0.0011779	-35.337	SLD 15	-0.000886	-26.579
3	SLE RA 24	-0.0011693	-35.079	SLD 15	-0.0008852	-26.557
4	SLE RA 34	-0.0011515	-34.544	SLD 11	-0.0008864	-26.593
5	SLE RA 24	-0.001134	-34.021	SLD 15	-0.0008588	-25.763
6	SLE RA 24	-0.001133	-33.989	SLD 15	-0.0008609	-25.826
10	SLE RA 34	-0.0011456	-34.368	SLD 11	-0.0008903	-26.71
12	SLE RA 34	-0.0010986	-32.958	SLD 15	-0.0008502	-25.505
13	SLE RA 34	-0.0011432	-34.296	SLD 11	-0.0008964	-26.892
15	SLE RA 34	-0.0010731	-32.194	SLD 11	-0.0008392	-25.175
16	SLE RA 34	-0.0011351	-34.054	SLD 11	-0.0008969	-26.907
18	SLE RA 34	-0.0010565	-31.694	SLD 11	-0.0008333	-24.998
20	SLE RA 34	-0.0010388	-31.165	SLD 15	-0.0008016	-24.047
21	SLE RA 24	-0.0010345	-31.036	SLD 15	-0.0007981	-23.944
22	SLE RA 34	-0.0011185	-33.556	SLD 11	-0.0008896	-26.688
24	SLE RA 34	-0.0010418	-31.254	SLD 11	-0.0008278	-24.833
25	SLE RA 34	-0.0009428	-28.283	SLD 15	-0.0007422	-22.267
26	SLE RA 34	-0.0010875	-32.624	SLE RA 3	-0.0008671	-26.013
27	SLE RA 34	-0.0010258	-30.773	SLD 11	-0.0008201	-24.604
30	SLE RA 34	-0.0009583	-28.748	SLD 15	-0.0007512	-22.535
31	SLE RA 34	-0.0010017	-30.05	SLE RA 3	-0.0008001	-24.002
33	SLE RA 34	-0.0010215	-30.644	SLD 7	-0.0008108	-24.325
34	SLE RA 34	-0.0008132	-24.396	SLD 11	-0.0006548	-19.643

## Relazione geotecnica

Nodo Ind.	Pressione minima			Pressione massima		
	Cont.	uz	Valore	Cont.	uz	Valore
35	SLE RA 34	-0.00079	-23.7	SLE RA 3	-0.000638	-19.141
36	SLE RA 34	-0.0009513	-28.538	SLE RA 3	-0.0007576	-22.729
38	SLE RA 34	-0.0009249	-27.746	SLD 7	-0.0007193	-21.58
39	SLE RA 34	-0.000812	-24.361	SLD 15	-0.000651	-19.529
40	SLE RA 24	-0.0009471	-28.412	SLD 15	-0.0007457	-22.372
41	SLE RA 34	-0.0007769	-23.308	SLE RA 3	-0.0006261	-18.783
42	SLE RA 34	-0.0008793	-26.378	SLD 7	-0.0006879	-20.637
44	SLE RA 34	-0.0008748	-26.243	SLD 7	-0.0006938	-20.814
45	SLE RA 34	-0.0008909	-26.727	SLD 7	-0.0006861	-20.584
46	SLE RA 34	-0.0008156	-24.469	SLE RA 3	-0.0006535	-19.606
47	SLE RA 24	-0.0008874	-26.623	SLD 15	-0.0007073	-21.219
49	SLE RA 34	-0.0007421	-22.263	SLE RA 3	-0.0005974	-17.922
50	SLE RA 34	-0.0006804	-20.413	SLE RA 3	-0.0005571	-16.714
54	SLE RA 34	-0.0008633	-25.898	SLD 7	-0.0006691	-20.072
55	SLE RA 34	-0.0008801	-26.404	SLD 7	-0.000677	-20.31
56	SLE RA 34	-0.0006175	-18.525	SLE RA 3	-0.0005015	-15.045
57	SLE RA 34	-0.0007649	-22.946	SLE RA 3	-0.0006122	-18.366
58	SLE RA 34	-0.0005951	-17.852	SLE RA 3	-0.0004862	-14.585
60	SLE RA 34	-0.0008591	-25.773	SLD 7	-0.0006651	-19.953
61	SLE RA 34	-0.0008559	-25.677	SLD 7	-0.0006583	-19.748
62	SLE RA 34	-0.0007308	-21.923	SLD 15	-0.0005955	-17.866
63	SLE RA 34	-0.0008039	-24.118	SLD 7	-0.0006328	-18.985
64	SLE RA 34	-0.0008279	-24.836	SLD 7	-0.0006365	-19.096
65	SLE RA 34	-0.0005676	-17.029	SLE RA 3	-0.0004613	-13.84
66	SLE RA 34	-0.000747	-22.409	SLE RA 3	-0.0005962	-17.886
67	SLE RA 34	-0.0008372	-25.115	SLD 7	-0.000648	-19.441
69	SLE RA 24	-0.0008729	-26.187	SLD 15	-0.0007016	-21.048
71	SLE RA 24	-0.0008367	-25.102	SLD 15	-0.000676	-20.279
72	SLE RA 34	-0.0006437	-19.312	SLE RA 3	-0.0005193	-15.578
73	SLE RA 34	-0.0008098	-24.295	SLD 7	-0.0006368	-19.103
75	SLE RA 34	-0.0008174	-24.522	SLD 7	-0.0006268	-18.804
76	SLE RA 34	-0.000818	-24.539	SLD 7	-0.0006268	-18.805
77	SLE RA 34	-0.000588	-17.64	SLE RA 5	-0.0004848	-14.544
78	SLE RA 34	-0.0004903	-14.709	SLE RA 3	-0.0004021	-12.062
80	SLE RA 34	-0.0008025	-24.075	SLD 7	-0.0006192	-18.577
81	SLE RA 34	-0.0007447	-22.341	SLE RA 3	-0.0005942	-17.826
82	SLE RA 34	-0.0005277	-15.83	SLE RA 3	-0.0004294	-12.883
83	SLE RA 34	-0.0008004	-24.011	SLD 7	-0.0006291	-18.872
86	SLE RA 34	-0.0008027	-24.08	SLD 7	-0.000619	-18.569
87	SLE RA 34	-0.0006225	-18.676	SLE RA 3	-0.0005019	-15.056
88	SLE RA 34	-0.0008275	-24.825	SLD 7	-0.000635	-19.049
89	SLE RA 36	-0.000677	-20.311	SLE RA 5	-0.0005597	-16.791
90	SLE RA 34	-0.0007833	-23.499	SLD 7	-0.0006156	-18.469
91	SLE RA 34	-0.0007656	-22.967	SLE RA 3	-0.0006107	-18.321
94	SLE RA 34	-0.0008071	-24.213	SLD 7	-0.0006231	-18.692
95	SLE RA 34	-0.0004851	-14.552	SLE RA 5	-0.0004007	-12.022
96	SLE RA 34	-0.0007776	-23.328	SLD 7	-0.0006187	-18.562
98	SLE RA 26	-0.0007886	-23.659	SLD 15	-0.0006464	-19.391
99	SLE RA 34	-0.0008338	-25.013	SLD 7	-0.0006402	-19.206
100	SLE RA 34	-0.0007739	-23.218	SLD 7	-0.0006045	-18.135
101	SLE RA 34	-0.0007653	-22.96	SLD 7	-0.0006018	-18.053
102	SLE RA 34	-0.000648	-19.44	SLE RA 3	-0.0005216	-15.648
103	SLE RA 34	-0.000517	-15.511	SLE RA 3	-0.0004209	-12.627
104	SLE RA 34	-0.000447	-13.409	SLE RA 3	-0.0003675	-11.026
105	SLE RA 34	-0.0008082	-24.246	SLD 7	-0.0006248	-18.743
107	SLE RA 34	-0.0007132	-21.395	SLE RA 3	-0.0005717	-17.152
108	SLE RA 26	-0.0008122	-24.366	SLD 15	-0.0006649	-19.947
109	SLE RA 34	-0.0008356	-25.068	SLD 7	-0.0006402	-19.206
110	SLE RA 34	-0.0007514	-22.541	SLE RA 3	-0.0005988	-17.964
112	SLE RA 34	-0.0007595	-22.785	SLD 7	-0.000597	-17.909
113	SLE RA 34	-0.0008072	-24.217	SLD 7	-0.0006236	-18.709
115	SLE RA 36	-0.0006676	-20.027	SLE RA 5	-0.0005536	-16.607
116	SLE RA 36	-0.000547	-16.41	SLE RA 5	-0.0004535	-13.604
118	SLE RA 34	-0.0007302	-21.906	SLE RA 3	-0.0005859	-17.577
119	SLE RA 34	-0.0007415	-22.246	SLE RA 3	-0.0005899	-17.697
120	SLE RA 35	-0.0004323	-12.969	SLE RA 2	-0.0003581	-10.742
121	SLE RA 34	-0.0005419	-16.256	SLE RA 3	-0.0004405	-13.216
122	SLE RA 34	-0.0008337	-25.012	SLD 3	-0.0006333	-18.999
123	SLE RA 34	-0.0007462	-22.387	SLE RA 3	-0.0005899	-17.697
124	SLE RA 34	-0.0008055	-24.165	SLD 7	-0.0006205	-18.614
126	SLE RA 37	-0.000445	-13.349	SLE RA 3	-0.0003659	-10.977
127	SLE RA 34	-0.0007395	-22.185	SLE RA 3	-0.0005833	-17.5
128	SLE RA 34	-0.0006717	-20.152	SLE RA 3	-0.0005417	-16.25
130	SLE RA 26	-0.0007519	-22.558	SLE RA 5	-0.000623	-18.689
131	SLE RA 36	-0.0004659	-13.978	SLE RA 5	-0.0003868	-11.605
133	SLE RA 34	-0.0008027	-24.082	SLD 3	-0.0006112	-18.335
134	SLE RA 34	-0.0008271	-24.813	SLD 3	-0.0006167	-18.501
135	SLE RA 34	-0.0005897	-17.69	SLE RA 3	-0.0004787	-14.362
136	SLE RA 37	-0.000472	-14.161	SLE RA 3	-0.0003873	-11.62
137	SLE RA 36	-0.0006239	-18.717	SLE RA 5	-0.0005188	-15.565
138	SLE RA 34	-0.0007007	-21.022	SLE RA 3	-0.0005654	-16.961
142	SLE RA 34	-0.000714	-21.42	SLE RA 3	-0.0005743	-17.23
145	SLE RA 34	-0.000711	-21.329	SLE RA 3	-0.00057	-17.1
146	SLE RA 34	-0.0007145	-21.434	SLE RA 3	-0.0005705	-17.116
150	SLE RA 34	-0.000719	-21.571	SLE RA 3	-0.000572	-17.159
152	SLE RA 34	-0.000798	-23.939	SLD 3	-0.0005978	-17.934
153	SLE RA 34	-0.0008158	-24.475	SLD 3	-0.0005955	-17.864
154	SLE RA 34	-0.0006895	-20.685	SLE RA 3	-0.0005473	-16.418
155	SLE RA 26	-0.0007654	-22.963	SLE RA 5	-0.0006334	-19.002
156	SLE RA 37	-0.0004294	-12.883	SLE RA 2	-0.0003558	-10.674
158	SLE RA 34	-0.0007916	-23.749	SLD 3	-0.0005826	-17.477
159	SLE RA 34	-0.0006419	-19.257	SLE RA 3	-0.0005206	-15.619
160	SLE RA 34	-0.0005157	-15.47	SLE RA 3	-0.0004222	-12.667
161	SLE RA 26	-0.0007297	-21.89	SLE RA 5	-0.0006054	-18.161
163	SLE RA 34	-0.0006882	-20.646	SLE RA 3	-0.0005492	-16.477
164	SLE RA 34	-0.000678	-20.34	SLE RA 3	-0.0005376	-16.129
165	SLE RA 34	-0.0008058	-24.175	SLD 3	-0.0005766	-17.299
166	SLE RA 35	-0.0004581	-13.743	SLE RA 2	-0.0003815	-11.444

Relazione geotecnica

Nodo Ind.	Pressione minima			Pressione massima		
	Cont.	uz	Valore	Cont.	uz	Valore
167	SLE RA 36	-0.0005232	-15.696	SLE RA 5	-0.0004359	-13.077
168	SLE RA 37	-0.0004474	-13.423	SLE RA 4	-0.0003692	-11.077
172	SLE RA 34	-0.0007866	-23.599	SLD 3	-0.0005693	-17.079
173	SLE RA 34	-0.0006786	-20.358	SLE RA 3	-0.0005374	-16.122
174	SLE RA 34	-0.000676	-20.279	SLE RA 3	-0.0005478	-16.433
176	SLE RA 34	-0.0006824	-20.473	SLE RA 3	-0.0005524	-16.573
177	SLE RA 34	-0.0006773	-20.319	SLE RA 3	-0.0005457	-16.371
178	SLE RA 37	-0.0004766	-14.298	SLE RA 4	-0.0003922	-11.765
179	SLE RA 34	-0.0006923	-20.768	SLD 3	-0.0005417	-16.25
180	SLE RA 34	-0.0005728	-17.184	SLE RA 3	-0.0004679	-14.038
181	SLE RA 34	-0.0007141	-21.424	SLD 3	-0.0005475	-16.426
182	SLE RA 34	-0.0006711	-20.134	SLE RA 3	-0.0005427	-16.281
184	SLE RA 34	-0.0006796	-20.387	SLE RA 3	-0.0005463	-16.389
185	SLE RA 36	-0.0006203	-18.608	SLE RA 5	-0.0005173	-15.52
186	SLE RA 34	-0.0006275	-18.824	SLE RA 3	-0.0005114	-15.341
187	SLE RA 34	-0.0006635	-19.905	SLE RA 3	-0.0005359	-16.078
188	SLE RA 34	-0.0007536	-22.607	SLD 3	-0.0005524	-16.571
189	SLE RA 34	-0.0006552	-19.655	SLE RA 3	-0.0005331	-15.992
191	SLE RA 34	-0.0006372	-19.115	SLE RA 3	-0.0005153	-15.458
192	SLE RA 26	-0.0007355	-22.066	SLE RA 5	-0.0006095	-18.285
193	SLE RA 34	-0.0006076	-18.228	SLE RA 3	-0.0004915	-14.746
194	SLE RA 34	-0.0006532	-19.597	SLE RA 3	-0.0005313	-15.938
196	SLE RA 26	-0.0007124	-21.371	SLE RA 5	-0.0005916	-17.747
197	SLE RA 35	-0.0004909	-14.728	SLE RA 2	-0.0004097	-12.291
198	SLE RA 34	-0.0006894	-20.681	SLD 3	-0.0005304	-15.913
199	SLE RA 37	-0.0005172	-15.517	SLE RA 4	-0.0004252	-12.757
200	SLE RA 37	-0.0004749	-14.247	SLE RA 4	-0.0003943	-11.829
201	SLE RA 34	-0.000642	-19.259	SLE RA 3	-0.0005211	-15.634
202	SLE RA 36	-0.0005273	-15.818	SLE RA 5	-0.0004408	-13.225
203	SLE RA 37	-0.0004802	-14.407	SLE RA 4	-0.0003964	-11.892
204	SLE RA 34	-0.0005975	-17.924	SLE RA 3	-0.0004832	-14.496
205	SLE RA 36	-0.000576	-17.281	SLE RA 5	-0.0004813	-14.439
207	SLE RA 34	-0.0007197	-21.591	SLD 3	-0.0005401	-16.202
208	SLE RA 34	-0.0006368	-19.104	SLD 3	-0.0005096	-15.288
209	SLE RA 34	-0.0006371	-19.113	SLE RA 3	-0.0005186	-15.557
210	SLE RA 37	-0.00058	-17.401	SLE RA 3	-0.0004757	-14.272
211	SLE RA 34	-0.0006479	-19.437	SLE RA 3	-0.0005264	-15.793
213	SLE RA 34	-0.0006006	-18.019	SLE RA 3	-0.0004858	-14.574
214	SLE RA 34	-0.0006247	-18.742	SLE RA 3	-0.000511	-15.33
215	SLE RA 34	-0.0006385	-19.154	SLE RA 3	-0.0005215	-15.646
217	SLE RA 34	-0.0007153	-21.46	SLD 3	-0.0005383	-16.149
218	SLE RA 34	-0.0006294	-18.882	SLE RA 3	-0.0005135	-15.405
219	SLE RA 34	-0.000628	-18.841	SLE RA 3	-0.0005134	-15.401
220	SLE RA 34	-0.0006948	-20.845	SLD 3	-0.0005312	-15.937
222	SLE RA 34	-0.0006214	-18.642	SLE RA 3	-0.0005089	-15.268
223	SLE RA 34	-0.000598	-17.939	SLE RA 3	-0.0004909	-14.726
224	SLE RA 34	-0.0006106	-18.317	SLE RA 3	-0.0005	-15
225	SLE RA 34	-0.0005783	-17.35	SLE RA 3	-0.000475	-14.251
226	SLE RA 26	-0.0007254	-21.763	SLE RA 5	-0.0006011	-18.032
230	SLE RA 26	-0.0007085	-21.254	SLE RA 5	-0.0005881	-17.644
231	SLE RA 36	-0.0006338	-19.013	SLE RA 5	-0.0005294	-15.881
234	SLE RA 36	-0.0005796	-17.389	SLE RA 5	-0.000485	-14.551
235	SLE RA 36	-0.000541	-16.229	SLE RA 5	-0.0004532	-13.596
237	SLE RA 37	-0.0005135	-15.404	SLE RA 4	-0.0004285	-12.854
240	SLE RA 37	-0.0004952	-14.857	SLE RA 4	-0.0004104	-12.312
241	SLE RA 37	-0.0005019	-15.058	SLE RA 4	-0.0004136	-12.407
243	SLE RA 37	-0.0005409	-16.228	SLE RA 4	-0.000445	-13.349
246	SLE RA 37	-0.0005925	-17.775	SLE RA 4	-0.000487	-14.609
250	SLE RA 37	-0.0006257	-18.77	SLE RA 3	-0.0005129	-15.387
251	SLE RA 34	-0.0006497	-19.492	SLD 3	-0.0005157	-15.47
252	SLE RA 34	-0.0006177	-18.531	SLE RA 3	-0.0005023	-15.068
253	SLE RA 34	-0.0005702	-17.107	SLE RA 3	-0.0004683	-14.049
255	SLE RA 34	-0.0006266	-18.798	SLE RA 3	-0.0005145	-15.434
256	SLE RA 34	-0.0005903	-17.71	SLE RA 3	-0.0004829	-14.486
257	SLE RA 34	-0.0006851	-20.553	SLD 3	-0.0005275	-15.824
259	SLE RA 34	-0.0006742	-20.226	SLD 3	-0.0005236	-15.707
260	SLE RA 34	-0.0005724	-17.171	SLE RA 3	-0.0004705	-14.114
261	SLE RA 34	-0.0006521	-19.564	SLD 3	-0.0005162	-15.487
262	SLE RA 34	-0.000606	-18.18	SLE RA 3	-0.0004994	-14.981
263	SLE RA 37	-0.0006076	-18.227	SLE RA 2	-0.0004991	-14.974
264	SLE RA 37	-0.0005158	-15.474	SLE RA 4	-0.0004247	-12.741
265	SLE RA 34	-0.0006618	-19.853	SLD 3	-0.0005175	-15.525
266	SLE RA 37	-0.0004739	-14.217	SLE RA 4	-0.0003915	-11.745
267	SLE RA 36	-0.0005743	-17.229	SLE RA 5	-0.0004797	-14.392
268	SLE RA 37	-0.0004713	-14.139	SLE RA 4	-0.0003916	-11.748
271	SLE RA 36	-0.000612	-18.359	SLE RA 5	-0.0005068	-15.205
273	SLE RA 34	-0.0006016	-18.047	SLE RA 3	-0.0004993	-14.979
276	SLE RA 34	-0.0005833	-17.499	SLE RA 3	-0.0004842	-14.527
278	SLE RA 34	-0.0005644	-16.932	SLE RA 3	-0.0004682	-14.047
280	SLE RA 34	-0.0005567	-16.702	SLE RA 3	-0.0004615	-13.846
282	SLE RA 34	-0.0005663	-16.988	SLE RA 3	-0.0004688	-14.065
284	SLE RA 34	-0.0005837	-17.511	SLE RA 3	-0.0004821	-14.464
285	SLE RA 34	-0.0006	-18.001	SLE RA 3	-0.000494	-14.819
287	SLE RA 34	-0.0006154	-18.461	SLD 3	-0.0005028	-15.083
289	SLE RA 34	-0.0006324	-18.971	SLD 3	-0.0005072	-15.215
291	SLE RA 34	-0.0006527	-19.58	SLD 3	-0.0005137	-15.411
294	SLE RA 36	-0.0005247	-15.74	SLE RA 5	-0.0004389	-13.167
295	SLE RA 37	-0.0004896	-14.688	SLE RA 4	-0.0004093	-12.28
297	SLE RA 26	-0.0007174	-21.521	SLE RA 5	-0.0005946	-17.839
298	SLE RA 35	-0.0005901	-17.702	SLE RA 2	-0.0004858	-14.575
300	SLE RA 35	-0.0006107	-18.322	SLE RA 2	-0.0005	-15
301	SLE RA 26	-0.0007412	-22.236	SLE RA 5	-0.0006129	-18.388
302	SLE RA 36	-0.0006199	-18.596	SLE RA 5	-0.0005159	-15.478
303	SLE RA 34	-0.0005542	-16.626	SLE RA 3	-0.0004609	-13.828
304	SLE RA 35	-0.0005931	-17.794	SLE RA 2	-0.0004898	-14.693
305	SLE RA 35	-0.000545	-16.35	SLE RA 2	-0.0004468	-13.404
306	SLE RA 34	-0.0005394	-16.183	SLE RA 3	-0.0004498	-13.493
308	SLE RA 34	-0.0006357	-19.07	SLD 3	-0.000504	-15.121

## Relazione geotecnica

Nodo Ind.	Pressione minima			Pressione massima		
	Cont.	uz	Valore	Cont.	uz	Valore
309	SLE RA 34	-0.0006108	-18.324	SLD 3	-0.0004935	-14.805
310	SLE RA 34	-0.0005583	-16.748	SLE RA 3	-0.0004643	-13.928
311	SLE RA 34	-0.0005363	-16.09	SLE RA 3	-0.0004478	-13.435
312	SLE RA 35	-0.0005983	-17.949	SLE RA 2	-0.0004892	-14.675
313	SLE RA 37	-0.0004624	-13.872	SLE RA 4	-0.0003813	-11.438
314	SLE RA 35	-0.0005451	-16.352	SLE RA 2	-0.0004549	-13.646
315	SLE RA 34	-0.0006406	-19.218	SLD 3	-0.0005056	-15.167
316	SLE RA 34	-0.0005842	-17.526	SLE RA 3	-0.0004827	-14.482
317	SLE RA 37	-0.0004241	-12.724	SLE RA 4	-0.000351	-10.531
319	SLE RA 35	-0.0005986	-17.958	SLE RA 2	-0.0004951	-14.852
320	SLE RA 35	-0.0005625	-16.875	SLE RA 2	-0.0004681	-14.044
321	SLE RA 37	-0.0004198	-12.595	SLE RA 4	-0.0003491	-10.473
322	SLE RA 34	-0.0004442	-13.327	SLE RA 3	-0.0003708	-11.123
323	SLE RA 34	-0.0005604	-16.813	SLE RA 3	-0.0004659	-13.978
324	SLE RA 36	-0.0005119	-15.356	SLE RA 5	-0.0004264	-12.792
325	SLE RA 35	-0.0005845	-17.535	SLE RA 2	-0.0004843	-14.529
326	SLE RA 26	-0.0007408	-22.224	SLE RA 5	-0.0006124	-18.372
328	SLE RA 34	-0.000605	-18.149	SLD 3	-0.0004887	-14.662
329	SLE RA 35	-0.0006054	-18.162	SLE RA 2	-0.0004929	-14.788
331	SLE RA 26	-0.000777	-23.311	SLE RA 5	-0.0006405	-19.214
332	SLE RA 36	-0.0005261	-15.784	SLE RA 3	-0.0004405	-13.215
333	SLE RA 35	-0.0005824	-17.473	SLE RA 2	-0.0004768	-14.305
334	SLE RA 34	-0.0006268	-18.803	SLD 3	-0.0004982	-14.946
336	SLE RA 35	-0.0005893	-17.68	SLE RA 2	-0.0004846	-14.538
337	SLE RA 35	-0.0005185	-15.556	SLE RA 2	-0.000433	-12.991
338	SLE RA 35	-0.0005151	-15.453	SLE RA 2	-0.0004311	-12.932
339	SLE RA 34	-0.0005341	-16.022	SLE RA 3	-0.0004468	-13.403
340	SLE RA 37	-0.0005773	-17.318	SLD 3	-0.0004762	-14.287
341	SLE RA 36	-0.0006173	-18.518	SLE RA 5	-0.0005112	-15.337
342	SLE RA 35	-0.0004686	-14.057	SLE RA 2	-0.0003844	-11.533
343	SLE RA 34	-0.0006253	-18.759	SLD 3	-0.0004969	-14.907
345	SLE RA 35	-0.0005487	-16.461	SLE RA 2	-0.0004546	-13.638
346	SLE RA 34	-0.0006325	-18.975	SLD 3	-0.0004996	-14.987
347	SLE RA 37	-0.000407	-12.21	SLE RA 2	-0.0003359	-10.078
348	SLE RA 35	-0.0005909	-17.726	SLE RA 2	-0.0004857	-14.57
350	SLE RA 35	-0.000523	-15.69	SLE RA 2	-0.0004351	-13.052
351	SLE RA 37	-0.0003757	-11.27	SLE RA 4	-0.000311	-9.33
352	SLE RA 35	-0.0005994	-17.981	SLE RA 2	-0.0004869	-14.608
353	SLE RA 36	-0.0007667	-23.002	SLE RA 5	-0.0006319	-18.956
355	SLE RA 37	-0.0005505	-16.516	SLE RA 4	-0.0004581	-13.744
356	SLE RA 34	-0.0003815	-11.445	SLE RA 3	-0.0003166	-9.497
357	SLE RA 35	-0.0005383	-16.15	SLE RA 2	-0.0004383	-13.148
358	SLE RA 37	-0.0005919	-17.758	SLD 3	-0.0004822	-14.466
359	SLE RA 36	-0.0004267	-12.8	SLE RA 5	-0.0003546	-10.637
360	SLE RA 37	-0.0005349	-16.048	SLE RA 4	-0.0004477	-13.43
361	SLE RA 36	-0.0005166	-15.499	SLE RA 5	-0.0004276	-12.827
362	SLE RA 35	-0.0005243	-15.73	SLE RA 2	-0.000439	-13.17
363	SLE RA 35	-0.0005139	-15.417	SLE RA 2	-0.0004299	-12.896
364	SLE RA 35	-0.0005852	-17.556	SLE RA 2	-0.0004781	-14.343
365	SLE RA 37	-0.0005675	-17.025	SLE RA 4	-0.0004699	-14.098
366	SLE RA 35	-0.0005677	-17.03	SLE RA 2	-0.0004671	-14.013
367	SLE RA 35	-0.00051	-15.3	SLE RA 2	-0.0004253	-12.759
368	SLE RA 35	-0.0006097	-18.29	SLE RA 2	-0.0004933	-14.799
370	SLE RA 26	-0.0008284	-24.852	SLE RA 5	-0.00068	-20.399
371	SLE RA 36	-0.0006477	-19.431	SLE RA 5	-0.0005334	-16.003
372	SLE RA 35	-0.0005847	-17.54	SLE RA 2	-0.0004746	-14.237
373	SLE RA 35	-0.000538	-16.139	SLE RA 2	-0.0004439	-13.317
374	SLE RA 37	-0.0006356	-19.067	SLD 3	-0.000498	-14.939
376	SLE RA 35	-0.0005906	-17.718	SLD 9	-0.0004819	-14.458
377	SLE RA 35	-0.0004453	-13.359	SLE RA 2	-0.0003639	-10.918
379	SLE RA 36	-0.0008084	-24.251	SLE RA 5	-0.0006626	-19.879
380	SLE RA 37	-0.000607	-18.21	SLD 3	-0.0004901	-14.702
381	SLE RA 35	-0.0003795	-11.384	SLE RA 2	-0.0003128	-9.385
382	SLE RA 37	-0.0006322	-18.966	SLD 3	-0.0004973	-14.92
384	SLE RA 35	-0.0005587	-16.76	SLE RA 2	-0.0004656	-13.967
385	SLE RA 37	-0.0005864	-17.592	SLE RA 4	-0.0004838	-14.514
386	SLE RA 37	-0.0005705	-17.114	SLE RA 4	-0.0004733	-14.198
387	SLE RA 32	-0.0003663	-10.989	SLE RA 13	-0.0003016	-9.049
388	SLE RA 35	-0.0005268	-15.804	SLE RA 2	-0.0004361	-13.084
389	SLE RA 36	-0.000563	-16.891	SLE RA 5	-0.0004631	-13.894
390	SLE RA 34	-0.0003929	-11.788	SLE RA 3	-0.0003249	-9.747
391	SLE RA 35	-0.0005513	-16.539	SLE RA 2	-0.0004597	-13.791
392	SLE RA 36	-0.0004652	-13.957	SLE RA 5	-0.0003837	-11.51
393	SLE RA 35	-0.000542	-16.259	SLE RA 2	-0.0004518	-13.553
394	SLE RA 35	-0.0005321	-15.963	SLE RA 2	-0.0004426	-13.279
395	SLE RA 35	-0.0006096	-18.288	SLD 9	-0.0004909	-14.726
396	SLE RA 35	-0.0005508	-16.524	SLE RA 2	-0.0004453	-13.359
397	SLE RA 35	-0.0005363	-16.089	SLE RA 2	-0.0004441	-13.323
398	SLE RA 35	-0.0006892	-20.676	SLE RA 5	-0.0005641	-16.924
399	SLE RA 35	-0.0005918	-17.755	SLD 9	-0.0004741	-14.224
400	SLE RA 35	-0.0006243	-18.728	SLD 9	-0.0004986	-14.959
402	SLE RA 35	-0.0008963	-26.889	SLD 13	-0.0007294	-21.881
403	SLE RA 35	-0.000578	-17.341	SLD 9	-0.0004656	-13.968
405	SLE RA 35	-0.0005997	-17.992	SLD 9	-0.0004783	-14.349
406	SLE RA 35	-0.0006015	-18.044	SLD 9	-0.0004799	-14.398
407	SLE RA 37	-0.0006454	-19.362	SLD 3	-0.0004973	-14.918
408	SLE RA 35	-0.0008624	-25.873	SLE RA 5	-0.0007025	-21.074
410	SLE RA 35	-0.0005619	-16.858	SLE RA 2	-0.0004602	-13.806
411	SLE RA 35	-0.0005644	-16.931	SLE RA 2	-0.0004634	-13.902
416	SLE RA 35	-0.0005636	-16.908	SLE RA 2	-0.0004633	-13.9
418	SLE RA 35	-0.000565	-16.949	SLE RA 2	-0.0004658	-13.975
420	SLE RA 35	-0.0005776	-17.328	SLE RA 2	-0.0004773	-14.318
422	SLE RA 35	-0.0005904	-17.712	SLE RA 2	-0.0004882	-14.647
423	SLE RA 35	-0.0005969	-17.907	SLE RA 2	-0.0004933	-14.8
426	SLE RA 35	-0.0006015	-18.046	SLE RA 2	-0.0004965	-14.896
427	SLE RA 37	-0.0006079	-18.236	SLE RA 4	-0.0004999	-14.997
430	SLE RA 37	-0.0006171	-18.513	SLD 1	-0.0005017	-15.05
432	SLE RA 37	-0.000629	-18.871	SLD 1	-0.0004996	-14.989

## Relazione geotecnica

Nodo Ind.	Pressione minima			Pressione massima		
	Cont.	uz	Valore	Cont.	uz	Valore
433	SLE RA 37	-0.0006435	-19.304	SLD 1	-0.0004981	-14.942
437	SLE RA 35	-0.0005827	-17.481	SLE RA 5	-0.0004761	-14.284
438	SLE RA 35	-0.0004777	-14.31	SLE RA 2	-0.0003906	-11.718
439	SLE RA 35	-0.000429	-12.869	SLE RA 2	-0.0003514	-10.543
440	SLE RA 35	-0.0004217	-12.652	SLE RA 2	-0.000345	-10.35
441	SLE RA 35	-0.0004526	-13.578	SLE RA 2	-0.0003685	-11.054
442	SLE RA 35	-0.0005206	-15.618	SLE RA 2	-0.0004206	-12.618
443	SLE RA 35	-0.0007545	-22.636	SLE RA 5	-0.0006133	-18.4
444	SLE RA 35	-0.000604	-18.121	SLD 9	-0.0004819	-14.458
445	SLE RA 35	-0.0009182	-27.545	SLD 13	-0.0007387	-22.16
447	SLE RA 37	-0.0006604	-19.813	SLD 1	-0.0004988	-14.965
448	SLE RA 35	-0.0006418	-19.253	SLE RA 2	-0.0005227	-15.681
449	SLE RA 37	-0.0006595	-19.784	SLD 1	-0.0005005	-15.014
452	SLE RA 35	-0.0006677	-20.032	SLD 9	-0.0005229	-15.686
456	SLE RA 35	-0.000663	-19.89	SLD 9	-0.0005223	-15.67
457	SLE RA 35	-0.0006381	-19.143	SLD 9	-0.0005044	-15.133
460	SLE RA 35	-0.0006282	-18.846	SLD 9	-0.0004938	-14.814
462	SLE RA 35	-0.0006276	-18.829	SLD 9	-0.0004933	-14.8
465	SLE RA 35	-0.0006254	-18.762	SLD 9	-0.000496	-14.88
466	SLE RA 35	-0.0006239	-18.718	SLD 9	-0.0005011	-15.034
468	SLE RA 35	-0.000623	-18.69	SLE RA 2	-0.0005044	-15.131
471	SLE RA 35	-0.0006295	-18.884	SLE RA 2	-0.000511	-15.331
475	SLE RA 35	-0.0009787	-29.36	SLD 13	-0.0007816	-23.447
476	SLE RA 35	-0.0007141	-21.422	SLE RA 2	-0.0005781	-17.343
477	SLE RA 37	-0.0006529	-19.587	SLE RA 4	-0.0005286	-15.859
478	SLE RA 35	-0.0006559	-19.678	SLE RA 2	-0.0005325	-15.974
479	SLE RA 37	-0.0006504	-19.512	SLD 1	-0.0005074	-15.222
480	SLE RA 37	-0.0006518	-19.555	SLD 1	-0.0005211	-15.634
481	SLE RA 35	-0.0006372	-19.117	SLE RA 2	-0.0005157	-15.471
482	SLE RA 35	-0.000662	-19.861	SLE RA 2	-0.0005367	-16.1
483	SLE RA 35	-0.000584	-17.519	SLE RA 2	-0.0004724	-14.172
484	SLE RA 35	-0.0006333	-18.999	SLE RA 2	-0.0005068	-15.204
485	SLE RA 35	-0.0006643	-19.929	SLE RA 2	-0.0005371	-16.114
486	SLE RA 35	-0.0005651	-16.953	SLE RA 2	-0.0004567	-13.701
488	SLE RA 35	-0.000696	-20.88	SLD 9	-0.0005456	-16.367
489	SLE RA 35	-0.0005769	-17.307	SLE RA 2	-0.0004652	-13.955
490	SLE RA 35	-0.0008507	-25.522	SLD 13	-0.0006847	-20.542
491	SLE RA 35	-0.0006315	-18.945	SLE RA 2	-0.0005065	-15.196
492	SLE RA 35	-0.0007111	-21.332	SLD 9	-0.0005643	-16.93
494	SLE RA 35	-0.0009927	-29.781	SLD 13	-0.0007873	-23.62
495	SLE RA 35	-0.0006831	-20.492	SLD 1	-0.0005023	-15.069
496	SLE RA 35	-0.0006948	-20.843	SLD 9	-0.0005501	-16.504
498	SLE RA 35	-0.0006836	-20.508	SLD 1	-0.0005049	-15.148
499	SLE RA 35	-0.0007147	-21.442	SLE RA 2	-0.0005687	-17.06
500	SLE RA 35	-0.0006978	-20.933	SLD 9	-0.0005534	-16.602
501	SLE RA 35	-0.0007073	-21.22	SLE RA 2	-0.0005623	-16.869
502	SLE RA 35	-0.0007178	-21.535	SLE RA 2	-0.0005721	-17.162
503	SLE RA 35	-0.0007245	-21.735	SLE RA 2	-0.0005778	-17.334
504	SLE RA 35	-0.0007535	-22.604	SLE RA 2	-0.0005983	-17.948
505	SLE RA 35	-0.0008663	-25.99	SLE RA 2	-0.0006943	-20.828
506	SLE RA 35	-0.0007853	-23.559	SLE RA 2	-0.0006211	-18.634
507	SLE RA 35	-0.000813	-24.389	SLE RA 2	-0.0006428	-19.283
508	SLE RA 35	-0.0008182	-24.547	SLE RA 2	-0.0006474	-19.423
510	SLE RA 35	-0.0006897	-20.692	SLD 1	-0.0005193	-15.578
511	SLE RA 35	-0.0009696	-29.089	SLD 13	-0.0007689	-23.068
512	SLE RA 37	-0.0007571	-22.712	SLE RA 4	-0.0005987	-17.961
513	SLE RA 35	-0.001075	-32.251	SLD 13	-0.0008424	-25.272
514	SLE RA 35	-0.0007886	-23.657	SLE RA 2	-0.0006236	-18.709
515	SLE RA 35	-0.0007201	-21.604	SLD 1	-0.0005612	-16.835
516	SLE RA 35	-0.0008316	-24.948	SLE RA 2	-0.0006655	-19.965
517	SLE RA 35	-0.0008194	-24.583	SLE RA 2	-0.0006508	-19.523
518	SLE RA 35	-0.0008156	-24.467	SLE RA 2	-0.0006521	-19.563
519	SLE RA 35	-0.0008056	-24.167	SLE RA 2	-0.0006359	-19.076
520	SLE RA 35	-0.0008143	-24.428	SLE RA 2	-0.0006503	-19.509
521	SLE RA 35	-0.0008319	-24.958	SLE RA 2	-0.0006631	-19.893
522	SLE RA 35	-0.0007136	-21.409	SLD 1	-0.0005093	-15.278
523	SLE RA 35	-0.0008318	-24.953	SLE RA 2	-0.0006543	-19.628
524	SLE RA 35	-0.0008727	-26.181	SLE RA 2	-0.0006904	-20.711
526	SLE RA 35	-0.0010799	-32.398	SLD 13	-0.0008448	-25.345
527	SLE RA 35	-0.0008219	-24.656	SLE RA 2	-0.0006483	-19.448
528	SLE RA 35	-0.0007141	-21.424	SLD 1	-0.0005114	-15.343
530	SLE RA 35	-0.0008546	-25.638	SLE RA 2	-0.0006703	-20.108
531	SLE RA 35	-0.0008581	-25.742	SLE RA 2	-0.0006724	-20.173
532	SLE RA 35	-0.0008816	-26.447	SLE RA 2	-0.0007004	-21.013
533	SLE RA 35	-0.0008502	-25.505	SLE RA 2	-0.0006663	-19.988
534	SLE RA 35	-0.0008339	-25.017	SLE RA 2	-0.0006546	-19.639
535	SLE RA 35	-0.0008497	-25.491	SLE RA 2	-0.0006678	-20.035
536	SLE RA 35	-0.0009891	-29.672	SLE RA 2	-0.0007789	-23.367
538	SLD 15	-0.0007491	-22.474	SLD 1	-0.000518	-15.541
543	SLE RA 35	-0.0011898	-35.694	SLD 13	-0.0009161	-27.482
546	SLE RA 35	-0.0011824	-35.472	SLD 13	-0.0009132	-27.395
549	SLE RA 35	-0.001157	-34.709	SLD 13	-0.0009059	-27.177
550	SLE RA 35	-0.0011494	-34.481	SLD 9	-0.0009101	-27.304
553	SLE RA 35	-0.0011486	-34.457	SLE RA 2	-0.000911	-27.331
554	SLE RA 35	-0.001146	-34.379	SLE RA 2	-0.0009086	-27.258
556	SLE RA 35	-0.0011379	-34.137	SLE RA 2	-0.0009015	-27.044
558	SLE RA 35	-0.0011234	-33.702	SLE RA 2	-0.0008888	-26.664
560	SLE RA 35	-0.0011041	-33.122	SLE RA 2	-0.0008719	-26.156
562	SLE RA 35	-0.001083	-32.49	SLE RA 2	-0.0008531	-25.594
564	SLE RA 35	-0.0010662	-31.985	SLE RA 2	-0.0008377	-25.132
569	SLE RA 35	-0.0010478	-31.433	SLE RA 2	-0.0008218	-24.653
570	SLE RA 35	-0.0010275	-30.824	SLE RA 2	-0.000805	-24.15
572	SLE RA 35	-0.0009927	-29.782	SLE RA 2	-0.0007771	-23.314
574	SLE RA 35	-0.0010084	-30.252	SLE RA 2	-0.0007819	-23.458
577	SLE RA 35	-0.0010349	-31.048	SLE RA 2	-0.0008008	-24.023
579	SLE RA 35	-0.0010355	-31.064	SLE RA 2	-0.0008007	-24.021
580	SLE RA 35	-0.0010277	-30.831	SLE RA 2	-0.0007944	-23.832
583	SLE RA 35	-0.0010178	-30.534	SLE RA 2	-0.0007865	-23.595

Nodo Ind.	Pressione minima			Pressione massima		
	Cont.	uz	Valore	Cont.	uz	Valore
584	SLE RA 35	-0.0010063	-30.188	SLE RA 2	-0.0007773	-23.319
586	SLE RA 35	-0.0009932	-29.795	SLE RA 2	-0.0007669	-23.008
589	SLE RA 35	-0.0009715	-29.144	SLE RA 2	-0.0007502	-22.506
590	SLE RA 35	-0.0009167	-27.501	SLD 1	-0.000707	-21.209
593	SLE RA 35	-0.0007984	-23.952	SLD 1	-0.0006021	-18.062
594	SLE RA 35	-0.0007371	-22.114	SLD 1	-0.0005317	-15.951
599	SLE RA 35	-0.0007488	-22.463	SLD 1	-0.0005196	-15.587
600	SLE RA 35	-0.0012143	-36.428	SLD 13	-0.0009324	-27.971
601	SLE RA 35	-0.0012087	-36.261	SLD 13	-0.000931	-27.929
602	SLE RA 35	-0.0011984	-35.951	SLD 13	-0.0009358	-28.075
603	SLE RA 35	-0.001205	-36.149	SLD 9	-0.0009513	-28.54
604	SLE RA 35	-0.0012133	-36.4	SLE RA 2	-0.0009612	-28.836
605	SLE RA 35	-0.0012147	-36.442	SLE RA 2	-0.000962	-28.86
606	SLE RA 35	-0.0012067	-36.201	SLE RA 2	-0.0009549	-28.646
607	SLE RA 35	-0.001189	-35.671	SLE RA 2	-0.0009397	-28.191
608	SLE RA 35	-0.0011636	-34.907	SLE RA 2	-0.0009178	-27.535
609	SLE RA 35	-0.0011338	-34.015	SLE RA 2	-0.0008922	-26.767
610	SLE RA 35	-0.001108	-33.24	SLE RA 2	-0.0008697	-26.09
611	SLE RA 35	-0.0010907	-32.72	SLE RA 2	-0.0008544	-25.632
612	SLE RA 35	-0.0010712	-32.135	SLE RA 2	-0.0008381	-25.143
613	SLE RA 35	-0.0010352	-31.055	SLE RA 2	-0.0008091	-24.272
614	SLE RA 35	-0.0010006	-30.018	SLE RA 2	-0.0007788	-23.364
615	SLE RA 35	-0.0010538	-31.615	SLE RA 2	-0.0008151	-24.454
616	SLE RA 35	-0.0010837	-32.512	SLE RA 2	-0.0008362	-25.086
617	SLE RA 35	-0.0010824	-32.472	SLE RA 2	-0.0008345	-25.034
618	SLE RA 35	-0.0010722	-32.165	SLE RA 2	-0.0008261	-24.783
619	SLE RA 35	-0.0010593	-31.78	SLE RA 2	-0.0008158	-24.473
620	SLE RA 35	-0.0010447	-31.34	SLE RA 2	-0.0008041	-24.122
621	SLE RA 35	-0.0010276	-30.828	SLE RA 2	-0.0007907	-23.72
622	SLE RA 35	-0.0009913	-29.739	SLE RA 4	-0.0007628	-22.885
623	SLE RA 35	-0.0008996	-26.987	SLD 1	-0.000687	-20.609
624	SLE RA 35	-0.0007896	-23.689	SLD 1	-0.0005868	-17.603
625	SLE RA 35	-0.0007436	-22.309	SLD 1	-0.00053	-15.901
626	SLE RA 35	-0.0007551	-22.652	SLD 1	-0.0005215	-15.646
627	SLD 15	-0.000765	-22.951	SLD 1	-0.0005206	-15.618

## 7.5 Cedimenti fondazioni superficiali

**Nodo:** nodo che interagisce col terreno.

**Ind.:** indice del nodo.

**spostamento nodale massimo:** situazione in cui si verifica lo spostamento massimo verticale nel nodo calcolato dal solutore ad elementi finiti. Lo spostamento massimo con segno è quello con valore massimo lungo l'asse Z, dove valori positivi rappresentano spostamenti verso l'alto.

**Cont.:** nome breve della condizione o combinazione di carico a cui si riferisce lo spostamento.

**uz:** spostamento verticale del nodo calcolato dal solutore ad elementi finiti. Lo spostamento è dotato di segno. [m]

**Press.:** pressione sul terreno corrispondente allo spostamento. Valori positivi indicano trazione, valori negativi indicano compressione. [kN/m²]

**spostamento nodale minimo:** situazione in cui si verifica lo spostamento minimo verticale del nodo calcolato dal solutore ad elementi finiti. Lo spostamento minimo con segno è quello con valore minimo lungo l'asse Z, dove valori negativi rappresentano spostamenti verso il basso.

**Cont.:** nome breve della condizione o combinazione di carico a cui si riferisce lo spostamento.

**uz:** spostamento verticale del nodo calcolato dal solutore ad elementi finiti. Lo spostamento è dotato di segno. [m]

**Press.:** pressione sul terreno corrispondente allo spostamento. Valori positivi indicano trazione, valori negativi indicano compressione. [kN/m²]

**Cedimento elastico:** cedimento teorico elastico massimo.

**Cont.:** nome breve della combinazione di carico in cui è stato calcolato il cedimento teorico elastico massimo.

**v.:** valore del cedimento teorico elastico massimo. [m]

**Cedimento edometrico:** cedimento teorico edometrico massimo.

**Cont.:** nome breve della combinazione di carico in cui è stato calcolato il cedimento teorico edometrico massimo.

**v.:** valore del cedimento teorico edometrico massimo. [m]

**Cedimento di consolidazione:** cedimento teorico di consolidazione massimo.

**Cont.:** nome breve della combinazione di carico in cui è stato calcolato il cedimento teorico di consolidazione massimo.

**v.:** valore del cedimento teorico di consolidazione massimo. [m]

Spostamento estremo minimo -0.0012147 al nodo di indice 605, di coordinate x = 8.58, y = 0.29, z = -0.13, nel contesto SLE rara 35.

Spostamento estremo massimo -0.0003016 al nodo di indice 387, di coordinate x = 8.84, y = -2.82, z = -0.13, nel contesto SLE rara 13.

Cedimento elastico estremo massimo 0.0011682 al nodo di indice 263, di coordinate x = 13.18, y = -5.25, z = -0.13, nel contesto SLE rara 37.

Nodo Ind.	spostamento nodale massimo			spostamento nodale minimo			Cedimento elastico		Cedimento edometrico		Cedimento di consolidazione	
	Cont.	uz	Press.	Cont.	uz	Press.	Cont.	v.	Cont.	v.	Cont.	v.
2	SLD 15	-8.9E-04	-26.579	SLE RA 24	-1.2E-03	-35.337	SLE RA 34	1.01E-04				
3	SLD 15	-8.9E-04	-26.557	SLE RA 24	-1.2E-03	-35.079	SLE RA 34	1.97E-04				
4	SLD 11	-8.9E-04	-26.593	SLE RA 34	-1.2E-03	-34.544	SLE RA 34	0.000396				
5	SLD 15	-8.6E-04	-25.763	SLE RA 24	-1.1E-03	-34.021	SLE RA 34	2.24E-04				
6	SLD 15	-8.6E-04	-25.826	SLE RA 24	-1.1E-03	-33.989	SLE RA 34	2.84E-04				
10	SLD 11	-8.9E-04	-26.71	SLE RA 34	-1.1E-03	-34.368	SLE RA 34	0.000502				
12	SLD 15	-8.5E-04	-25.505	SLE RA 34	-1.1E-03	-32.958	SLE RA 34	5.64E-04				
13	SLD 11	-9.0E-04	-26.892	SLE RA 34	-1.1E-03	-34.296	SLE RA 34	5.59E-04				
15	SLD 11	-8.4E-04	-25.175	SLE RA 34	-1.1E-03	-32.194	SLE RA 34	5.57E-04				
16	SLD 11	-9.0E-04	-26.907	SLE RA 34	-1.1E-03	-34.054	SLE RA 34	5.80E-04				
18	SLD 11	-8.3E-04	-24.998	SLE RA 34	-1.1E-03	-31.694	SLE RA 34	6.15E-04				
20	SLD 15	-8.0E-04	-24.047	SLE RA 34	-1.0E-03	-31.165	SLE RA 34	4.62E-04				
21	SLD 15	-8.0E-04	-23.944	SLE RA 24	-1.0E-03	-31.036	SLE RA 34	3.78E-04				
22	SLD 11	-8.9E-04	-26.688	SLE RA 34	-1.1E-03	-33.556	SLE RA 34	6.07E-04				
24	SLD 11	-8.3E-04	-24.833	SLE RA 34	-1.0E-03	-31.254	SLE RA 34	6.51E-04				
25	SLD 15	-7.4E-04	-22.267	SLE RA 34	-9.4E-04	-28.283	SLE RA 34	5.79E-04				
26	SLE RA 3	-8.7E-04	-26.013	SLE RA 34	-1.1E-03	-32.624	SLE RA 34	6.04E-04				
27	SLD 11	-8.2E-04	-24.604	SLE RA 34	-1.0E-03	-30.773	SLE RA 34	6.74E-04				
30	SLD 15	-7.5E-04	-22.535	SLE RA 34	-9.6E-04	-28.748	SLE RA 34	4.90E-04				
31	SLE RA 3	-8.0E-04	-24.002	SLE RA 34	-1.0E-03	-30.05	SLE RA 34	7.55E-04				
33	SLD 7	-8.1E-04	-24.325	SLE RA 34	-1.0E-03	-30.644	SLE RA 34	6.00E-04				
34	SLD 11	-6.5E-04	-19.643	SLE RA 34	-8.1E-04	-24.396	SLE RA 34	6.91E-04				
35	SLE RA 3	-6.4E-04	-19.141	SLE RA 34	-0.00079	-23.7	SLE RA 34	0.000737				

Nodo Ind.	spostamento nodale massimo			spostamento nodale minimo			Cedimento elastico		Cedimento edometrico		Cedimento di consolidazione	
	Cont.	uz	Press.	Cont.	uz	Press.	Cont.	v.	Cont.	v.	Cont.	v.
36	SLE RA 3	-7.6E-04	-22.729	SLE RA 34	-9.5E-04	-28.538	SLE RA 34	7.36E-04				
38	SLD 7	-7.2E-04	-21.58	SLE RA 34	-9.2E-04	-27.746	SLE RA 34	6.09E-04				
39	SLD 15	-6.5E-04	-19.529	SLE RA 34	-8.1E-04	-24.361	SLE RA 34	6.16E-04				
40	SLD 15	-7.5E-04	-22.372	SLE RA 24	-9.5E-04	-28.412	SLE RA 34	3.84E-04				
41	SLE RA 3	-6.3E-04	-18.783	SLE RA 34	-7.8E-04	-23.308	SLE RA 34	7.66E-04				
42	SLD 7	-6.9E-04	-20.637	SLE RA 34	-8.8E-04	-26.378	SLE RA 34	7.27E-04				
44	SLD 7	-6.9E-04	-20.814	SLE RA 34	-8.7E-04	-26.243	SLE RA 34	0.000772				
45	SLD 7	-6.9E-04	-20.584	SLE RA 34	-8.9E-04	-26.727	SLE RA 34	6.03E-04				
46	SLE RA 3	-6.5E-04	-19.606	SLE RA 34	-8.2E-04	-24.469	SLE RA 34	7.95E-04				
47	SLD 15	-7.1E-04	-21.219	SLE RA 24	-8.9E-04	-26.623	SLE RA 34	0.00049				
49	SLE RA 3	-6.0E-04	-17.922	SLE RA 34	-7.4E-04	-22.263	SLE RA 34	8.02E-04				
50	SLE RA 3	-5.6E-04	-16.714	SLE RA 34	-6.8E-04	-20.413	SLE RA 34	6.86E-04				
54	SLD 7	-6.7E-04	-20.072	SLE RA 34	-8.6E-04	-25.898	SLE RA 34	7.39E-04				
55	SLD 7	-6.8E-04	-20.31	SLE RA 34	-8.8E-04	-26.404	SLE RA 34	6.43E-04				
56	SLE RA 3	-5.0E-04	-15.045	SLE RA 34	-6.2E-04	-18.525	SLE RA 34	7.73E-04				
57	SLE RA 3	-6.1E-04	-18.366	SLE RA 34	-7.6E-04	-22.946	SLE RA 34	8.30E-04				
58	SLE RA 3	-4.9E-04	-14.585	SLE RA 34	-6.0E-04	-17.852	SLE RA 34	7.38E-04				
60	SLD 7	-6.7E-04	-19.953	SLE RA 34	-8.6E-04	-25.773	SLE RA 34	7.82E-04				
61	SLD 7	-6.6E-04	-19.748	SLE RA 34	-8.6E-04	-25.677	SLE RA 34	5.99E-04				
62	SLD 15	-6.0E-04	-17.866	SLE RA 34	-7.3E-04	-21.923	SLE RA 34	6.13E-04				
63	SLD 7	-6.3E-04	-18.985	SLE RA 34	-8.0E-04	-24.118	SLE RA 34	0.000857				
64	SLD 7	-6.4E-04	-19.096	SLE RA 34	-8.3E-04	-24.836	SLE RA 34	6.13E-04				
65	SLE RA 3	-4.6E-04	-13.84	SLE RA 34	-5.7E-04	-17.029	SLE RA 34	8.02E-04				
66	SLE RA 3	-6.0E-04	-17.886	SLE RA 34	-7.5E-04	-22.409	SLE RA 34	8.64E-04				
67	SLD 7	-6.5E-04	-19.441	SLE RA 34	-8.4E-04	-25.115	SLE RA 34	7.29E-04				
69	SLD 15	-7.0E-04	-21.048	SLE RA 24	-8.7E-04	-26.187	SLE RA 34	4.12E-04				
71	SLD 15	-6.8E-04	-20.279	SLE RA 24	-8.4E-04	-25.102	SLE RA 34	4.90E-04				
72	SLE RA 3	-5.2E-04	-15.578	SLE RA 34	-6.4E-04	-19.312	SLE RA 34	8.57E-04				
73	SLD 7	-6.4E-04	-19.103	SLE RA 34	-8.1E-04	-24.295	SLE RA 34	8.62E-04				
75	SLD 7	-6.3E-04	-18.804	SLE RA 34	-8.2E-04	-24.522	SLE RA 34	5.95E-04				
76	SLD 7	-6.3E-04	-18.805	SLE RA 34	-8.2E-04	-24.539	SLE RA 34	0.000592				
77	SLE RA 5	-4.8E-04	-14.544	SLE RA 34	-5.9E-04	-17.64	SLE RA 34	6.86E-04				
78	SLE RA 3	-4.0E-04	-12.062	SLE RA 34	-4.9E-04	-14.709	SLE RA 34	7.18E-04				
80	SLD 7	-6.2E-04	-18.577	SLE RA 34	-8.0E-04	-24.075	SLE RA 34	7.10E-04				
81	SLE RA 3	-5.9E-04	-17.826	SLE RA 34	-7.4E-04	-22.341	SLE RA 34	9.28E-04				
82	SLE RA 3	-4.3E-04	-12.883	SLE RA 34	-5.3E-04	-15.83	SLE RA 34	8.24E-04				
83	SLD 7	-6.3E-04	-18.872	SLE RA 34	-8.0E-04	-24.011	SLE RA 34	0.000905				
86	SLD 7	-6.2E-04	-18.569	SLE RA 34	-8.0E-04	-24.08	SLE RA 34	7.06E-04				
87	SLE RA 3	-5.0E-04	-15.056	SLE RA 34	-6.2E-04	-18.676	SLE RA 34	9.05E-04				
88	SLD 7	-6.3E-04	-19.049	SLE RA 34	-8.3E-04	-24.825	SLE RA 34	5.90E-04				
89	SLE RA 5	-5.6E-04	-16.791	SLE RA 36	-6.8E-04	-20.311	SLE RA 34	6.03E-04				
90	SLD 7	-6.2E-04	-18.469	SLE RA 34	-7.8E-04	-23.499	SLE RA 34	8.65E-04				
91	SLE RA 3	-6.1E-04	-18.321	SLE RA 34	-7.7E-04	-22.967	SLE RA 34	9.67E-04				
94	SLD 7	-6.2E-04	-18.692	SLE RA 34	-8.1E-04	-24.213	SLE RA 34	7.06E-04				
95	SLE RA 5	-4.0E-04	-12.022	SLE RA 34	-4.9E-04	-14.552	SLE RA 34	7.10E-04				
96	SLD 7	-6.2E-04	-18.562	SLE RA 34	-7.8E-04	-23.328	SLE RA 34	9.60E-04				
98	SLD 15	-6.5E-04	-19.391	SLE RA 26	-7.9E-04	-23.659	SLE RA 34	4.77E-04				
99	SLD 7	-6.4E-04	-19.206	SLE RA 34	-8.3E-04	-25.013	SLE RA 34	5.74E-04				
100	SLD 7	-6.0E-04	-18.135	SLE RA 34	-7.7E-04	-23.218	SLE RA 34	8.56E-04				
101	SLD 7	-6.0E-04	-18.053	SLE RA 34	-7.7E-04	-22.96	SLE RA 34	8.75E-04				
102	SLE RA 3	-5.2E-04	-15.648	SLE RA 34	-6.5E-04	-19.44	SLE RA 34	9.70E-04				
103	SLE RA 3	-4.2E-04	-12.627	SLE RA 34	-5.2E-04	-15.511	SLE RA 34	8.76E-04				
104	SLE RA 3	-3.7E-04	-11.026	SLE RA 34	-4.5E-04	-13.409	SLE RA 29	7.32E-04				
105	SLD 7	-6.2E-04	-18.743	SLE RA 34	-8.1E-04	-24.246	SLE RA 34	7.07E-04				
107	SLE RA 3	-5.7E-04	-17.152	SLE RA 34	-7.1E-04	-21.395	SLE RA 34	9.98E-04				
108	SLD 15	-6.6E-04	-19.947	SLE RA 26	-8.1E-04	-24.366	SLE RA 34	3.88E-04				
109	SLD 7	-6.4E-04	-19.206	SLE RA 34	-8.4E-04	-25.068	SLE RA 34	0.000539				
110	SLE RA 3	-6.0E-04	-17.964	SLE RA 34	-7.5E-04	-22.541	SLE RA 34	0.000992				
112	SLD 7	-6.0E-04	-17.909	SLE RA 34	-7.6E-04	-22.785	SLE RA 34	0.000873				
113	SLD 7	-6.2E-04	-18.709	SLE RA 34	-8.1E-04	-24.217	SLE RA 34	6.94E-04				
115	SLE RA 5	-5.5E-04	-16.607	SLE RA 36	-6.7E-04	-20.027	SLE RA 34	6.15E-04				
116	SLE RA 5	-4.5E-04	-13.604	SLE RA 36	-5.5E-04	-16.41	SLE RA 34	6.77E-04				
118	SLE RA 3	-5.9E-04	-17.577	SLE RA 34	-7.3E-04	-21.906	SLE RA 34	1.04E-03				
119	SLE RA 3	-5.9E-04	-17.697	SLE RA 34	-7.4E-04	-22.246	SLE RA 34	9.85E-04				
120	SLE RA 2	-3.6E-04	-10.742	SLE RA 35	-4.3E-04	-12.969	SLE RA 34	6.94E-04				
121	SLE RA 3	-4.4E-04	-13.216	SLE RA 34	-5.4E-04	-16.256	SLE RA 34	9.38E-04				
122	SLD 3	-6.3E-04	-18.999	SLE RA 34	-8.3E-04	-25.012	SLE RA 34	4.97E-04				
123	SLE RA 3	-5.9E-04	-17.697	SLE RA 34	-7.5E-04	-22.387	SLE RA 34	9.21E-04				
124	SLD 7	-6.2E-04	-18.614	SLE RA 34	-8.1E-04	-24.165	SLE RA 34	6.46E-04				
126	SLE RA 3	-3.7E-04	-10.977	SLE RA 37	-4.4E-04	-13.349	SLE RA 34	7.91E-04				
127	SLE RA 3	-5.8E-04	-17.5	SLE RA 34	-7.4E-04	-22.185	SLE RA 34	8.65E-04				
128	SLE RA 3	-5.4E-04	-16.25	SLE RA 34	-6.7E-04	-20.152	SLE RA 34	1.04E-03				
130	SLE RA 5	-6.2E-04	-18.689	SLE RA 26	-7.5E-04	-22.558	SLE RA 36	4.75E-04				
131	SLE RA 5	-3.9E-04	-11.605	SLE RA 36	-4.7E-04	-13.978	SLE RA 34	6.96E-04				
133	SLD 3	-6.1E-04	-18.335	SLE RA 34	-8.0E-04	-24.082	SLE RA 34	5.97E-04				
134	SLD 3	-6.2E-04	-18.501	SLE RA 34	-8.3E-04	-24.813	SLE RA 34	4.56E-04				
135	SLE RA 3	-4.8E-04	-14.362	SLE RA 34	-5.9E-04	-17.69	SLE RA 34	1.02E-03				
136	SLE RA 3	-3.9E-04	-11.62	SLE RA 37	-4.7E-04	-14.161	SLE RA 34	0.000859				
137	SLE RA 5	-5.2E-04	-15.565	SLE RA 36	-6.2E-04	-18.717	SLE RA 36	6.11E-04				
138	SLE RA 3	-5.7E-04	-16.961	SLE RA 34	-7.0E-04	-21.022	SLE RA 34	1.09E-03				
142	SLE RA 3	-5.7E-04	-17.23	SLE RA 34	-7.1E-04	-21.42	SLE RA 34	1.09E-03				
145	SLE RA 3	-0.00057	-17.1	SLE RA 34	-7.1E-04	-21.329	SLE RA 34	1.07E-03				
146	SLE RA 3	-5.7E-04	-17.116	SLE RA 34	-7.1E-04	-21.434	SLE RA 34	1.04E-03				
150	SLE RA 3	-5.7E-04	-17.159	SLE RA 34	-7.2E-04	-21.571	SLE RA 34	9.92E-04				
152	SLD 3	-6.0E-04	-17.934	SLE RA 34	-8.0E-04	-23.939	SLE RA 34	5.40E-04				
153	SLD 3	-6.0E-04	-17.864	SLE RA 34	-8.2E-04	-24.475	SLE RA 34	0.000418				
154	SLE RA 3	-5.5E-04	-16.418	SLE RA 34	-6.9E-04	-20.685	SLE RA 34	8.79E-04				
155	SLE RA 5	-6.3E-04	-19.002	SLE RA 26	-7.7E-04	-22.963	SLE RA 36	4.18E-04				
156	SLE RA 2	-3.6E-04	-10.674	SLE RA 37	-4.3E-04	-12.883	SLE RA 34	7.72E-04				
158	SLD 3	-5.8E-04	-17.477	SLE RA 34	-7.9E-04	-23.749	SLE RA 34	4.90E-04				
159	SLE RA 3	-5.2E-04	-15.619	SLE RA 34	-6.4E-04	-19.257	SLE RA 34	1.08E-03				
160	SLE RA 3	-4.2E-04	-12.667	SLE RA 34	-5.2E-04	-15.47	SLE RA 34	9.57E-04				
161	SLE RA 5	-6.1E-04	-18.161	SLE RA 26	-7.3E-04	-21.89	SLE RA 36	5.02E-04				
163	SLE RA 3	-5.5E-04	-16.477	SLE RA 34	-6.9E-04	-20.646	SLE RA 34	0.000982				
164	SLE RA 3	-5.4E-04	-16.129	SLE RA 34	-6.8E-04	-20.34	SLE RA 34	8.16E-04				
165	SLD 3	-5.8E-04	-17.299	SLE RA 34	-8.1E-04	-24.175	SLE RA 34	3.06E-04				
166	SLE RA 2	-3.8E-04	-11.444	SLE RA 35	-4.6E-04	-13.743	SLE RA 34	7.52E-04				
167	SLE RA 5	-4.4E-04	-13.077	SLE RA 36	-5.2E-04	-15.696	SLE RA 36	7.19E-04				

## Relazione geotecnica

Nodo Ind.	spostamento nodale massimo			spostamento nodale minimo			Cedimento elastico		Cedimento edometrico		Cedimento di consolidazione	
	Cont.	uz	Press.	Cont.	uz	Press.	Cont.	v.	Cont.	v.	Cont.	v.
168	SLE RA 4	-3.7E-04	-11.077	SLE RA 37	-4.5E-04	-13.423	SLE RA 34	8.46E-04				
172	SLD 3	-5.7E-04	-17.079	SLE RA 34	-7.9E-04	-23.599	SLE RA 34	3.87E-04				
173	SLE RA 3	-5.4E-04	-16.122	SLE RA 34	-6.8E-04	-20.358	SLE RA 34	0.000764				
174	SLE RA 3	-5.5E-04	-16.433	SLE RA 34	-6.8E-04	-20.279	SLE RA 34	1.12E-03				
176	SLE RA 3	-5.5E-04	-16.573	SLE RA 34	-6.8E-04	-20.473	SLE RA 34	1.13E-03				
177	SLE RA 3	-5.5E-04	-16.371	SLE RA 34	-6.8E-04	-20.319	SLE RA 34	1.11E-03				
178	SLE RA 4	-3.9E-04	-11.765	SLE RA 37	-4.8E-04	-14.298	SLE RA 34	9.02E-04				
179	SLD 3	-5.4E-04	-16.25	SLE RA 34	-6.9E-04	-20.768	SLE RA 34	7.03E-04				
180	SLE RA 3	-4.7E-04	-14.038	SLE RA 34	-5.7E-04	-17.184	SLE RA 34	1.04E-03				
181	SLD 3	-5.5E-04	-16.426	SLE RA 34	-7.1E-04	-21.424	SLE RA 34	0.000629				
182	SLE RA 3	-5.4E-04	-16.281	SLE RA 34	-6.7E-04	-20.134	SLE RA 34	1.13E-03				
184	SLE RA 3	-5.5E-04	-16.389	SLE RA 34	-6.8E-04	-20.387	SLE RA 34	0.001067				
185	SLE RA 5	-5.2E-04	-15.52	SLE RA 36	-6.2E-04	-18.608	SLE RA 36	6.31E-04				
186	SLE RA 3	-5.1E-04	-15.341	SLE RA 34	-6.3E-04	-18.824	SLE RA 34	1.11E-03				
187	SLE RA 3	-5.4E-04	-16.078	SLE RA 34	-6.6E-04	-19.905	SLE RA 34	0.001114				
188	SLD 3	-5.5E-04	-16.571	SLE RA 34	-7.5E-04	-22.607	SLE RA 34	0.000308				
189	SLE RA 3	-5.3E-04	-15.992	SLE RA 34	-6.6E-04	-19.655	SLE RA 34	1.14E-03				
191	SLE RA 3	-5.2E-04	-15.458	SLE RA 34	-6.4E-04	-19.115	SLE RA 34	1.04E-03				
192	SLE RA 5	-6.1E-04	-18.285	SLE RA 26	-7.4E-04	-22.066	SLE RA 36	4.42E-04				
193	SLE RA 3	-4.9E-04	-14.746	SLE RA 34	-6.1E-04	-18.228	SLE RA 34	0.000958				
194	SLE RA 3	-5.3E-04	-15.938	SLE RA 34	-6.5E-04	-19.597	SLE RA 34	0.001153				
196	SLE RA 5	-5.9E-04	-17.747	SLE RA 26	-7.1E-04	-21.371	SLE RA 36	5.32E-04				
197	SLE RA 2	-4.1E-04	-12.291	SLE RA 35	-4.9E-04	-14.728	SLE RA 34	0.000844				
198	SLD 3	-5.3E-04	-15.913	SLE RA 34	-6.9E-04	-20.681	SLE RA 34	6.06E-04				
199	SLE RA 4	-4.3E-04	-12.757	SLE RA 37	-5.2E-04	-15.517	SLE RA 34	9.94E-04				
200	SLE RA 4	-3.9E-04	-11.829	SLE RA 37	-4.7E-04	-14.247	SLE RA 34	8.83E-04				
201	SLE RA 3	-5.2E-04	-15.634	SLE RA 34	-6.4E-04	-19.259	SLE RA 34	1.14E-03				
202	SLE RA 5	-4.4E-04	-13.225	SLE RA 36	-5.3E-04	-15.818	SLE RA 36	7.93E-04				
203	SLE RA 4	-4.0E-04	-11.892	SLE RA 37	-4.8E-04	-14.407	SLE RA 34	0.000936				
204	SLE RA 3	-4.8E-04	-14.496	SLE RA 34	-6.0E-04	-17.924	SLE RA 34	8.98E-04				
205	SLE RA 5	-4.8E-04	-14.439	SLE RA 36	-5.8E-04	-17.281	SLE RA 36	7.32E-04				
207	SLD 3	-5.4E-04	-16.202	SLE RA 34	-7.2E-04	-21.591	SLE RA 34	4.66E-04				
208	SLD 3	-5.1E-04	-15.288	SLE RA 34	-6.4E-04	-19.104	SLE RA 34	7.50E-04				
209	SLE RA 3	-5.2E-04	-15.557	SLE RA 34	-6.4E-04	-19.113	SLE RA 34	1.16E-03				
210	SLE RA 3	-4.8E-04	-14.272	SLE RA 37	-0.00058	-17.401	SLE RA 34	1.09E-03				
211	SLE RA 3	-5.3E-04	-15.793	SLE RA 34	-6.5E-04	-19.437	SLE RA 34	1.11E-03				
213	SLE RA 3	-4.9E-04	-14.574	SLE RA 34	-6.0E-04	-18.019	SLE RA 34	8.44E-04				
214	SLE RA 3	-5.1E-04	-15.33	SLE RA 34	-6.2E-04	-18.742	SLE RA 34	1.13E-03				
215	SLE RA 3	-5.2E-04	-15.646	SLE RA 34	-6.4E-04	-19.154	SLE RA 34	1.15E-03				
217	SLD 3	-5.4E-04	-16.149	SLE RA 34	-7.2E-04	-21.46	SLE RA 34	3.81E-04				
218	SLE RA 3	-5.1E-04	-15.405	SLE RA 34	-6.3E-04	-18.882	SLE RA 34	1.15E-03				
219	SLE RA 3	-5.1E-04	-15.401	SLE RA 34	-6.3E-04	-18.841	SLE RA 34	1.16E-03				
220	SLD 3	-5.3E-04	-15.937	SLE RA 34	-6.9E-04	-20.845	SLE RA 34	4.41E-04				
222	SLE RA 3	-5.1E-04	-15.268	SLE RA 34	-6.2E-04	-18.642	SLE RA 34	0.001096				
223	SLE RA 3	-4.9E-04	-14.726	SLE RA 34	-6.0E-04	-17.939	SLE RA 34	1.05E-03				
224	SLE RA 3	-0.0005	-15	SLE RA 34	-6.1E-04	-18.317	SLE RA 34	0.001154				
225	SLE RA 3	-4.8E-04	-14.251	SLE RA 34	-5.8E-04	-17.35	SLE RA 34	0.00099				
226	SLE RA 5	-6.0E-04	-18.032	SLE RA 26	-7.3E-04	-21.763	SLE RA 36	4.13E-04				
230	SLE RA 5	-5.9E-04	-17.644	SLE RA 26	-7.1E-04	-21.254	SLE RA 36	4.83E-04				
231	SLE RA 5	-5.3E-04	-15.881	SLE RA 36	-6.3E-04	-19.013	SLE RA 36	6.68E-04				
234	SLE RA 5	-4.9E-04	-14.551	SLE RA 36	-5.8E-04	-17.389	SLE RA 36	7.79E-04				
235	SLE RA 5	-4.5E-04	-13.596	SLE RA 36	-5.4E-04	-16.229	SLE RA 36	8.42E-04				
237	SLE RA 4	-4.3E-04	-12.854	SLE RA 37	-5.1E-04	-15.404	SLE RA 36	8.90E-04				
240	SLE RA 4	-4.1E-04	-12.312	SLE RA 37	-5.0E-04	-14.857	SLE RA 37	9.40E-04				
241	SLE RA 4	-4.1E-04	-12.407	SLE RA 37	-5.0E-04	-15.058	SLE RA 37	9.87E-04				
243	SLE RA 4	-4.4E-04	-13.349	SLE RA 37	-5.4E-04	-16.228	SLE RA 37	1.05E-03				
246	SLE RA 4	-4.9E-04	-14.609	SLE RA 37	-5.9E-04	-17.775	SLE RA 34	1.10E-03				
250	SLE RA 3	-5.1E-04	-15.387	SLE RA 37	-6.3E-04	-18.77	SLE RA 34	1.15E-03				
251	SLD 3	-5.2E-04	-15.47	SLE RA 34	-6.5E-04	-19.492	SLE RA 34	6.35E-04				
252	SLE RA 3	-5.0E-04	-15.068	SLE RA 34	-6.2E-04	-18.531	SLE RA 34	7.63E-04				
253	SLE RA 3	-4.7E-04	-14.049	SLE RA 34	-5.7E-04	-17.107	SLE RA 34	9.38E-04				
255	SLE RA 3	-5.1E-04	-15.434	SLE RA 34	-6.3E-04	-18.798	SLE RA 34	1.14E-03				
256	SLE RA 3	-4.8E-04	-14.486	SLE RA 34	-5.9E-04	-17.71	SLE RA 34	8.47E-04				
257	SLD 3	-5.3E-04	-15.824	SLE RA 34	-6.9E-04	-20.553	SLE RA 34	3.56E-04				
259	SLD 3	-5.2E-04	-15.707	SLE RA 34	-6.7E-04	-20.226	SLE RA 34	0.000425				
260	SLE RA 3	-4.7E-04	-14.114	SLE RA 34	-5.7E-04	-17.171	SLE RA 34	9.04E-04				
261	SLD 3	-5.2E-04	-15.487	SLE RA 34	-6.5E-04	-19.564	SLE RA 34	5.95E-04				
262	SLE RA 3	-5.0E-04	-14.981	SLE RA 34	-6.1E-04	-18.18	SLE RA 34	0.00116				
263	SLE RA 2	-5.0E-04	-14.974	SLE RA 37	-6.1E-04	-18.227	SLE RA 37	1.17E-03				
264	SLE RA 4	-4.2E-04	-12.741	SLE RA 37	-5.2E-04	-15.474	SLE RA 37	1.03E-03				
265	SLD 3	-5.2E-04	-15.525	SLE RA 34	-6.6E-04	-19.853	SLE RA 34	3.50E-04				
266	SLE RA 4	-3.9E-04	-11.745	SLE RA 37	-4.7E-04	-14.217	SLE RA 37	9.34E-04				
267	SLE RA 5	-4.8E-04	-14.392	SLE RA 36	-5.7E-04	-17.229	SLE RA 36	7.39E-04				
268	SLE RA 4	-3.9E-04	-11.748	SLE RA 37	-4.7E-04	-14.139	SLE RA 35	8.95E-04				
271	SLE RA 5	-5.1E-04	-15.205	SLE RA 36	-6.1E-04	-18.359	SLE RA 34	1.14E-03				
273	SLE RA 3	-5.0E-04	-14.979	SLE RA 34	-6.0E-04	-18.047	SLE RA 34	1.11E-03				
276	SLE RA 3	-4.8E-04	-14.527	SLE RA 34	-5.8E-04	-17.499	SLE RA 34	1.05E-03				
278	SLE RA 3	-4.7E-04	-14.047	SLE RA 34	-5.6E-04	-16.932	SLE RA 34	9.95E-04				
280	SLE RA 3	-4.6E-04	-13.846	SLE RA 34	-5.6E-04	-16.702	SLE RA 34	9.40E-04				
282	SLE RA 3	-4.7E-04	-14.065	SLE RA 34	-5.7E-04	-16.988	SLE RA 34	0.000906				
284	SLE RA 3	-4.8E-04	-14.464	SLE RA 34	-5.8E-04	-17.511	SLE RA 34	8.51E-04				
285	SLE RA 3	-4.9E-04	-14.819	SLE RA 34	-0.0006	-18.001	SLE RA 34	7.82E-04				
287	SLD 3	-5.0E-04	-15.083	SLE RA 34	-6.2E-04	-18.461	SLE RA 34	6.93E-04				
289	SLD 3	-5.1E-04	-15.215	SLE RA 34	-6.3E-04	-18.971	SLE RA 34	0.000576				
291	SLD 3	-5.1E-04	-15.411	SLE RA 34	-6.5E-04	-19.58	SLE RA 34	4.15E-04				
294	SLE RA 5	-4.4E-04	-13.167	SLE RA 36	-5.2E-04	-15.74	SLE RA 36	0.000801				
295	SLE RA 4	-4.1E-04	-12.28	SLE RA 37	-4.9E-04	-14.688	SLE RA 36	0.000853				
297	SLE RA 5	-5.9E-04	-17.839	SLE RA 26	-7.2E-04	-21.521	SLE RA 36	5.41E-04				
298	SLE RA 2	-4.9E-04	-14.575	SLE RA 35	-5.9E-04	-17.702	SLE RA 35	1.16E-03				
300	SLE RA 2	-0.0005	-15	SLE RA 35	-6.1E-04	-18.322	SLE RA 35	1.15E-03				
301	SLE RA 5	-6.1E-04	-18.388	SLE RA 26	-7.4E-04	-22.236	SLE RA 36	4.53E-04				
302	SLE RA 5	-5.2E-04	-15.478	SLE RA 36	-6.2E-04	-18.596	SLE RA 36	6.43E-04				
303	SLE RA 3	-4.6E-04	-13.828	SLE RA 34	-5.5E-04	-16.626	SLE RA 34	0.000895				
304	SLE RA 2	-4.9E-04	-14.693	SLE RA 35	-5.9E-04	-17.794	SLE RA 35	1.16E-03				
305	SLE RA 2	-4.5E-04	-13.404	SLE RA 35	-5.5E-04	-16.35	SLE RA 35	1.08E-03				
306	SLE RA 3	-4.5E-04	-13.493	SLE RA 34	-5.4E-04	-16.183	SLE RA 34	9.25E-04				
308	SLD 3	-5.0E-04	-15.121	SLE RA 34	-6.4E-04	-19.07	SLE RA 34	4.00E-04				
309	SLD 3	-4.9E-04	-14.805	SLE RA 34	-6.1E-04	-18.324	SLE RA 34	5.48E-04				

## Relazione geotecnica

Nodo Ind.	spostamento nodale massimo			spostamento nodale minimo			Cedimento elastico		Cedimento edometrico		Cedimento di consolidazione	
	Cont.	uz	Press.	Cont.	uz	Press.	Cont.	v.	Cont.	v.	Cont.	v.
310	SLE RA 3	-4.6E-04	-13.928	SLE RA 34	-5.6E-04	-16.748	SLE RA 34	8.53E-04				
311	SLE RA 3	-4.5E-04	-13.435	SLE RA 34	-5.4E-04	-16.09	SLE RA 37	9.72E-04				
312	SLE RA 2	-4.9E-04	-14.675	SLE RA 35	-6.0E-04	-17.949	SLE RA 35	1.17E-03				
313	SLE RA 4	-3.8E-04	-11.438	SLE RA 37	-4.6E-04	-13.872	SLE RA 35	9.49E-04				
314	SLE RA 2	-4.5E-04	-13.646	SLE RA 35	-5.5E-04	-16.352	SLE RA 37	1.02E-03				
315	SLD 3	-5.1E-04	-15.167	SLE RA 34	-6.4E-04	-19.218	SLE RA 37	3.25E-04				
316	SLE RA 3	-4.8E-04	-14.482	SLE RA 34	-5.8E-04	-17.526	SLE RA 34	6.73E-04				
317	SLE RA 4	-3.5E-04	-10.531	SLE RA 37	-4.2E-04	-12.724	SLE RA 35	8.40E-04				
319	SLE RA 2	-5.0E-04	-14.852	SLE RA 35	-6.0E-04	-17.958	SLE RA 35	1.15E-03				
320	SLE RA 2	-4.7E-04	-14.044	SLE RA 35	-5.6E-04	-16.875	SLE RA 35	1.07E-03				
321	SLE RA 4	-3.5E-04	-10.473	SLE RA 37	-4.2E-04	-12.595	SLE RA 33	8.07E-04				
322	SLE RA 3	-3.7E-04	-11.123	SLE RA 34	-4.4E-04	-13.327	SLE RA 36	7.73E-04				
323	SLE RA 3	-4.7E-04	-13.978	SLE RA 34	-5.6E-04	-16.813	SLE RA 34	0.000785				
324	SLE RA 5	-4.3E-04	-12.792	SLE RA 36	-5.1E-04	-15.356	SLE RA 36	7.32E-04				
325	SLE RA 2	-4.8E-04	-14.529	SLE RA 35	-5.8E-04	-17.535	SLE RA 35	1.12E-03				
326	SLE RA 5	-6.1E-04	-18.372	SLE RA 26	-7.4E-04	-22.224	SLE RA 36	5.21E-04				
328	SLD 3	-4.9E-04	-14.662	SLE RA 34	-6.0E-04	-18.149	SLE RA 37	5.34E-04				
329	SLE RA 2	-4.9E-04	-14.788	SLE RA 35	-6.1E-04	-18.162	SLE RA 35	1.14E-03				
331	SLE RA 5	-6.4E-04	-19.214	SLE RA 26	-7.8E-04	-23.311	SLE RA 36	4.40E-04				
332	SLE RA 3	-4.4E-04	-13.215	SLE RA 36	-5.3E-04	-15.784	SLE RA 37	8.96E-04				
333	SLE RA 2	-4.8E-04	-14.305	SLE RA 35	-5.8E-04	-17.473	SLE RA 35	1.16E-03				
334	SLD 3	-5.0E-04	-14.946	SLE RA 34	-6.3E-04	-18.803	SLE RA 37	4.05E-04				
336	SLE RA 2	-4.8E-04	-14.538	SLE RA 35	-5.9E-04	-17.68	SLE RA 35	1.15E-03				
337	SLE RA 2	-4.3E-04	-12.991	SLE RA 35	-5.2E-04	-15.556	SLE RA 35	9.71E-04				
338	SLE RA 2	-4.3E-04	-12.932	SLE RA 35	-5.2E-04	-15.453	SLE RA 37	0.000928				
339	SLE RA 3	-4.5E-04	-13.403	SLE RA 34	-5.3E-04	-16.022	SLE RA 37	8.44E-04				
340	SLD 3	-4.8E-04	-14.287	SLE RA 37	-5.8E-04	-17.318	SLE RA 37	6.27E-04				
341	SLE RA 5	-5.1E-04	-15.337	SLE RA 36	-6.2E-04	-18.518	SLE RA 36	6.30E-04				
342	SLE RA 2	-3.8E-04	-11.533	SLE RA 35	-4.7E-04	-14.057	SLE RA 35	9.63E-04				
343	SLD 3	-5.0E-04	-14.907	SLE RA 34	-6.3E-04	-18.759	SLE RA 37	4.11E-04				
345	SLE RA 2	-4.5E-04	-13.638	SLE RA 35	-5.5E-04	-16.461	SLE RA 35	1.06E-03				
346	SLD 3	-5.0E-04	-14.987	SLE RA 34	-6.3E-04	-18.975	SLE RA 37	3.22E-04				
347	SLE RA 2	-3.4E-04	-10.078	SLE RA 37	-4.1E-04	-12.21	SLE RA 30	8.07E-04				
348	SLE RA 2	-4.9E-04	-14.57	SLE RA 35	-5.9E-04	-17.726	SLE RA 35	1.14E-03				
350	SLE RA 2	-4.4E-04	-13.052	SLE RA 35	-5.2E-04	-15.69	SLE RA 35	1.01E-03				
351	SLE RA 4	-3.1E-04	-9.33	SLE RA 37	-3.8E-04	-11.27	SLE RA 35	0.000716				
352	SLE RA 2	-4.9E-04	-14.608	SLE RA 35	-6.0E-04	-17.981	SLE RA 35	1.16E-03				
353	SLE RA 5	-6.3E-04	-18.956	SLE RA 36	-7.7E-04	-23.002	SLE RA 36	5.01E-04				
355	SLE RA 4	-4.6E-04	-13.744	SLE RA 37	-5.5E-04	-16.516	SLE RA 37	7.41E-04				
356	SLE RA 3	-3.2E-04	-9.497	SLE RA 34	-3.8E-04	-11.445	SLE RA 35	6.98E-04				
357	SLE RA 2	-4.4E-04	-13.148	SLE RA 35	-5.4E-04	-16.15	SLE RA 35	0.001067				
358	SLD 3	-4.8E-04	-14.466	SLE RA 37	-5.9E-04	-17.758	SLE RA 37	5.52E-04				
359	SLE RA 5	-3.5E-04	-10.637	SLE RA 36	-4.3E-04	-12.8	SLE RA 35	7.13E-04				
360	SLE RA 4	-4.5E-04	-13.43	SLE RA 37	-5.3E-04	-16.048	SLE RA 37	8.17E-04				
361	SLE RA 5	-4.3E-04	-12.827	SLE RA 36	-5.2E-04	-15.499	SLE RA 35	6.95E-04				
362	SLE RA 2	-4.4E-04	-13.17	SLE RA 35	-5.2E-04	-15.73	SLE RA 37	0.000878				
363	SLE RA 2	-4.3E-04	-12.896	SLE RA 35	-5.1E-04	-15.417	SLE RA 35	9.05E-04				
364	SLE RA 2	-4.8E-04	-14.343	SLE RA 35	-5.9E-04	-17.556	SLE RA 35	1.14E-03				
365	SLE RA 4	-4.7E-04	-14.098	SLE RA 37	-5.7E-04	-17.025	SLE RA 37	6.70E-04				
366	SLE RA 2	-4.7E-04	-14.013	SLE RA 35	-5.7E-04	-17.03	SLE RA 35	1.10E-03				
367	SLE RA 2	-4.3E-04	-12.759	SLE RA 35	-0.00051	-15.3	SLE RA 35	9.55E-04				
368	SLE RA 2	-4.9E-04	-14.799	SLE RA 35	-6.1E-04	-18.29	SLE RA 35	1.13E-03				
370	SLE RA 5	-0.00068	-20.399	SLE RA 26	-8.3E-04	-24.852	SLE RA 35	4.03E-04				
371	SLE RA 5	-5.3E-04	-16.003	SLE RA 36	-6.5E-04	-19.431	SLE RA 35	6.17E-04				
372	SLE RA 2	-4.7E-04	-14.237	SLE RA 35	-5.8E-04	-17.54	SLE RA 35	1.13E-03				
373	SLE RA 2	-4.4E-04	-13.317	SLE RA 35	-5.4E-04	-16.139	SLE RA 35	1.03E-03				
374	SLD 3	-5.0E-04	-14.939	SLE RA 37	-6.4E-04	-19.067	SLE RA 37	0.000315				
376	SLD 9	-4.8E-04	-14.458	SLE RA 35	-5.9E-04	-17.718	SLE RA 35	1.12E-03				
377	SLE RA 2	-3.6E-04	-10.918	SLE RA 35	-4.5E-04	-13.359	SLE RA 35	8.75E-04				
379	SLE RA 5	-6.6E-04	-19.879	SLE RA 36	-8.1E-04	-24.251	SLE RA 35	4.98E-04				
380	SLD 3	-4.9E-04	-14.702	SLE RA 37	-6.1E-04	-18.21	SLE RA 37	5.25E-04				
381	SLE RA 2	-3.1E-04	-9.385	SLE RA 35	-3.8E-04	-11.384	SLE RA 35	7.21E-04				
382	SLD 3	-5.0E-04	-14.92	SLE RA 37	-6.3E-04	-18.966	SLE RA 37	3.86E-04				
384	SLE RA 2	-4.7E-04	-13.967	SLE RA 35	-5.6E-04	-16.76	SLE RA 35	8.11E-04				
385	SLE RA 4	-4.8E-04	-14.514	SLE RA 37	-5.9E-04	-17.592	SLE RA 37	0.000649				
386	SLE RA 4	-4.7E-04	-14.198	SLE RA 37	-5.7E-04	-17.114	SLE RA 37	7.39E-04				
387	SLE RA 13	-3.0E-04	-9.049	SLE RA 32	-3.7E-04	-10.989	SLE RA 30	6.64E-04				
388	SLE RA 2	-4.4E-04	-13.084	SLE RA 35	-5.3E-04	-15.804	SLE RA 35	9.87E-04				
389	SLE RA 5	-4.6E-04	-13.894	SLE RA 36	-5.6E-04	-16.891	SLE RA 35	6.78E-04				
390	SLE RA 3	-3.2E-04	-9.747	SLE RA 34	-3.9E-04	-11.788	SLE RA 35	6.82E-04				
391	SLE RA 2	-4.6E-04	-13.791	SLE RA 35	-5.5E-04	-16.539	SLE RA 35	8.59E-04				
392	SLE RA 5	-3.8E-04	-11.51	SLE RA 36	-4.7E-04	-13.957	SLE RA 35	7.02E-04				
393	SLE RA 2	-4.5E-04	-13.553	SLE RA 35	-5.4E-04	-16.259	SLE RA 35	9.09E-04				
394	SLE RA 2	-4.4E-04	-13.279	SLE RA 35	-5.3E-04	-15.963	SLE RA 35	9.24E-04				
395	SLD 9	-4.9E-04	-14.726	SLE RA 35	-6.1E-04	-18.288	SLE RA 35	1.13E-03				
396	SLE RA 2	-4.5E-04	-13.359	SLE RA 35	-5.5E-04	-16.524	SLE RA 35	1.04E-03				
397	SLE RA 2	-4.4E-04	-13.323	SLE RA 35	-5.4E-04	-16.089	SLE RA 35	9.56E-04				
398	SLE RA 5	-5.6E-04	-16.924	SLE RA 35	-6.9E-04	-20.676	SLE RA 35	0.000619				
399	SLD 9	-4.7E-04	-14.224	SLE RA 35	-5.9E-04	-17.755	SLE RA 35	1.10E-03				
400	SLD 9	-5.0E-04	-14.959	SLE RA 35	-6.2E-04	-18.728	SLE RA 35	1.10E-03				
402	SLD 13	-7.3E-04	-21.881	SLE RA 35	-9.0E-04	-26.889	SLE RA 35	4.21E-04				
403	SLD 9	-4.7E-04	-13.968	SLE RA 35	-5.8E-04	-17.341	SLE RA 35	1.06E-03				
405	SLD 9	-4.8E-04	-14.349	SLE RA 35	-6.0E-04	-17.992	SLE RA 35	1.09E-03				
406	SLD 9	-4.8E-04	-14.398	SLE RA 35	-6.0E-04	-18.044	SLE RA 35	1.10E-03				
407	SLD 3	-5.0E-04	-14.918	SLE RA 37	-6.5E-04	-19.362	SLE RA 37	2.87E-04				
408	SLE RA 5	-7.0E-04	-21.074	SLE RA 35	-8.6E-04	-25.873	SLE RA 35	5.04E-04				
410	SLE RA 2	-4.6E-04	-13.806	SLE RA 35	-5.6E-04	-16.858	SLE RA 35	1.02E-03				
411	SLE RA 2	-4.6E-04	-13.902	SLE RA 35	-5.6E-04	-16.931	SLE RA 35	9.94E-04				
416	SLE RA 2	-4.6E-04	-13.9	SLE RA 35	-5.6E-04	-16.908	SLE RA 35	0.000983				
418	SLE RA 2	-4.7E-04	-13.975	SLE RA 35	-5.6E-04	-16.949	SLE RA 35	9.55E-04				
420	SLE RA 2	-4.8E-04	-14.318	SLE RA 35	-5.8E-04	-17.328	SLE RA 35	9.27E-04				
422	SLE RA 2	-4.9E-04	-14.647	SLE RA 35	-5.9E-04	-17.712	SLE RA 35	9.01E-04				
423	SLE RA 2	-4.9E-04	-14.8	SLE RA 35	-6.0E-04	-17.907	SLE RA 35	8.53E-04				
426	SLE RA 2	-5.0E-04	-14.896	SLE RA 35	-6.0E-04	-18.046	SLE RA 37	7.93E-04				
427	SLE RA 4	-5.0E-04	-14.997	SLE RA 37	-6.1E-04	-18.236	SLE RA 37	7.19E-04				
430	SLD 1	-5.0E-04	-15.05	SLE RA 37	-6.2E-04	-18.513	SLE RA 37	6.21E-04				
432	SLD 1	-5.0E-04	-14.989	SLE RA 37	-6.3E-04	-18.871	SLE RA 37	4.93E-04				
433	SLD 1	-5.0E-04	-14.942	SLE RA 37	-6.4E-04	-19.304	SLE RA 37	3.49E-04				

Nodo Ind.	spostamento nodale massimo			spostamento nodale minimo			Cedimento elastico		Cedimento edometrico		Cedimento di consolidazione	
	Cont.	uz	Press.	Cont.	uz	Press.	Cont.	v.	Cont.	v.	Cont.	v.
437	SLE RA 5	-4.8E-04	-14.284	SLE RA 35	-5.8E-04	-17.481	SLE RA 35	6.99E-04				
438	SLE RA 2	-3.9E-04	-11.718	SLE RA 35	-4.8E-04	-14.31	SLE RA 35	6.93E-04				
439	SLE RA 2	-3.5E-04	-10.543	SLE RA 35	-4.3E-04	-12.869	SLE RA 35	7.02E-04				
440	SLE RA 2	-3.4E-04	-10.35	SLE RA 35	-4.2E-04	-12.652	SLE RA 35	7.56E-04				
441	SLE RA 2	-3.7E-04	-11.054	SLE RA 35	-5.5E-04	-13.578	SLE RA 35	8.30E-04				
442	SLE RA 2	-4.2E-04	-12.618	SLE RA 35	-5.2E-04	-15.618	SLE RA 35	9.41E-04				
443	SLE RA 5	-6.1E-04	-18.4	SLE RA 35	-7.5E-04	-22.636	SLE RA 35	6.23E-04				
444	SLD 9	-4.8E-04	-14.458	SLE RA 35	-6.0E-04	-18.121	SLE RA 35	1.04E-03				
445	SLD 13	-7.4E-04	-22.16	SLE RA 35	-9.2E-04	-27.545	SLE RA 35	5.05E-04				
447	SLD 1	-5.0E-04	-14.965	SLE RA 37	-6.6E-04	-19.813	SLE RA 37	2.53E-04				
448	SLE RA 2	-5.2E-04	-15.681	SLE RA 35	-6.4E-04	-19.253	SLE RA 35	0.000761				
449	SLD 1	-5.0E-04	-15.014	SLE RA 37	-6.6E-04	-19.784	SLE RA 37	3.15E-04				
452	SLD 9	-5.2E-04	-15.686	SLE RA 35	-6.7E-04	-20.032	SLE RA 35	1.06E-03				
456	SLD 9	-5.2E-04	-15.67	SLE RA 35	-6.6E-04	-19.89	SLE RA 35	1.08E-03				
457	SLD 9	-5.0E-04	-15.133	SLE RA 35	-6.4E-04	-19.143	SLE RA 35	1.07E-03				
460	SLD 9	-4.9E-04	-14.814	SLE RA 35	-6.3E-04	-18.846	SLE RA 35	1.06E-03				
462	SLD 9	-4.9E-04	-14.8	SLE RA 35	-6.3E-04	-18.829	SLE RA 35	1.06E-03				
465	SLD 9	-5.0E-04	-14.88	SLE RA 35	-6.3E-04	-18.762	SLE RA 35	1.04E-03				
466	SLD 9	-5.0E-04	-15.034	SLE RA 35	-6.2E-04	-18.718	SLE RA 35	0.001017				
468	SLE RA 2	-5.0E-04	-15.131	SLE RA 35	-6.2E-04	-18.69	SLE RA 35	9.92E-04				
471	SLE RA 2	-5.1E-04	-15.331	SLE RA 35	-6.3E-04	-18.884	SLE RA 35	9.52E-04				
475	SLD 13	-7.8E-04	-23.447	SLE RA 35	-9.8E-04	-29.36	SLE RA 35	4.04E-04				
476	SLE RA 2	-5.8E-04	-17.343	SLE RA 35	-7.1E-04	-21.422	SLE RA 35	6.88E-04				
477	SLE RA 4	-5.3E-04	-15.859	SLE RA 37	-6.5E-04	-19.587	SLE RA 37	6.93E-04				
478	SLE RA 2	-5.3E-04	-15.974	SLE RA 35	-6.6E-04	-19.678	SLE RA 35	0.000811				
479	SLD 1	-5.1E-04	-15.222	SLE RA 37	-6.5E-04	-19.512	SLE RA 37	4.55E-04				
480	SLD 1	-5.2E-04	-15.634	SLE RA 37	-6.5E-04	-19.555	SLE RA 37	5.90E-04				
481	SLE RA 2	-5.2E-04	-15.471	SLE RA 35	-6.4E-04	-19.117	SLE RA 35	7.37E-04				
482	SLE RA 2	-5.4E-04	-16.1	SLE RA 35	-6.6E-04	-19.861	SLE RA 35	8.61E-04				
483	SLE RA 2	-4.7E-04	-14.172	SLE RA 35	-5.8E-04	-17.519	SLE RA 35	7.78E-04				
484	SLE RA 2	-5.1E-04	-15.204	SLE RA 35	-6.3E-04	-18.999	SLE RA 35	9.88E-04				
485	SLE RA 2	-5.4E-04	-16.114	SLE RA 35	-6.6E-04	-19.929	SLE RA 35	9.07E-04				
486	SLE RA 2	-4.6E-04	-13.701	SLE RA 35	-5.7E-04	-16.953	SLE RA 35	8.18E-04				
488	SLD 9	-5.5E-04	-16.367	SLE RA 35	-7.0E-04	-20.88	SLE RA 35	1.05E-03				
489	SLE RA 2	-4.7E-04	-13.955	SLE RA 35	-5.8E-04	-17.307	SLE RA 35	8.66E-04				
490	SLD 13	-6.8E-04	-20.542	SLE RA 35	-8.5E-04	-25.522	SLE RA 35	6.17E-04				
491	SLE RA 2	-5.1E-04	-15.196	SLE RA 35	-6.3E-04	-18.945	SLE RA 35	0.000926				
492	SLD 9	-5.6E-04	-16.93	SLE RA 35	-7.1E-04	-21.332	SLE RA 35	1.02E-03				
494	SLD 13	-7.9E-04	-23.62	SLE RA 35	-9.9E-04	-29.781	SLE RA 35	4.89E-04				
495	SLD 1	-5.0E-04	-15.069	SLE RA 35	-6.8E-04	-20.492	SLE RA 35	1.83E-04				
496	SLD 9	-5.5E-04	-16.504	SLE RA 35	-6.9E-04	-20.843	SLE RA 35	0.001025				
498	SLD 1	-5.0E-04	-15.148	SLE RA 35	-6.8E-04	-20.508	SLE RA 35	2.36E-04				
499	SLE RA 2	-5.7E-04	-17.06	SLE RA 35	-7.1E-04	-21.442	SLE RA 35	9.67E-04				
500	SLD 9	-5.5E-04	-16.602	SLE RA 35	-7.0E-04	-20.933	SLE RA 35	1.00E-03				
501	SLE RA 2	-5.6E-04	-16.869	SLE RA 35	-7.1E-04	-21.22	SLE RA 35	9.81E-04				
502	SLE RA 2	-5.7E-04	-17.162	SLE RA 35	-7.2E-04	-21.535	SLE RA 35	9.41E-04				
503	SLE RA 2	-5.8E-04	-17.334	SLE RA 35	-7.2E-04	-21.735	SLE RA 35	0.000913				
504	SLE RA 2	-6.0E-04	-17.948	SLE RA 35	-7.5E-04	-22.604	SLE RA 35	7.20E-04				
505	SLE RA 2	-6.9E-04	-20.828	SLE RA 35	-8.7E-04	-25.99	SLE RA 35	6.76E-04				
506	SLE RA 2	-6.2E-04	-18.634	SLE RA 35	-7.9E-04	-23.559	SLE RA 35	9.92E-04				
507	SLE RA 2	-6.4E-04	-19.283	SLE RA 35	-8.1E-04	-24.389	SLE RA 35	9.95E-04				
508	SLE RA 2	-6.5E-04	-19.423	SLE RA 35	-8.2E-04	-24.547	SLE RA 35	9.91E-04				
510	SLD 1	-5.2E-04	-15.578	SLE RA 35	-6.9E-04	-20.692	SLE RA 35	3.51E-04				
511	SLD 13	-7.7E-04	-23.068	SLE RA 35	-9.7E-04	-29.089	SLE RA 35	6.46E-04				
512	SLE RA 4	-6.0E-04	-17.961	SLE RA 37	-7.6E-04	-22.712	SLE RA 35	6.19E-04				
513	SLD 13	-8.4E-04	-25.272	SLE RA 35	-1.1E-03	-32.251	SLE RA 35	0.000384				
514	SLE RA 2	-6.2E-04	-18.709	SLE RA 35	-7.9E-04	-23.657	SLE RA 35	7.72E-04				
515	SLD 1	-5.6E-04	-16.835	SLE RA 35	-7.2E-04	-21.604	SLE RA 35	5.05E-04				
516	SLE RA 2	-6.7E-04	-19.965	SLE RA 35	-8.3E-04	-24.948	SLE RA 35	7.38E-04				
517	SLE RA 2	-6.5E-04	-19.523	SLE RA 35	-8.2E-04	-24.583	SLE RA 35	9.29E-04				
518	SLE RA 2	-6.5E-04	-19.563	SLE RA 35	-8.2E-04	-24.467	SLE RA 35	7.81E-04				
519	SLE RA 2	-6.4E-04	-19.076	SLE RA 35	-8.1E-04	-24.167	SLE RA 35	8.13E-04				
520	SLE RA 2	-6.5E-04	-19.509	SLE RA 35	-8.1E-04	-24.428	SLE RA 35	8.18E-04				
521	SLE RA 2	-6.6E-04	-19.893	SLE RA 35	-8.3E-04	-24.958	SLE RA 35	8.52E-04				
522	SLD 1	-5.1E-04	-15.278	SLE RA 35	-7.1E-04	-21.409	SLE RA 35	1.62E-04				
523	SLE RA 2	-6.5E-04	-19.628	SLE RA 35	-8.3E-04	-24.953	SLE RA 35	8.38E-04				
524	SLE RA 2	-6.9E-04	-20.711	SLE RA 35	-8.7E-04	-26.181	SLE RA 35	9.42E-04				
526	SLD 13	-8.4E-04	-25.345	SLE RA 35	-1.1E-03	-32.398	SLE RA 35	4.72E-04				
527	SLE RA 2	-6.5E-04	-19.448	SLE RA 35	-8.2E-04	-24.656	SLE RA 35	9.33E-04				
528	SLD 1	-5.1E-04	-15.343	SLE RA 35	-7.1E-04	-21.424	SLE RA 35	2.09E-04				
530	SLE RA 2	-6.7E-04	-20.108	SLE RA 35	-8.5E-04	-25.638	SLE RA 35	8.55E-04				
531	SLE RA 2	-6.7E-04	-20.173	SLE RA 35	-8.6E-04	-25.742	SLE RA 35	8.77E-04				
532	SLE RA 2	-7.0E-04	-21.013	SLE RA 35	-8.8E-04	-26.447	SLE RA 35	8.69E-04				
533	SLE RA 2	-6.7E-04	-19.988	SLE RA 35	-8.5E-04	-25.505	SLE RA 35	8.91E-04				
534	SLE RA 2	-6.5E-04	-19.639	SLE RA 35	-8.3E-04	-25.017	SLE RA 35	8.88E-04				
535	SLE RA 2	-6.7E-04	-20.035	SLE RA 35	-8.5E-04	-25.491	SLE RA 35	8.78E-04				
536	SLE RA 2	-7.8E-04	-23.367	SLE RA 35	-9.9E-04	-29.672	SLE RA 35	8.76E-04				
538	SLD 1	-5.2E-04	-15.541	SLD 15	-7.5E-04	-22.474	SLE RA 35	5.84E-05				
543	SLD 13	-9.2E-04	-27.482	SLE RA 35	-1.2E-03	-35.694	SLE RA 35	2.30E-04				
546	SLD 13	-9.1E-04	-27.395	SLE RA 35	-1.2E-03	-35.472	SLE RA 35	2.94E-04				
549	SLD 13	-9.1E-04	-27.177	SLE RA 35	-1.2E-03	-34.709	SLE RA 35	6.14E-04				
550	SLD 9	-9.1E-04	-27.304	SLE RA 35	-1.1E-03	-34.481	SLE RA 35	6.85E-04				
553	SLE RA 2	-9.1E-04	-27.331	SLE RA 35	-1.1E-03	-34.457	SLE RA 35	0.000721				
554	SLE RA 2	-9.1E-04	-27.258	SLE RA 35	-1.1E-03	-34.379	SLE RA 35	7.53E-04				
556	SLE RA 2	-9.0E-04	-27.044	SLE RA 35	-1.1E-03	-34.137	SLE RA 35	7.76E-04				
558	SLE RA 2	-8.9E-04	-26.664	SLE RA 35	-1.1E-03	-33.702	SLE RA 35	7.79E-04				
560	SLE RA 2	-8.7E-04	-26.156	SLE RA 35	-1.1E-03	-33.122	SLE RA 35	8.09E-04				
562	SLE RA 2	-8.5E-04	-25.594	SLE RA 35	-1.1E-03	-32.49	SLE RA 35	8.42E-04				
564	SLE RA 2	-8.4E-04	-25.132	SLE RA 35	-1.1E-03	-31.985	SLE RA 35	0.000815				
569	SLE RA 2	-8.2E-04	-24.653	SLE RA 35	-1.0E-03	-31.433	SLE RA 35	8.94E-04				
570	SLE RA 2	-8.1E-04	-24.15	SLE RA 35	-1.0E-03	-30.824	SLE RA 35	8.40E-04				
572	SLE RA 2	-7.8E-04	-23.314	SLE RA 35	-9.9E-04	-29.782	SLE RA 35	7.86E-04				
574	SLE RA 2	-7.8E-04	-23.458	SLE RA 35	-1.0E-03	-30.252	SLE RA 35	7.75E-04				
577	SLE RA 2	-8.0E-04	-24.023	SLE RA 35	-1.0E-03	-31.048	SLE RA 35	7.67E-04				
579	SLE RA 2	-8.0E-04	-24.021	SLE RA 35	-1.0E-03	-31.064	SLE RA 35	7.48E-04				
580	SLE RA 2	-7.9E-04	-23.832	SLE RA 35	-1.0E-03	-30.831	SLE RA 35	7.26E-04				
583	SLE RA 2	-7.9E-04	-23.595	SLE RA 35	-1.0E-03	-30.534	SLE RA 35	7.09E-04				
584	SLE RA 2	-7.8E-04	-23.319	SLE RA 35	-1.0E-03	-30.188	SLE RA 35	6.87E-04				

Nodo Ind.	spostamento nodale massimo			spostamento nodale minimo			Cedimento elastico		Cedimento edometrico		Cedimento di consolidazione	
	Cont.	uz	Press.	Cont.	uz	Press.	Cont.	v.	Cont.	v.	Cont.	v.
586	SLE RA 2	-7.7E-04	-23.008	SLE RA 35	-9.9E-04	-29.795	SLE RA 35	6.63E-04				
589	SLE RA 2	-7.5E-04	-22.506	SLE RA 35	-9.7E-04	-29.144	SLE RA 35	6.06E-04				
590	SLD 1	-7.1E-04	-21.209	SLE RA 35	-9.2E-04	-27.501	SLE RA 35	5.18E-04				
593	SLD 1	-6.0E-04	-18.062	SLE RA 35	-8.0E-04	-23.952	SLE RA 35	4.09E-04				
594	SLD 1	-5.3E-04	-15.951	SLE RA 35	-7.4E-04	-22.114	SLE RA 35	2.73E-04				
599	SLD 1	-5.2E-04	-15.587	SLE RA 35	-7.5E-04	-22.463	SLE RA 35	8.21E-05				
600	SLD 13	-9.3E-04	-27.971	SLE RA 35	-1.2E-03	-36.428	SLE RA 35	0.000179				
601	SLD 13	-9.3E-04	-27.929	SLE RA 35	-1.2E-03	-36.261	SLE RA 35	2.35E-04				
602	SLD 13	-9.4E-04	-28.075	SLE RA 35	-1.2E-03	-35.951	SLE RA 35	5.27E-04				
603	SLD 9	-9.5E-04	-28.54	SLE RA 35	-1.2E-03	-36.149	SLE RA 35	5.94E-04				
604	SLE RA 2	-9.6E-04	-28.836	SLE RA 35	-1.2E-03	-36.4	SLE RA 35	6.30E-04				
605	SLE RA 2	-9.6E-04	-28.86	SLE RA 35	-1.2E-03	-36.442	SLE RA 35	6.62E-04				
606	SLE RA 2	-9.5E-04	-28.646	SLE RA 35	-1.2E-03	-36.201	SLE RA 35	6.84E-04				
607	SLE RA 2	-9.4E-04	-28.191	SLE RA 35	-1.2E-03	-35.671	SLE RA 35	6.87E-04				
608	SLE RA 2	-9.2E-04	-27.535	SLE RA 35	-1.2E-03	-34.907	SLE RA 35	7.16E-04				
609	SLE RA 2	-8.9E-04	-26.767	SLE RA 35	-1.1E-03	-34.015	SLE RA 35	7.46E-04				
610	SLE RA 2	-8.7E-04	-26.09	SLE RA 35	-1.1E-03	-33.24	SLE RA 35	6.91E-04				
611	SLE RA 2	-8.5E-04	-25.632	SLE RA 35	-1.1E-03	-32.72	SLE RA 35	0.000793				
612	SLE RA 2	-8.4E-04	-25.143	SLE RA 35	-1.1E-03	-32.135	SLE RA 35	7.49E-04				
613	SLE RA 2	-8.1E-04	-24.272	SLE RA 35	-1.0E-03	-31.055	SLE RA 35	6.96E-04				
614	SLE RA 2	-7.8E-04	-23.364	SLE RA 35	-1.0E-03	-30.018	SLE RA 35	6.98E-04				
615	SLE RA 2	-8.2E-04	-24.454	SLE RA 35	-1.1E-03	-31.615	SLE RA 35	6.84E-04				
616	SLE RA 2	-8.4E-04	-25.086	SLE RA 35	-1.1E-03	-32.512	SLE RA 35	0.000674				
617	SLE RA 2	-8.3E-04	-25.034	SLE RA 35	-1.1E-03	-32.472	SLE RA 35	6.51E-04				
618	SLE RA 2	-8.3E-04	-24.783	SLE RA 35	-1.1E-03	-32.165	SLE RA 35	6.22E-04				
619	SLE RA 2	-8.2E-04	-24.473	SLE RA 35	-1.1E-03	-31.78	SLE RA 35	5.95E-04				
620	SLE RA 2	-8.0E-04	-24.122	SLE RA 35	-1.0E-03	-31.34	SLE RA 35	5.59E-04				
621	SLE RA 2	-7.9E-04	-23.72	SLE RA 35	-1.0E-03	-30.828	SLE RA 35	0.000513				
622	SLE RA 4	-7.6E-04	-22.885	SLE RA 35	-9.9E-04	-29.739	SLE RA 35	0.000442				
623	SLD 1	-6.9E-04	-20.609	SLE RA 35	-9.0E-04	-26.987	SLE RA 35	3.29E-04				
624	SLD 1	-5.9E-04	-17.603	SLE RA 35	-7.9E-04	-23.689	SLE RA 35	2.64E-04				
625	SLD 1	-0.00053	-15.901	SLE RA 35	-7.4E-04	-22.309	SLE RA 35	1.85E-04				
626	SLD 1	-5.2E-04	-15.646	SLE RA 35	-7.6E-04	-22.652	SLE RA 35	5.59E-05				
627	SLD 1	-5.2E-04	-15.618	SLD 15	-7.7E-04	-22.951	SLE RA 35	1.44E-05				